

การหาค่าคุณลักษณะของตัวลวดเสียงชนิด SIDE-BRANCH

ACOUSTICAL CHARACTERISTIC OF SIDE-BRANCH TYPE RESONATOR



วิทยานิพนธ์นี้เป็นส่วนหนึ่งของการศึกษาตามหลักสูตรปริญญาวิทยาศาสตรมหาบัณฑิต

สาขาวิชาวิศวกรรมเครื่องกล

บัณฑิตวิทยาลัย

สถาบันเทคโนโลยีพระจอมเกล้าเจ้าคุณทหารลาดกระบัง

พ.ศ. 2545

ISBN 974-324-174-4

การหาคุณลักษณะของตัวลดเสียงชนิด SIDE-BRANCH
ACOUSTICAL CHARACTERISTIC OF SIDE-BRANCH TYPE RESONATOR



วิทยานิพนธ์นี้เป็นส่วนหนึ่งของการศึกษาตามหลักสูตรปริญญาวิศวกรรมศาสตรมหาบัณฑิต
สาขาวิชาวิศวกรรมเครื่องกล
บัณฑิตวิทยาลัย
สถาบันเทคโนโลยีพระจอมเกล้าเจ้าคุณทหารลาดกระบัง

เอกสารนี้เป็นเอกสารที่สงวนไว้สำหรับการใช้งาน พ.ศ.2545 เท่านั้น ไม่อนุญาตให้ไปใช้ประโยชน์ด้วยประการ
ใด ๆ ภายใต้อาณัติของสถาบันฯ หากมีให้คัดเปิด... ISBN 974-324-174-4...
เล่มที่...
เดือน, ปี 1 2 ก.พ. 2546



ACOUSTICAL CHARACTERISTIC OF SIDE-BRANCH TYPE RESONATOR



A THESIS SUBMITTED IN PARTIAL FULFILLMENT

OF THE REQUIREMENT FOR THE DEGREE OF

MASTER OF ENGINEERING IN MECHANICAL ENGINEERING

SCHOOL OF GRADUATE STUDIES

KINGMONGKUT'S INSTITUTE OF TECHNOLOGY LADKABANG

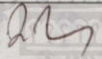

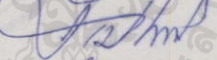
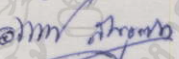
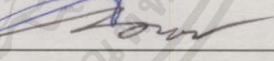


เอกสารนี้เป็นเอกสารที่สงวนไว้สำหรับการใช้งานเพื่อการศึกษาเท่านั้น ไม่อนุญาตให้นำไปใช้ประโยชน์ด้านการค้า
COPYRIGHT 2002
ไม่ว่ากรณีใดๆทั้งสิ้น อีกทั้งยังมิให้คัดลอกเนื้อหาและต้องอ้างอิงถึงเจ้าของเอกสารทุกครั้งที่มีการนำไปใช้
SCHOOL OF GRADUATE STUDIES

KING MONGKUT'S INSTITUTE OF TECHNOLOGY LADKRABANG

บัณฑิตวิทยาลัย
สถาบันเทคโนโลยีพระจอมเกล้าเจ้าคุณทหารลาดกระบัง
ใบรับรองวิทยานิพนธ์

หัวข้อวิทยานิพนธ์ การหาคุณลักษณะของตัวลดเสียงชนิด SIDE-BRANCH
ACOUSTICAL CHARACTERISTIC OF SIDE-BRANCH TYPE
RESONATOR
ชื่อนักศึกษา นายพงษ์ศักดิ์ คำมูล
รหัสประจำตัว 38621302
ปริญญา วิศวกรรมศาสตรมหาบัณฑิต
สาขาวิชา วิศวกรรมเครื่องกล
อาจารย์ผู้ควบคุมวิทยานิพนธ์ รศ.อัครเดช สิ้นรุภัก

| คณะกรรมการสอบวิทยานิพนธ์ | ลายมือชื่อ |
|--------------------------|--|
| รศ.ดร.มงคล มงคลวงศ์โรจน์ |  |
| ดร.อุณนัต พิณโสภณ |  |
| ผศ.จำลอง ปราบแก้ว |  |
| รศ.อัครเดช สิ้นรุภัก |  |
| รศ.ทวี เทศเจริญ |  |

วัน/เดือน/ปี ที่สอบ 21 ตุลาคม 2545 เวลา 10.30-12.30 น.

สถานที่สอบ ณ อาคาร 12 ชั้น ชั้น 4 (ห้อง E12-403)

บัณฑิตวิทยาลัยรับรองแล้ว

(รศ.ดร.บุญวัฒน์ อัดชู)
คณบดีบัณฑิตวิทยาลัย

เอกสารนี้เป็นเอกสารที่สงวนไว้สำหรับการใช้งานวันที่ ๒๐ เดือน ธันวาคม พ.ศ. ๒๕๖๖
ไม่ว่ากรณีใดๆทั้งสิ้น อีกทั้งห้ามมิให้คัดลอกเนื้อหา และต้องอ้างอิงถึงเจ้าของเอกสารทุกครั้งที่มีการนำไปใช้

| | |
|-----------------------------|---|
| หัวข้อวิทยานิพนธ์ | การหาคุณลักษณะของตัวลดเสียงชนิด SIDE-BRANCH |
| นักศึกษา | นายพงษ์ศักดิ์ คำมูด |
| รหัสประจำตัว | 32621302 |
| ปริญญา | วิศวกรรมศาสตรมหาบัณฑิต |
| สาขาวิชา | วิศวกรรมเครื่องกล |
| พ.ศ. | 2545 |
| อาจารย์ผู้ควบคุมวิทยานิพนธ์ | รศ.ทวี เทศเจริญ |

บทคัดย่อ

เสียงเป็นมลภาวะชนิดหนึ่งได้มีการศึกษาและทำวิจัยเกี่ยวกับการลดเสียงหลายรูปแบบ SIDE-BRANCH RESONATOR เป็นอุปกรณ์ ชนิดหนึ่งที่ใช้ในการลดเสียง ค่าความสามารถในการลดเสียง พิจารณาจากค่า Transmission Loss (TL) การวิจัยนี้เป็นการศึกษาหาคุณลักษณะในการลดเสียงจากการใช้ Side branch แบบ กลม และ Side branch แบบสี่เหลี่ยม ที่มีการเปลี่ยนแปลงปริมาตรโดยอาศัยท่อนำคลื่นเสียงระหว่างท่อกลมกับท่อสี่เหลี่ยมเปรียบเทียบกันที่ความถี่ตั้งแต่ 0 - 3600 Hz และมีความเร็วลม ตั้งแต่ 0-40 m/s ผลจากการทดลองเป็นไปตามผลจากการคำนวณทางทฤษฎีพื้นฐานเชิงเส้นแบบมิติเดียวแต่มีค่าต่ำกว่าทฤษฎีเล็กน้อย ความเร็วลม ความยาวรูปทรงของ Side branch และชนิดของท่อนำเสียง มีผลต่อการเก็บเสียงที่แตกต่างกัน

เอกสารนี้เป็นเอกสารที่สงวนไว้สำหรับการใช้งานเพื่อการศึกษาเท่านั้น ไม่อนุญาตให้นำไปใช้ประโยชน์ด้านการค้า ไม่ว่ากรณีใดๆทั้งสิ้น อีกทั้งห้ามมิให้คัดแปลงเนื้อหา และต้องอ้างอิงถึงเจ้าของเอกสารทุกครั้งที่มีการนำไปใช้

| | |
|-----------------------|---|
| Thesis Title | Acoustical characteristic of Side-Branch type Resonator |
| Student | Mr. Pongsak Kummol |
| Student ID. | 32621302 |
| Degree | Master of Engineering |
| Program | Machanical Engineering |
| Year | 2002 |
| Thesis Advisor | Associate professor Thavee Teschareon |

ABSTRACT

Noise is a pollution which has been continuously studied and researched in many methods to reduce it. Side-Branch resonator is one equipment that can be done by analysis of Transmission loss (TL). This research was done for study the noise reduction by Side-Branch which its volume was exchanged and then compared the result at 0-3600 Hz frequency and velocity flow at 0-40 m/s between square and round for the main duct tube. The results are according to the basis one dimension linearized theory and has a little bit smaller value. Velocity flow and length shape of the side-branch and main duct tube type are affected to the different noise reduction.

เอกสารนี้เป็นเอกสารที่สงวนไว้สำหรับการใช้งานเพื่อการศึกษาเท่านั้น ไม่อนุญาตให้นำไปใช้ประโยชน์ด้านการค้า
ไม่ว่ากรณีใดๆทั้งสิ้น อีกทั้งห้ามมิให้ดัดแปลงเนื้อหา และต้องอ้างอิงถึงเจ้าของเอกสารทุกครั้งที่มีการนำไปใช้

กิตติกรรมประกาศ

การทำวิจัยในวิทยานิพนธ์นี้ ข้าพเจ้าต้องใช้ความพยายามเป็นอย่างยิ่ง ต้องขอขอบพระคุณ รองศาสตราจารย์ ทวี เทศเจริญ และ รองศาสตราจารย์ อัครเดช สีนุรักษ์ ที่ให้ความเมตตา ประสทธิประสาทวิชาความรู้และเป็นอาจารย์ผู้ควบคุมวิทยานิพนธ์ ผู้วิจัยรู้สึกทราบบ้างซึ่งในความอนุเคราะห์จาก ท่านและขอกราบขอบพระคุณเป็นอย่างสูง

ขอขอบพระคุณเป็นอย่างสูงสำหรับ คุณบุญชัย ศิลปกิจวงษ์กุล ที่ให้คำปรึกษาแนะนำตลอดจน ช่วยเรียบเรียงวิทยานิพนธ์นี้จนกระทั่งสำเร็จสมบูรณ์

ขอขอบพระคุณ ผู้ช่วยศาสตราจารย์ มิ่ง โลกิจแสงทอง , ผู้ช่วยศาสตราจารย์รัชชัย นาคพิพัฒน์, Prof. Dr. Phuntoro Murakami , Assoc Prof. minoru Meada Sh , Prof. Dr. Toshio Ijima และคณาจารย์ ในภาควิชาวิศวกรรมเครื่องกลทุก ๆ ท่าน ที่กรุณาให้คำปรึกษาแนะนำแนวทางในการแก้ไขปัญหาจนทำให้ผู้วิจัยเข้าใจในปัญหานั้นยิ่งขึ้น

ขอขอบคุณ คุณณฤมิต คำมูล ซึ่งเป็นผู้คอยให้กำลังใจอย่างใกล้ชิดและคอยช่วยเหลือสนับสนุน เงินทุนตลอดมา

ขอขอบคุณ คุณวาสนา ม่วงโพธิ์ และ คุณเกรียงศักดิ์ เครื่องนันทา ที่มีส่วนช่วยพิมพ์ผลงานวิจัย บางตอนซึ่งทำให้วิทยานิพนธ์นี้สมบูรณ์ยิ่งขึ้น

ขอขอบคุณนักศึกษาภาควิชาวิศวกรรมเครื่องกลที่มีส่วนร่วมในผลงานชุดนี้ รวมทั้งโครงการ JICA ซึ่งสนับสนุนเครื่องมือวัดและทุนวิจัย

ขอขอบพระคุณผู้อุปการะคุณ บิดา มารดา ครูและอาจารย์ที่ได้อบรมสั่งสอนผู้วิจัยมาจนจบจน ประสบความสำเร็จ

สุดท้ายขอขอบคุณ ทุก ๆ ท่านที่มีส่วนผลักดันและเป็นกำลังใจอย่างดียิ่งที่มีให้ผู้วิจัยตลอดมา

พงษ์ศักดิ์ คำมูล

เอกสารนี้เป็นเอกสารที่สงวนไว้สำหรับการใช้งานเพื่อการศึกษาเท่านั้น ไม่อนุญาตให้นำไปใช้ประโยชน์ด้านการค้า ไม่ว่ากรณีใดๆทั้งสิ้น อีกทั้งห้ามมิให้คัดลอกเนื้อหา และต้องอ้างอิงถึงเจ้าของเอกสารทุกครั้งที่มีการนำไปใช้

สารบัญ

| | หน้า |
|---|------|
| บทคัดย่อภาษาไทย..... | I |
| บทคัดย่อภาษาอังกฤษ..... | II |
| กิตติกรรมประกาศ..... | III |
| สารบัญ..... | IV |
| สารบัญตาราง..... | VII |
| สารบัญรูป..... | VIII |
| บทที่ 1 บทนำ..... | 1 |
| 1.1 ความเป็นมา และความสำคัญของปัญหา..... | 1 |
| 1.2 ความมุ่งหมาย และวัตถุประสงค์ของการศึกษา..... | 2 |
| 1.3 สมมุติฐานของการศึกษา..... | 2 |
| 1.4 ทฤษฎี หรือแนวความคิดที่ใช้ในการวิจัย..... | 3 |
| 1.5 ขอบเขตการวิจัย..... | 7 |
| 1.6 ขั้นตอนของการศึกษา..... | 8 |
| บทที่ 2 ทฤษฎีพื้นฐาน..... | 10 |
| 2.1 พฤติกรรมของคลื่นเสียง..... | 10 |
| 2.1.1 คุณสมบัติพื้นฐานของคลื่น..... | 10 |
| 2.1.2 อากาศ และคุณสมบัติ..... | 11 |
| 2.1.3 Harmonic Motion สำหรับ Sine Wave..... | 11 |
| 2.1.4 คลื่นเสียงในอากาศ..... | 13 |
| 2.1.5 อิสรเคลื่อนที่เคลื่อนไหวไปข้างหน้า (Free – Progressive Waves)..... | 15 |
| 2.1.6 การอ้อมของคลื่นที่ผ่านวัตถุที่ขวางหน้า (Diffraction – standing wave)..... | 26 |
| 2.1.7 ส่วนประกอบของคลื่น..... | 27 |
| 2.2 Transmission Through Ducts..... | 37 |
| 2.2.1 Acoustic Impedance (Z)..... | 37 |
| 2.2.2 The Side-Branch Resonator..... | 37 |
| 2.2.3 การสะท้อนของคลื่นในท่อ..... | 41 |
| 2.2.4 ผลที่ได้ของ Side-Branch Resonator..... | 44 |

เอกสารนี้เป็นเอกสารที่สงวนไว้สำหรับการใช้งานเพื่อการศึกษาเท่านั้น ไม่อนุญาตให้นำไปใช้ประโยชน์ด้านธุรกิจ
ไม่ว่ากรณีใดๆทั้งสิ้น อีกทั้งห้ามแก้ไขข้อความเนื้อหา และต้องอ้างอิงถึงเจ้าของเอกสารทุกครั้งที่มีการนำไปใช้

สารบัญ(ต่อ)

| | หน้า |
|---|------|
| 2.3 Coefficient β | 49 |
| 2.3.1 ปลายปิด..... | 50 |
| 2.3.2 ปลายเปิด..... | 50 |
| บทที่ 3 การสร้างอุปกรณ์ที่ใช้ในการทดลอง..... | 52 |
| 3.1 การสร้างอุปกรณ์ประกอบในการทดลอง..... | 52 |
| 3.2 การทดลองแบ่งออกเป็น 2 การทดลอง..... | 52 |
| 3.3 อุปกรณ์ และเครื่องมือวัดในการทดลอง..... | 53 |
| 3.3.1 ท่อนำเสียงแบบกลมเส้นผ่านศูนย์กลาง 0.052 เมตร..... | 53 |
| 3.3.2 ท่อนำเสียงแบบสี่เหลี่ยมขนาด 0.046 เมตร x 0.046 เมตร..... | 53 |
| 3.3.3 FFT Analyzer (Fast Fourier Transform Analyzer)..... | 53 |
| 3.3.4 Amplifier..... | 53 |
| 3.3.5 Driver Unit..... | 53 |
| 3.3.6 Probe Tube..... | 53 |
| 3.3.7 Microphone..... | 53 |
| 3.3.8 Pre-Amplifier..... | 54 |
| 3.3.9 Oscillator..... | 54 |
| 3.3.10 Blower..... | 54 |
| 3.3.11 Inverter..... | 54 |
| 3.3.12 Anemometer..... | 55 |
| 3.3.13 Calibrator..... | 55 |
| 3.4 Silencer แบบ Side-Branch Resonator..... | 55 |
| บทที่ 4 ผลการทดลอง และการวิเคราะห์ข้อมูล..... | 56 |
| 4.1 วิธีการทดลอง..... | 56 |
| 4.1.1 การทดลองโดยใช้ Side-Branch Resonator กรณีไม่มีความเร็วลม..... | 56 |
| 4.1.2 การทดลองโดยใช้ Side-Branch Resonator กรณีมีความเร็วลม..... | 56 |
| 4.2 การบันทึกผลการทดลอง..... | 56 |
| 4.3 ผลการทดลอง..... | 57 |
| 4.4 การวิเคราะห์ผลการทดลอง..... | 73 |

สารบัญ(ต่อ)

หน้า

| | |
|---|----|
| บทที่ 5 สรุปผลการวิจัย และข้อเสนอแนะ..... | 75 |
| 5.1 สรุปผลและวิจารณ์..... | 75 |
| 5.2 แนวทางวิจัยในอนาคต..... | 75 |
| 5.3 ประโยชน์ที่ได้รับจากการทำวิทยานิพนธ์..... | 76 |
| 5.4 ข้อเสนอแนะและแนวทางวิจัยในอนาคต..... | 76 |
| บรรณานุกรม..... | 78 |
| ภาคผนวก ก..... | 80 |
| ประวัติผู้เขียน..... | 82 |



เอกสารนี้เป็นเอกสารที่สงวนไว้สำหรับการใช้งานเพื่อการศึกษาเท่านั้น ไม่อนุญาตให้นำไปใช้ประโยชน์ด้านการค้า
ไม่ว่ากรณีใดๆทั้งสิ้น อีกทั้งห้ามมิให้คัดแปลงเนื้อหา และต้องอ้างอิงถึงเจ้าของเอกสารทุกครั้งที่มีการนำไปใช้

สารบัญตาราง

ตารางที่

หน้า

1. ผลงานวิจัยที่เกี่ยวข้อง.....7
2. ค่าที่ได้จากการคำนวณการแก้ค่า ATTENUATION ที่ได้จากการวัด.....80



เอกสารนี้เป็นเอกสารที่สงวนไว้สำหรับการใช้งานเพื่อการศึกษาเท่านั้น ไม่อนุญาตให้นำไปใช้ประโยชน์ด้านการค้า
ไม่ว่ากรณีใดๆทั้งสิ้น อีกทั้งห้ามมิให้คัดแปลงเนื้อหา และต้องอ้างอิงถึงเจ้าของเอกสารทุกครั้งที่มีการนำไปใช้

สารบัญรูป

รูปที่

หน้า

| | |
|---|----|
| 1.1 การสั่นสะท้อนของคลื่นกำเนิดเสียง และมีผลกระทบต่ออนุภาค ของอากาศที่มีกระทบยังแก้วหู..... | 2 |
| 1.2 ความเข้มของเสียงเท่ากัน เสียงดังจากลมที่เป่า หรือการดูดอากาศซึ่งจะ อยู่ในช่วงความถี่สูง..... | 3 |
| 1.3 Transmission loss in mass controlled..... | 4 |
| 1.4 แสดงเสียงที่ส่งผ่านต่อเข้ากับท่อ L1 และ L2 โดยมี Silencer สำหรับลดเสียงก่อนที่เสียงจะออกสู่สิ่งแวดล้อม..... | 4 |
| 1.5 อุปกรณ์สำหรับวัดการสะท้อนกลับ..... | 5 |
| 1.6 การลดเสียงโดยใช้ Expansion chambers..... | 5 |
| 1.7 ลักษณะของ silencers หรือ Resonator..... | 6 |
| 1.8 ลักษณะของอุปกรณ์แบบดูดซึม..... | 6 |
| 2.1 Transmission ของ elastic wave ที่ให้กับ coil spring..... | 10 |
| 2.2 ตัวอย่าง Harmonic motion Sine wave..... | 12 |
| 2.3 การแพร่ Plane-wave..... | 13 |
| 2.4 Pressure ใน Plane free progressive..... | 18 |
| 2.5 แสดง Sound Pressure ใน Plane free progressive สำหรับ Blackward-traveling wave 20 จุด..... | 21 |
| 2.6 แสดง Sound pressure ของ Plane standing wave ที่ 20 จุด..... | 22 |
| 2.7 one และ two – Dimensional wave..... | 26 |
| 2.8 การกระจายคลื่นผ่านท่อเล็ก..... | 27 |
| 2.9 การรวมสองความสัมพันธ์ Harmonically กับ Sine wave ก่อให้เกิดคลื่นที่ซับซ้อน..... | 29 |
| 2.10 การรวมสองความสัมพันธ์ Harmonically กับ Sine wave ที่มีผลต่างใน Phase ณ จุดเวลาชั่วขณะเดียวกันก็ตาม ความดันที่ถูกวัดด้วยไมโครโฟนจะเป็น..... | 30 |
| 2.11 แสดงเหมือนกับรูปที่ 2.9 และ 2.10 คลื่นสองคลื่นที่ต่าง Phase..... | 31 |
| 2.12 การแสดง line Spectrum harmonically b) แสดง line Spectrum Inharmonically c) การต่อเนื่องของ Spectrum d) การรวม line และความต่อเนื่องของ Spectrum (เกี่ยวกับการเกิด Spectrum)..... | 34 |
| 2.13 กราฟแสดงการเพิ่มความเข้ม และความกว้างของเสียง..... | 36 |

สารบัญรูป(ต่อ)

| รูปที่ | หน้า |
|---|------|
| 2.14 Representation of a Side-Branch Resonator..... | 38 |
| 2.15 การส่ง และการสะท้อนของคลื่นในท่อ..... | 42 |
| 2.16 การเปลี่ยนแปลงพื้นที่หน้าตัดในท่อ..... | 43 |
| 2.17 Schematic diagram of Side-Branch Resonator..... | 45 |
| 3.1 แสดงระบบท่อที่ใช้สำหรับการทดลอง แบบ With flow และแบบ Without flow..... | 52 |
| 3.2 Digital real-time frequency analyzer (From Bruel & Kjaer Instruments.)..... | 53 |
| 3.3 Microphone (From Bruel & Kjaer Instruments.)..... | 54 |
| 3.4 แสดง Oscillator..... | 54 |
| 3.5 Acoustic Calibrator (From Bruel & Kjaer Instruments.)..... | 54 |
| 3.6 แสดงรูป Side-branch Resonator..... | 55 |
| 4.1 แสดงผลการทดลอง Side-branch Resonator 1 ตัว ขนาดพื้นที่หน้าตัด $a=0.001296 \text{ m}^2$, มีความยาว $L_b=0.07\text{m}$ ชนิดสี่เหลี่ยมต่อกับท่อนำเสียงสี่เหลี่ยมขนาดพื้นที่หน้าตัด $S=0.002116 \text{ m}^2$ | 57 |
| 4.2 แสดงผลการทดลอง Side-branch Resonator 1 ตัว ขนาดพื้นที่หน้าตัด $a=0.001296 \text{ m}^2$ มีความยาว $L_b=0.08\text{m}$ ชนิดสี่เหลี่ยมต่อกับท่อนำเสียงสี่เหลี่ยมขนาดพื้นที่หน้าตัด $S=0.002116 \text{ m}^2$ | 58 |
| 4.3 แสดงผลการทดลอง Side-branch Resonator 1 ตัว ขนาดพื้นที่หน้าตัด $a=0.001296 \text{ m}^2$ มีความยาว $L_b=0.09\text{m}$ ชนิดสี่เหลี่ยมต่อกับท่อนำเสียงสี่เหลี่ยมขนาดพื้นที่หน้าตัด $S=0.002116 \text{ m}^2$ | 59 |
| 4.4 แสดงผลการทดลอง Side-branch Resonator 1 ตัว ขนาดพื้นที่หน้าตัด $a=0.001289 \text{ m}^2$, มีความยาว $L_b=0.07\text{m}$ ชนิดกลมต่อกับท่อนำเสียงชนิดกลมขนาดพื้นที่หน้าตัด $S=0.002124 \text{ m}^2$ | 60 |
| 4.5 แสดงผลการทดลอง Side-branch Resonator 1 ตัว ขนาดพื้นที่หน้าตัด $a=0.001289 \text{ m}^2$ มีความยาว $L_b=0.08\text{m}$ ชนิดกลมต่อกับท่อนำเสียงชนิดกลมขนาดพื้นที่หน้าตัด $S=0.002124 \text{ m}^2$ | 61 |

เอกสารนี้เป็นทรัพย์สินของมหาวิทยาลัยเทคโนโลยีพระจอมเกล้าพระนครเหนือ 61

ไม่ว่ากรณีใดๆ ทั้งสิ้น อีกทั้งห้ามมิให้คัดลอกเนื้อหา และต้องอ้างอิงถึงเจ้าของเอกสารทุกครั้งที่มีการนำไปใช้

สารบัญรูป(ต่อ)

รูปที่

หน้า

| | |
|---|----|
| 4.6 แสดงผลการทดลอง Side-branch Resonator 1 ตัว ขนาดพื้นที่หน้าตัด $a=0.001296$ m มีความยาว $L_b=0.09$ m ชนิดกลมต่อกับท่อนำเสียงชนิดกลมขนาดพื้นที่หน้าตัด $S=0.002116$ m ² | 62 |
| 4.7 แสดงผลการทดลอง Side-branch Resonator 1 ตัว ขนาดพื้นที่หน้าตัด $a=0.001296$ m, มีความยาว $L_b=0.07$ m ชนิดสี่เหลี่ยมต่อกับท่อนำเสียงกลมขนาดพื้นที่หน้าตัด $S=0.002124$ m ² | 63 |
| 4.8 แสดงผลการทดลอง Side-branch Resonator 1 ตัว ขนาดพื้นที่หน้าตัด $a=0.001289$ m มีความยาว $L_b=0.08$ m ชนิดสี่เหลี่ยมต่อกับท่อนำเสียงกลมขนาดพื้นที่หน้าตัด $S=0.002124$ m ² | 64 |
| 4.9 แสดงผลการทดลอง Side-branch Resonator 1 ตัว ขนาดพื้นที่หน้าตัด $a=0.001296$ m มีความยาว $L_b=0.09$ m ชนิดสี่เหลี่ยมต่อกับท่อนำเสียงกลมขนาดพื้นที่หน้าตัด $S=0.002116$ m ² | 65 |
| 4.10 แสดงผลการทดลอง Side-branch Resonator 1 ตัว ขนาดพื้นที่หน้าตัด $a=0.001289$ m, มีความยาว $L_b=0.07$ m ชนิดกลมต่อกับท่อนำเสียงสี่เหลี่ยมขนาดพื้นที่หน้าตัด $S=0.002116$ m ² | 66 |
| 4.11 แสดงผลการทดลอง Side-branch Resonator 1 ตัว ขนาดพื้นที่หน้าตัด $a=0.001289$ m มีความยาว $L_b=0.08$ m ชนิดกลมต่อกับท่อนำเสียงสี่เหลี่ยมขนาดพื้นที่หน้าตัด $S=0.002116$ m ² | 67 |
| 4.12 แสดงผลการทดลอง Side-branch Resonator 1 ตัว ขนาดพื้นที่หน้าตัด $a=0.001289$ m มีความยาว $L_b=0.09$ m ชนิดกลมต่อกับท่อนำเสียงสี่เหลี่ยมขนาดพื้นที่หน้าตัด $S=0.002116$ m ² | 68 |
| 4.13 แสดงผลการทดลอง Side-branch Resonator 1 ตัว ขนาดพื้นที่หน้าตัด $a=0.001296$ m มีความยาว $L_b=0.07$ m., 0.08 m.และ 0.09 m. ชนิดสี่เหลี่ยมต่อกับท่อนำเสียงสี่เหลี่ยม ขนาดพื้นที่หน้าตัด $S=0.002116$ m ² | 69 |
| 4.14 แสดงผลการทดลอง Side-branch Resonator 1 ตัว ขนาดพื้นที่หน้าตัด $a=0.001289$ m มีความยาว $L_b=0.07$ m., 0.08 m.และ 0.09 m. ชนิดกลมต่อกับท่อนำเสียงสี่เหลี่ยม | |

ขนาดพื้นที่หน้าตัด $S=0.002116$ m² ส่วนเพื่อการสืบหาเท่านั้น ไม่ขอเอาไปใช้ในวิทยานิพนธ์
ไม่ว่ากรณีใดๆทั้งสิ้น อีกทั้งห้ามมิให้คัดลอกเนื้อหา และต้องอ้างอิงถึงเจ้าของเอกสารทุกครั้งที่มีการนำไปใช้

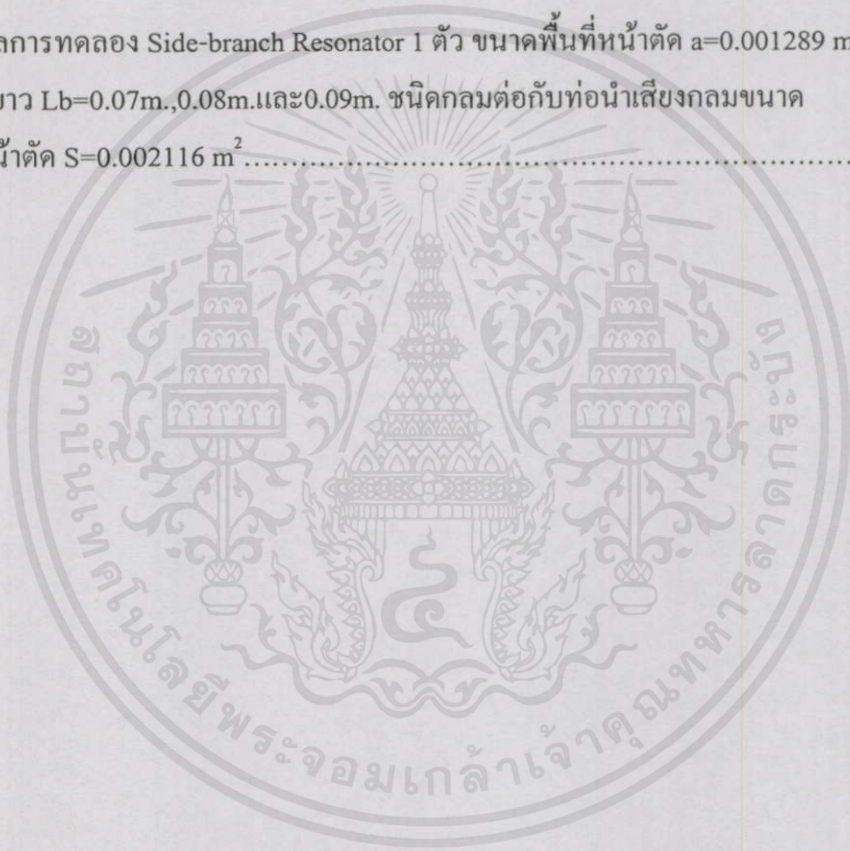
สารบัญรูป(ต่อ)

รูปที่

หน้า

4.15 แสดงผลการทดลอง Side-branch Resonator 1 ตัว ขนาดพื้นที่หน้าตัด $a=0.001289$ m
มีความยาว $L_b=0.07$ m., 0.08 m.และ 0.09 m. ชนิดกลมต่อกับท่อनाเสียงสี่เหลี่ยม
ขนาดพื้นที่หน้าตัด $S=0.002116$ m²71

4.16 แสดงผลการทดลอง Side-branch Resonator 1 ตัว ขนาดพื้นที่หน้าตัด $a=0.001289$ m
มีความยาว $L_b=0.07$ m., 0.08 m.และ 0.09 m. ชนิดกลมต่อกับท่อनाเสียงกลมขนาด
พื้นที่หน้าตัด $S=0.002116$ m²72



เอกสารนี้เป็นเอกสารที่สงวนไว้สำหรับการใช้งานเพื่อการศึกษาเท่านั้น ไม่อนุญาตให้นำไปใช้ประโยชน์ด้านการค้า
ไม่ว่ากรณีใดๆทั้งสิ้น อีกทั้งห้ามมิให้คัดแปลงเนื้อหาและต้องอ้างอิงถึงเจ้าของเอกสารทุกครั้งที่มีการนำไปใช้

บทที่ 1

บทนำ

1.1 ความเป็นมา และความสำคัญของปัญหา

Noise หมายถึงเสียงรบกวนที่ไม่ต้องการได้ยินนั่นเอง จะมีโทษมากกว่าผลดี และทำให้มนุษย์เกิดความรำคาญ.ความดันโลหิตสูง.หลอดเลือดตีบลง.ในระยะยาวจะส่งผลกระทบต่อความผิดปกติของหัวใจ นอกจากนี้เสียงดังยังมีผลต่อการหลั่งฮอร์โมนประเภทต่างๆ การยึดหดตัวของกล้ามเนื้อ การแปรปรวนทางอารมณ์ และจิตใจ ซึ่งจะมีผลต่อประสิทธิภาพในการทำงานของมนุษย์ ปัญหาเกี่ยวกับเสียงรบกวนนี้ได้มีการศึกษาค้นคว้ามานานแล้ว เพราะเสียงรบกวนเป็นมลพิษอย่างหนึ่ง ซึ่งปัญหานี้นับวันจะทวีความรุนแรงมากขึ้น อันเนื่องมาจากการพัฒนาการของมนุษย์นั่นเอง จึงทำให้ในปัจจุบันนี้การแก้ปัญหาการลดมลพิษทางเสียงจึงเป็นสิ่งที่ได้รับความสนใจเป็นอย่างมาก การลดเสียงรบกวนสามารถกระทำได้ 2 วิธี อย่างแรกคือ การลดเสียงแบบ Passive หมายถึงการควบคุมโดยอาศัยวัสดุในการดูดซับเสียง หรือใช้อุปกรณ์ในการป้องกันเสียงซึ่งวิธีนี้โดยทั่วไปสามารถลดเสียงได้ดีที่ความถี่สูง และสองเป็นการควบคุมเสียงแบบ Active (Active Noise Control) (ANC) ซึ่งแบบนี้จะเป็นการลดเสียงโดยอาศัยแหล่งกำเนิดเสียงที่สอง (Secondary Noise Source) ไปหักล้างเสียงจากแหล่งกำเนิดเสียงหลัก (Original Primary Noise Source) โดยแหล่งกำเนิดเสียงที่สองจะมีความถี่และอัมพลิจูดเท่ากับแหล่งกำเนิดเสียงหลักแต่มีเฟส (Phase) ตรงข้ามกัน ซึ่งวิธีจะลดเสียงได้ดีที่ความถี่ต่ำ เสียงที่เข้มมากๆ เป็นสาเหตุให้เกิดการสูญเสียการได้ยินถาวรหลังจากที่ได้รับเสียงนานเกินไป ความเข้มของเสียงตามเส้นการผลิตในโรงงานหลายแห่ง การขับรถยนต์หรือมอเตอร์ไซค์ และยังสามารถอันตรายให้กับชีวิตของมนุษย์ได้ ตัวอย่างเช่น อุบัติเหตุร้ายแรง อาจเกิดขึ้นได้เมื่อเกิดเสียงจากใบพัดขนาดใหญ่ในโรงงาน หรือเสียงลมในระบบท่อกลบเสียงเดือนกษัตริย์ที่อันตรายใกล้เข้ามา ทั้งหมดนี้จึงเป็นตัวอย่างที่เกิดจาก Noise

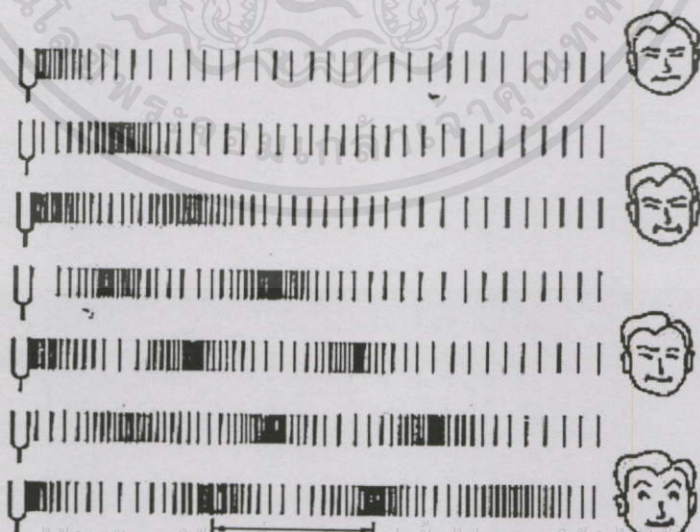
ดังนั้นงานวิจัยจึงศึกษาการลดเสียงรบกวน (Noise Reduction) ในระบบท่อโดยใช้ Single Chamber Resonator ชนิด Side-Branch เป็นแนวทางหนึ่งที่น่าสนใจเพื่อศึกษาพฤติกรรมลดเสียง จะพิจารณาอยู่ 2 กรณี คือ กรณีแรกไม่มีความเร็วลมไหลผ่าน และกรณีที่สองมีความเร็วลม ซึ่งกรณีมีความเร็วลมไหลผ่านจะมีความเร็วลมต่างๆ กัน ผลที่ได้จากการทดลองวิจัยนี้สามารถนำไปเพื่อเป็นแนวทางในการพัฒนาอุปกรณ์ลดเสียง และประยุกต์ในการใช้งานในระบบท่อต่างๆ ได้ในอนาคต เป็นเอกสารที่สงวนไว้สำหรับการใช้งานเพื่อการศึกษาเท่านั้น ไม่อนุญาตให้นำไปใช้ประโยชน์ด้านการค้า ไม่ว่าจะกรณีใดๆ ทั้งสิ้น อีกทั้งห้ามมิให้คัดแปลงเนื้อหา และต้องอ้างอิงถึงเจ้าของเอกสารทุกครั้งที่มีการนำไปใช้

1.2 ความมุ่งหมาย และวัตถุประสงค์ของการศึกษา

เพื่อศึกษาพฤติกรรมของอุปกรณ์ลดเสียงแบบ Side-Branch แต่ละขนาดที่สามารถลดเสียงในช่วงความถี่ใด ซึ่งจะสามารถนำไปพัฒนาประยุกต์ใช้ในการลดเสียงได้ เช่นในระบบท่อไอเสียรถยนต์ และการลดเสียงในทางเดินของท่อ Port ID เครื่องยนต์ และระบบท่อลมไลน์ผลิตตามโรงงานอุตสาหกรรมต่างๆ

1.3 สมมุติฐานของการศึกษา

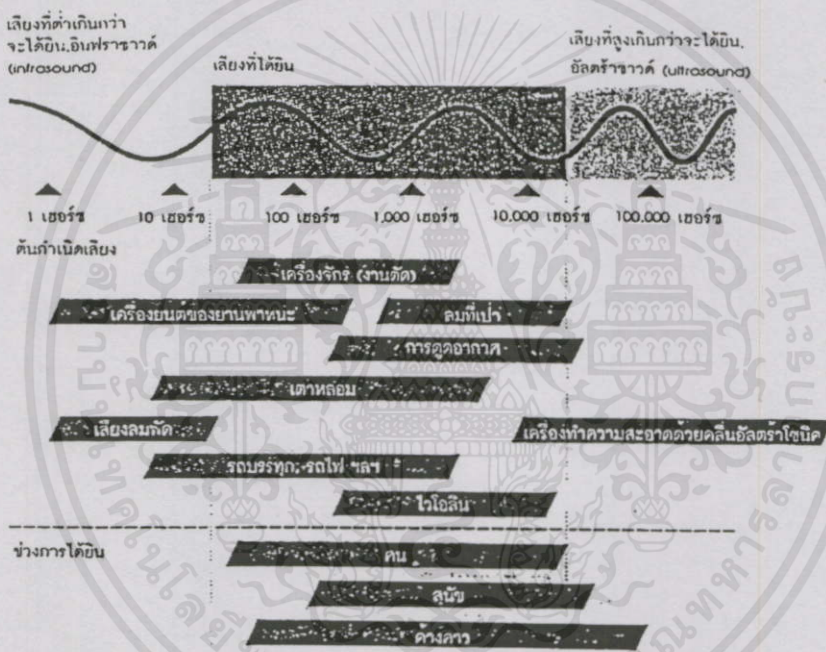
เสียง (Sound) เป็นปรากฏการณ์ประเภทคลื่นโดยพลังงานการสั่นสะเทือนจากต้นกำเนิดเสียงจะกระทบต่ออนุภาคของอากาศที่อยู่รอบๆ เคลื่อนที่ไปเป็นคลื่น และอนุภาคที่อยู่ห่างออกไปเสียงจะเดินทางไปในอากาศด้วยความเร็วประมาณ 340 เมตรต่อวินาที ของเหลว และของแข็งจะเคลื่อนเร็วกว่านี้ เช่น ในน้ำ 1500 เมตรต่อวินาที และในเหล็ก 5000 เมตรต่อวินาที การสั่นสะเทือนจาก Tuning fork ที่มีลักษณะเป็นง่ามจะสั่นสะเทือนที่ความถี่คงที่ ขณะที่ง่ามเคลื่อนที่ไปข้างหน้าและข้างหลัง อากาศในบริเวณใกล้เคียงกับง่าม ก็จะเกิดการกดอัด และการทำให้บางเบา (Rarefaction) เป็นช่วงๆ การรบกวนเช่นนี้จะแพร่ออกจาก Tuning Fork แสดงดังรูปที่ 1.1 หูก็จะรับเสียงต่อโดยความถี่ของการสั่นของง่าม Tuning Fork ถ้าเราขยายให้มี Tuning Fork หลายๆ อัน ให้สั่นในเวลาเดียวกัน โดยแต่ละอันจะมีความถี่แตกต่างกัน เสียงซึ่งหูของเรารับรู้ก็จะไม่เป็น Pure Tone อีกต่อไป แต่จะมีส่วนประกอบของความถี่หลายๆ อันมากกว่า โดยทั่วไปเสียงที่มาถึงหูของ



เอกสารนี้เป็นเอกสารที่สงวนไว้สำหรับการใช้งานในเท่านั้น ไม่อนุญาตให้นำไปใช้ประโยชน์ด้านการค้าไม่ว่ากรณีใดๆทั้งสิ้น อีกทั้งห้ามมิให้คัดแปลงเนื้อหา และต้องอ้างอิงถึงเจ้าของเอกสารทุกครั้งที่มีการนำไปใช้

รูปที่ 1.1 การสั่นสะเทือนของต้นกำเนิดเสียง และมีผลกระทบต่ออนุภาคของอากาศที่มีกระทบยังแก้วหู

เราจะมีจำนวนของส่วนประกอบความถี่ที่ไม่จำกัด อย่างไรก็ตามหูของคนธรรมดาจะไวต่อส่วนประกอบใน Range ที่ประมาณ 20 ถึง 20,000 Hertz หรือ (รอบต่อวินาที) เท่านั้นหูจะไม่ได้ยินส่วนประกอบของเสียงถ้าตกอยู่ภายนอก Range ของความถี่นี้ เสียงเกิดขึ้นซ้ำๆ ในการวิจัยนี้จะพิจารณาเสียงที่ส่งผ่านไปในระบบท่อ คลื่นเสียงจะถูกส่งจากจุดหนึ่งไปยังอีกจุดหนึ่ง ซึ่งงานวิจัยนี้จะจำกัดเสียงให้ลดน้อยลงก่อนที่จะเสียงจะผ่านไปยังส่วนปลายท่อ โดยใช้ทฤษฎี Transmission loss ซึ่งเสียงที่มีความถี่สูง จะรบกวนมากกว่าเสียงที่มีความถี่ต่ำ และเสียงบริสุทธิ์ (Pure Tone) จะรบกวนมากกว่าเสียงที่ประกอบไปด้วยเสียงหลายๆ เสียง



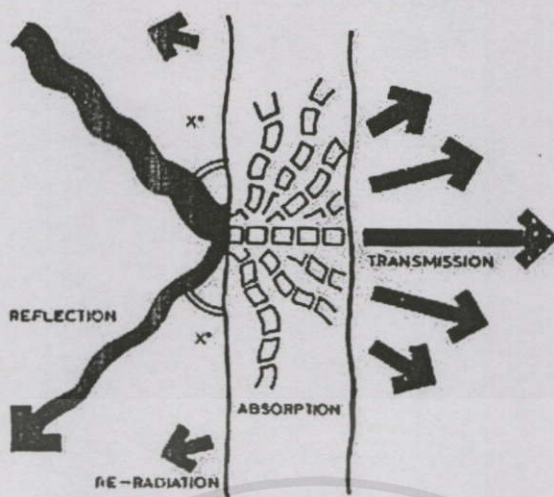
รูปที่ 1.2 ความเข้มของเสียงเท่ากัน เสียงดังจากลมที่เป่า หรือการดูดอากาศซึ่งจะอยู่ในช่วงความถี่สูง

1.4 ทฤษฎี หรือแนวความคิดที่ใช้ในการวิจัย

การลดเสียงรบกวน โดยทั่วไป จะลดเสียงจากต้นกำเนิดเสียง และทางผ่านของเสียง การพิจารณาวัสดุ และอุปกรณ์ที่สำหรับลดเสียงแนวความคิดวิธีการลดเสียงรบกวนการส่งผ่าน

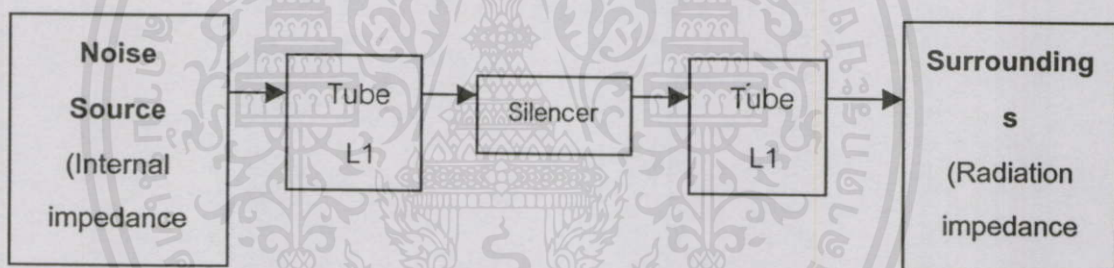
(Transmission), การสะท้อน (Reflection) และการดูดซึม (Absorption) แสดงในรูปที่ 1.3

ไม่ว่ากรณีใดๆ ทั้งสิ้น อีกทั้งห้ามมิให้คัดแปลงเนื้อหา และต้องอ้างอิงถึงเจ้าของเอกสารทุกครั้งที่มีการนำไปใช้



รูปที่ 1.3 Transmission loss in mass controlled

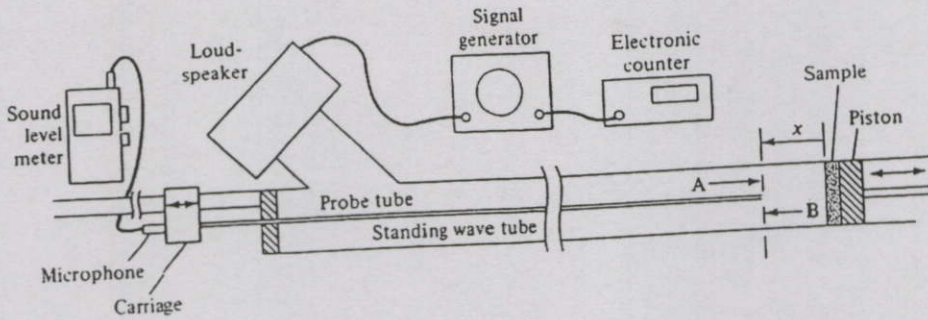
แสดงการขึ้นตอนจำลองในการลดเสียงในระบบท่อ โดยใช้ Silencer เป็นอุปกรณ์ลดเสียง



รูปที่ 1.4 แสดงเสียงที่ส่งผ่านต่อเข้ากับท่อ L1 และ L2 โดยมี Silencer สำหรับลดเสียงก่อนที่เสียงจะออกสู่สิ่งแวดล้อม

จากทฤษฎี Standing - Wave พิจารณาของท่อกลม และท่อสี่เหลี่ยมกำเนิดเสียงได้จาก Loudspeaker ที่จุดเริ่มต้น และใช้ Probe tube หรือ Microphone เล็กๆ ที่มีขนาดยาวแสดงในรูปที่ 1.5 โดยใช้ Sample ของ Acoustical material หรือ Silencer เพื่อศึกษาการลดเสียง

เอกสารนี้เป็นเอกสารที่สงวนไว้สำหรับการใช้งานเพื่อการศึกษาเท่านั้น ไม่อนุญาตให้นำไปใช้ประโยชน์ด้านการค้า
ไม่ว่ากรณีใดๆทั้งสิ้น อีกทั้งห้ามมิให้คัดแปลงเนื้อหา และต้องอ้างอิงถึงเจ้าของเอกสารทุกครั้งที่มีการนำไปใช้



รูปที่ 1.5 อุปกรณ์สำหรับวัดการสะท้อนกลับ

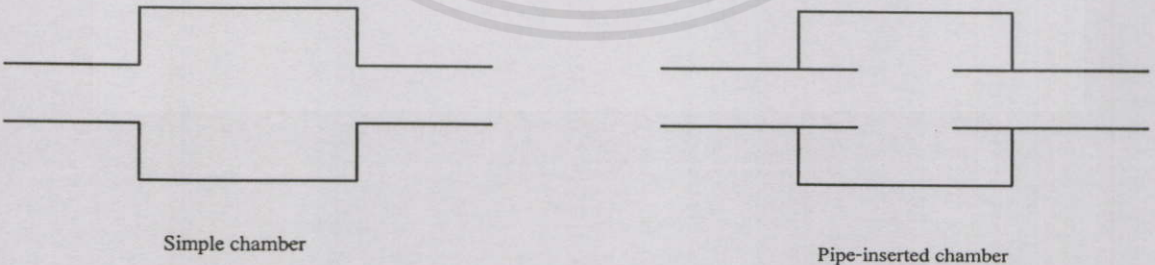
1.4.1 Silencers สำหรับลดเสียงในท่อ

Acoustic silencers และการออกแบบสำหรับอุปกรณ์ลดเสียงในระบบการไหล ชนิดแรก เช่น เสียงจากพัดลม ,เสียงจากท่อไอเสียรถยนต์ ,ระบบ intake และ ท่อลมตามไลน์ ชนิดที่สอง Silencers

Silencers จะประกอบด้วย หนึ่งชั้น หรือ มากกว่าหนึ่งชั้น เช่น expansion chambers, Side-branch resonator , Side-Branch resonator , Conical side branch Perforated tubes ซึ่ง silencers จะพิจารณาถึงความถี่ที่ทำการติดตั้งเข้ากับระบบ คือ Automotive exhaust mufflers และ Silencers สำหรับ Industrial Processes ซึ่งรวมถึง expansion chambers, Side-branch resonator , Side-Branch resonator

ชนิดของอุปกรณ์ลดเสียงแบบต่างๆ

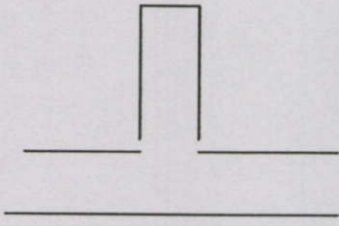
1. การลดเสียงโดยการใช้ Expansion chambers



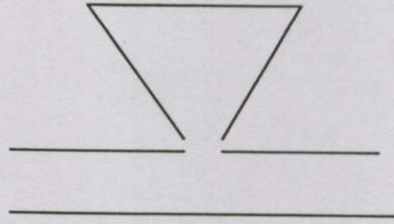
รูปที่ 1.6 การลดเสียงโดยการใช้ Expansion chamber

เอกสารนี้เป็นเอกสารที่สงวนไว้สำหรับการใช้งานเพื่อการศึกษาเท่านั้น ไม่อนุญาตให้นำไปใช้ประโยชน์ด้านการค้า ไม่ว่าจะกรณีใดๆทั้งสิ้น อีกทั้งห้ามมิให้คัดแปลงเนื้อหา และต้องอ้างอิงถึงเจ้าของเอกสารทุกครั้งที่มีการนำไปใช้

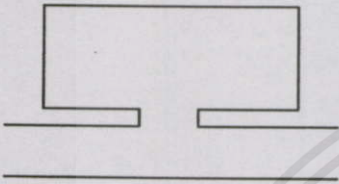
2. การลดเสียงโดยใช้อุปกรณ์ลดเสียงแบบ Resonator



Side Branch



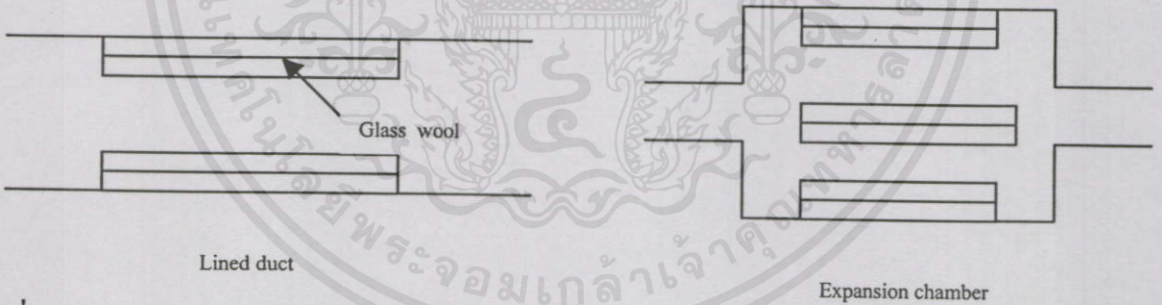
Conical Side Branch



Helmholtz resonator

รูปที่ 1.7 ลักษณะของ silencers หรือ Resonator

3. การลดเสียงแบบใช้อุปกรณ์ดูดซับเสียง



Lined duct

Expansion chamber

รูปที่ 1.8 ลักษณะของอุปกรณ์แบบดูดซับเสียง

เอกสารนี้เป็นเอกสารที่สงวนไว้สำหรับการใช้งานเพื่อการศึกษาเท่านั้น ไม่อนุญาตให้นำไปใช้ประโยชน์ด้านการค้า
ไม่ว่ากรณีใดๆทั้งสิ้น อีกทั้งห้ามมิให้คัดแปลงเนื้อหา และต้องอ้างอิงถึงเจ้าของเอกสารทุกครั้งที่มีการนำไปใช้

ตารางที่ 1 ผลงานวิจัยที่เกี่ยวข้อง

| พ.ศ | ชื่อผู้ทำวิจัย | ชื่อเรื่องวิจัย |
|------|--|--|
| 2517 | M.L.Munjaj | Velocity Ratio-CUM-Transeer Matrix Method For The Evaluation of a Muffler with Mean Flow |
| 2520 | Richard Oboka | Comparision of Transmission loss and Insertion loss of a Helmholtz Resonator |
| 2520 | Richard Oboka | Performance Characteristic of Combination of Element |
| 2523 | Dr.Shuntoro Murakami, Sanni Hagi and Minoru Maeda | Acoustical Performance of Conical Side - Branch Tubes |
| 2534 | รศ.อัครเดช สีนรุภัก,Dr.Shuntoro Murakam และ Minuru Maede | Acoustical Performance of Helmholtz's Type Resonators |
| 2534 | รศ.อัครเดช สีนรุภัก,Dr.Shuntoro Murakam และ Minuru Maede | Acoustical Performance of Side Branch Type Silencers |
| 2534 | รศ.อัครเดช สีนรุภัก,Dr.Shuntoro Murakam และ Minuru Maede | Effect of flow on Transmission Loss Characteristic of Expansion Chamber Mufflers |
| 2539 | รศ.อัครเดช สีนรุภัก,Dr.Shuntoro Murakam และ Minuru Maede | Effect of flow on Transmission Loss Characteristic of Helmholtz's Type Resonator |
| 2542 | บุญชัย ศิลปกิจวงษ์กุล | สมรรถนะของเครื่องลดเสียงชนิด Helmholtz |

1.5 ขอบเขตการวิจัย

การวิจัยนี้ได้จำลองกระบวนการเกิดเสียงรบกวนในระบบท่อที่สามารถกำหนดความถี่ของเสียงรบกวนในช่วงความถี่ได้ จากนั้นขึ้นอยู่กับสมมุติฐาน และวิธีการทั่วไปของสมการในการลดเสียงของSide-branch Resonator ไว้ดังนี้

1. ความดันของเสียงมีค่าน้อย เมื่อเปรียบเทียบกับค่าความดันสัมบูรณ์เฉลี่ยในระบบและไม่ขึ้นกับเวลา
2. ท่อนำเสียงที่ใช้จะต้องมีลักษณะไม่สะท้อนกลับของคลื่น
3. ผนังของ Resonator ต้องไม่ดูดกลืน และนำพลังงานเสียง
4. คลื่นความดันในแนวระนาบมีการเพิ่มขึ้นภายในท่อนำเสียง
5. อิทธิพลของความหนืดโดยทั่วไปมีผลน้อยมาก

เอกสารนี้เป็นเอกสารที่สงวนไว้สำหรับการใช้งานเพื่อการศึกษาเท่านั้น ไม่อนุญาตให้นำไปใช้ประโยชน์ด้านการค้า
ไม่ว่ากรณีใดๆทั้งสิ้น อีกทั้งห้ามมิให้คัดแบบแก้ไขเนื้อหา หรือต้องขอสงวนลิขสิทธิ์ของเอกสารทุกครั้งที่มีการนำไปใช้

6. ผลการทดลองจะต้องปรับแก้การสะท้อนที่เกิดขึ้นจริง เพื่อความถูกต้องกับสภาวะข้างต้นที่กล่าวมาแล้ว
7. อุปกรณ์ต่างๆ ที่ใช้ในการทดลองจะต้องแม่นยำและผ่านการ Calibrate

การศึกษาพฤติกรรมการลดเสียง ในระบบท่อดังนี้

1 ศึกษาโดยใช้ท่อ pipe 2 ประเภท

- 1.1 ท่อกลมขนาดเส้นผ่านศูนย์กลาง 52 mmหนา 6 mm., $a=0.002124 \text{ m}^2$.
- 1.2 ท่อสี่เหลี่ยมขนาด 46 x 46 mm หนา 6 mm., $a=0.002116 \text{ m}^2$.

2. อุปกรณ์ในการลดเสียงแบบ Side-branch Resonator

- 2.1 ชนิดกลมขนาดเส้นผ่านศูนย์กลาง 40.5 mm $A = 0.001289 \text{ m}^2$
- 2.2 ชนิดสี่เหลี่ยมขนาด 36x36 mm $A = 0.001296 \text{ m}^2$

3. ความยาวของ Side-branch

- 3.1 ความยาว 4 mm
- 3.2 ความยาว 5 mm
- 3.3 ความยาว 6 mm
- 3.4 ความยาว 7 mm
- 3.5 ความยาว 8 mm
- 3.6 ความยาว 9 mm

4. ทำการทดลองพฤติกรรมการลดเสียงแบบ without flow

5. ทำการทดลองพฤติกรรมการลดเสียงแบบ with flow

6. โดยใช้ความเร็วลม $U=10,20,30,40 \text{ m/s}$

1.6 ขั้นตอนของการศึกษา

โดยการศึกษาว่า Side-branch Resonator แต่ละชนิดมีพฤติกรรมลดเสียงในช่วงใดและศึกษาท่อนำเสียงที่เกิดเสียงในช่วงความถี่สูง หลังจากนั้นเลือกท่อนำเสียงแบบกลมเส้นผ่านศูนย์กลาง 0.052 m และท่อนำเสียงแบบสี่เหลี่ยมขนาด 0.046 m x 0.046 m และทำการตัดท่อเป็นส่วนๆขนาดความยาวส่วนละ 1 m แล้วทำการเชื่อมยึดติดกับหน้าแปลนขนาด 150 mm เพื่อสะดวกในการติดตั้งและถอดประกอบอุปกรณ์ทดลอง หลังจากนั้นนำท่อดังกล่าวมาประกอบกันให้ได้ตามความต้องการ และทำการติดตั้งอุปกรณ์ Oscillator เป็นอุปกรณ์ปรับความถี่ จะต่อกับ Amplifier เป็นอุปกรณ์ขยายสัญญาณเสียง และผ่าน Driver Unit หรือ Loudspeaker เป็นอุปกรณ์จำลองเสียงเข้าในระบบท่อ จากนั้นใช้ Microphone วัดสัญญาณเสียงผ่าน Probe tube ต่อผ่าน Pre-Amplifier และต่อกับ FFT Analyzer เป็นอุปกรณ์เปลี่ยนสัญญาณคลื่นเสียงให้เป็นสัญญาณความดันซึ่งมีหน่วย

เป็นเดซิเบล เมื่อติดอุปกรณ์และนำ Side-branch resonator ติดตั้งเข้ากับผนังของท่อเพื่อศึกษา พฤติกรรมการลดเสียงของ Side-branch resonator แต่ละชนิดว่าสามารถลดเสียงในช่วงความถี่ใด เพื่อความสะดวกในการศึกษาโดยนำข้อมูลที่ได้จากผลทดลองมาแสดงความสัมพันธ์บนกราฟ ระหว่าง Transmission loss (dB) กับ Frequency (Hz)



เอกสารนี้เป็นเอกสารที่สงวนไว้สำหรับการใช้งานเพื่อการศึกษาเท่านั้น ไม่อนุญาตให้นำไปใช้ประโยชน์ด้านการค้า ไม่ว่าจะกรณีใดๆทั้งสิ้น อีกทั้งห้ามมิให้คัดแปลงเนื้อหา และต้องอ้างอิงถึงเจ้าของเอกสารทุกครั้งที่มีการนำไปใช้

บทที่ 2 ทฤษฎีพื้นฐาน

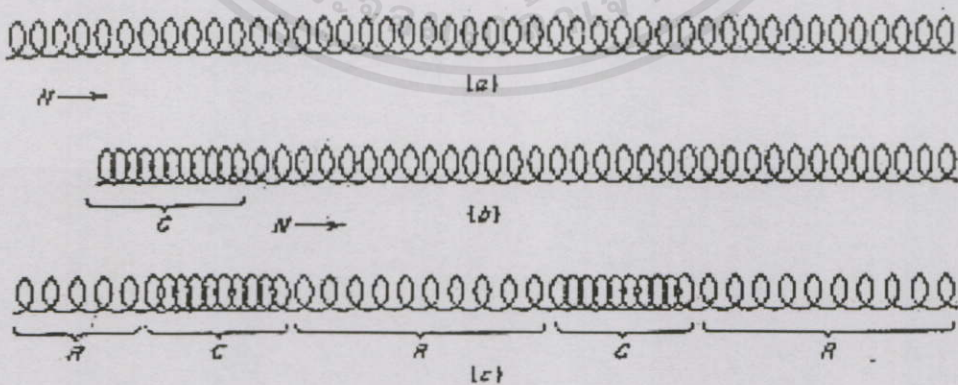
2.1 พฤติกรรมของคลื่นเสียง

2.1.1 คุณสมบัติพื้นฐานของคลื่น

จากวิชาฟิสิกส์ทุกรูปแบบของการเคลื่อนไหวของคลื่นจะเป็นไปตามคำกล่าวที่ว่า การรบกวนที่เกิดขึ้น ณ จุดหนึ่งจะถูกส่งผ่านไปยังอีกจุดหนึ่งได้ ซึ่งถูกกำหนดโดยคุณสมบัติทางกายภาพของภาวะคงที่ระหว่างจุดที่ทำการสังเกต

คลื่นเสียงเป็นรูปแบบเฉพาะของคลื่นระดับธรรมดา รู้จักในนามของ Elastic waves โดยสามารถเกิดขึ้นในสื่อ มีคุณสมบัติของมวล (Inertia) กับ Elasticity ซึ่ง Elasticity จะมีหน้าที่ดึงกลับมายังตำแหน่งเดิมเหมือนกับสปริง ด้วยเหตุผลนี้ Inertia ส่วนที่ถูกเคลื่อนที่ไปสามารถส่ง Momentum ไปยังส่วนที่อยู่ติดกัน

การส่งผ่าน Elastic wave ได้แสดงในรูปที่ 2.1 Coil Spring โลหะตัดปลายถูกดึงให้ยืดออก Inertia ประกอบอยู่กับมวลของ Coil Elasticity และมีแนวโน้มที่คงสภาพระยะห่างของ Coil อยู่ติดกันอย่างสม่ำเสมอ เมื่อเกิดการเคลื่อนไหวที่ปลายด้านหนึ่งของสปริงที่ถูกยืดออก ในทิศทางตามแกนของ Coil พลังงานจะไม่มี การเคลื่อนไหว ผลของ Momentum เป็นเหตุให้ Coil พลังงานจะไม่มี การเคลื่อนไหว ผลของ Momentum เป็นเหตุให้ Coil ที่ถูกเปลี่ยนแรงที่ส่งไปยัง Coil ที่อยู่ไกลออกไปตามเส้น และ Elasticity ก็จะทำให้ Coil เคลื่อนที่ไปและย้อนกลับคืนมายังตำแหน่งเดิม คลื่นจะถูกแพร่ไปตามสปริง และจะแพร่ต่อไปในทิศทางที่คลื่นนั้นเคลื่อนไป



เอกสารนี้เป็นเอกสารที่สงวนไว้สำหรับการใช้งานเพื่อการศึกษาเท่านั้น ไม่อนุญาตให้นำไปใช้ประโยชน์ด้านการค้า

รูปที่ 2.1 Transmission ของ elastic wave ที่ให้กับ coil spring a) สภาพหยุดอยู่หนึ่ง b) การกด spring ให้เคลื่อนที่ c) การกดให้ spring เคลื่อนที่อย่างต่อเนื่องจากทางด้านซ้ายมือ N คือสภาพปกติ C คือ สภาพการกด และ R คือ สภาพการขยายออก

2.1.2 อากาศและคุณสมบัติของอากาศ

นิยามเกี่ยวกับ Elastic Medium Inertia Elasticity ในการพิจารณา Inertia ถือว่า อากาศ มีมวล “น้ำหนัก” สำหรับจุดประสงค์นี้ ให้สมมติว่า อากาศประกอบด้วยจำนวนโมเลกุลหลายๆ ซึ่งจะคิด เฉพาะขอบเขตเล็กๆ ที่ถูกแพร่กระจายไปอย่างมีรูปแบบเดียวกันภายในที่ว่าง แต่ละโมเลกุลจะเคลื่อน ไหวในรูปแบบ Random Motion ถ้าล้อมรอบส่วนที่ว่างในกล่อง ก่อนอื่นจะต้องไม่มีอากาศ และจากนั้นก็เติมอากาศเข้าไป ณ. อุณหภูมิห้อง และความดันปกติ พบว่าน้ำหนักของอากาศจะประมาณ 1 lb. สำหรับ ทุกๆ 13 ft^3 หรือประมาณ 1 kg สำหรับทุกๆ 1 m^3 พบว่าอากาศ จะมีแรงบนพื้นผิวของกล่อง จำนวน ประมาณ $14.7 \text{ lb} / \text{in}^2$ หรือประมาณ $100,000 \text{ Newton} / \text{m}^2$ แรงต่อหน่วยพื้นที่ อันนี้เป็นสิ่งที่มักจะเรียกว่า ความดันบรรยากาศ และสัมพันธ์โดยตรงกับ Density หรือจำนวนโมเลกุลของอากาศในกล่อง พบว่า คุณสมบัติรวมๆ ของอากาศระบุได้ 3 Parameters คือ 1)

ความดัน 2) Density 3) อุณหภูมิ

สามารถแสดงให้เห็นว่าอากาศมี Elasticity โดยวิธีการต่างๆ อย่างเช่น ถ้าเราปล่อยลมออกจาก ลูกบาสเกตบอลออก และปล่อยให้ตกลงบนพื้นลูกบาสเกตบอลก็จะไม่เด้งขึ้นมา แต่เมื่อเติมลมเข้าไปใน ลูกบาสเกตบอลก็จะกระเด็นเมื่อตกลงบนพื้น แม้แต่ในตัวอย่างที่ง่ายกว่านี้สมมุติว่าในขณะที่เตรียมทำให้ ลูกบาสเกตบอลพอง ถ้าเราเอานิ้วไปบีบรูบีลม จะทำให้เกิดความรู้สึกแบบเดียวกับการกดสปริง ใน ความเป็นจริงการที่เรารู้ขนาดทางกายภาพของรูบีลม และจำนวนของ Force ที่เราใช้มือกดสามารถกำหนด “Spring Constant” หรือ Compressibility ของก๊าซได้ รวมทั้งให้คำอธิบายในเชิงปริมาณของ Elasticity ของอากาศได้

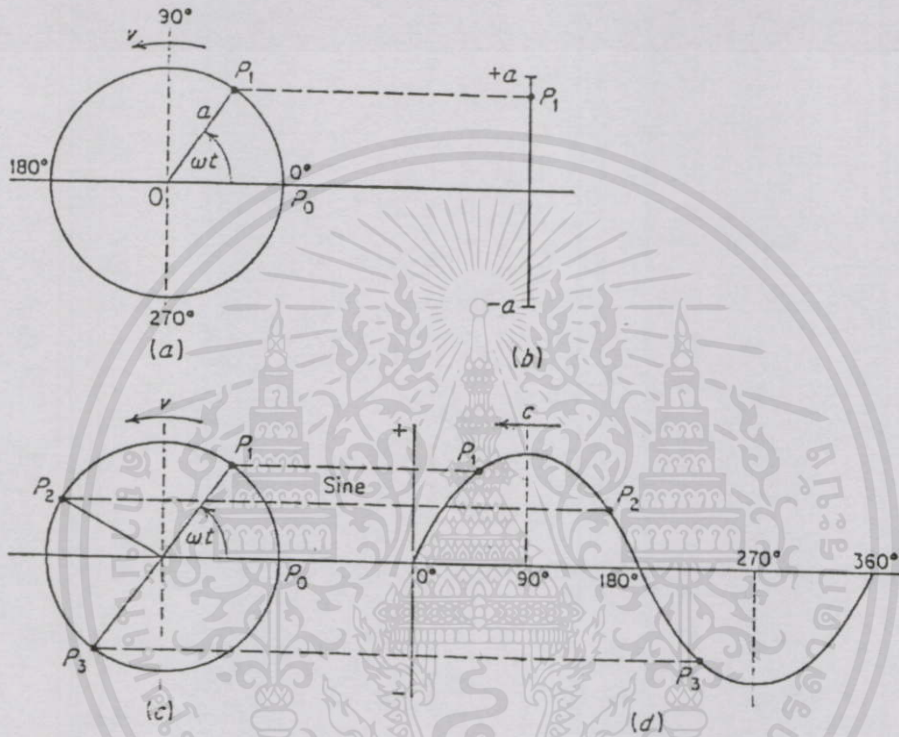
สรุปได้ว่า เพราะน้ำหนักของอากาศจึงมี Inertia เพราะ “Springiness” จึงมี Elasticity และ เพราะอากาศทั้ง Inertia Elasticity คลื่นจึงสามารถแพร่ไปได้ในอากาศ

2.1.3 Harmonic Motion สำหรับ Sine Wave

มาถึงตรงนี้ได้กล่าวถึง Density, Elasticity, ความดัน และอุณหภูมิของอากาศ อธิบายได้ว่า จะ สามารถแพร่คลื่นเสียงผ่านได้ ขณะที่ในเรื่องของเสียงที่ซับซ้อนมากๆ เหมือนจะมีประโยชน์มากกว่า พิจารณารูปแบบที่ง่ายของเสียงเป็นอันดับแรก คือ Pure Tone ในการจำแนกแยกแยะ Pure Tone ในการ จำแนกแยกแยะ Pure Tone เกิดขึ้นมาจากชนิดของ Motion นี้เรียกว่า Sine wave พิจารณาว่าคลื่นเกิดขึ้นได้อย่างไร

Simple Harmonic Motion มักถูกอธิบายว่าเป็น Projection บนพื้นราบทางเดินของจุดที่กำลัง เคลื่อนที่ไปรอบวงกลม ณ. ความเร็วเดียวกัน ตัวอย่างเช่นในรูปที่ 2.2 (a) สมมุติว่า จุดเคลื่อนไหว P1 เดินทางไปรอบๆ วงกลม ณ. ความเร็วคงที่ Projection ของจุดนี้บนพื้นราบ ก็จะลากกลับและลากไปตาม เส้นทางเหมือนกับจุดที่ไปรอบๆ วงกลม (ดังรูปที่ 2.2 b) สมมุติได้เคลื่อนที่ที่พื้นทีราบลงบนที่ซึ่ง Plot Projection ไปทางซ้าย ณ. ความเร็วเดียวกัน c (เหมือนที่ระบุไว้ในรูปที่ 2.2 (d))

แทนที่จะลากซ้อนๆ กันไปตามเส้นทางแสดงดังในรูปที่ 2.2 (b) ผลการลากเส้นก็คือรูปแบบของกราฟ Trigonometric Function ซึ่งรู้จักกันในนามของมุมเป็น อัตราของด้านที่ตรงข้ามกับมุมในสามเหลี่ยมทางขวาต่อด้านยาวที่สุดของสามเหลี่ยม Simple Harmonic Motion เป็น Motion ซึ่งจะเปลี่ยนใน Magnitude กับเวลาตามลักษณะที่อธิบายไว้ในรูปที่ 2.2 (c) กับ (d) เคลื่อนที่ทำให้เกิด Plot ของเคลื่อนที่ เหมือนกับ Function ของเวลาที่คล้ายกับ Sine wave ดังที่ระบุไว้ในรูปที่ 2.2 (d)

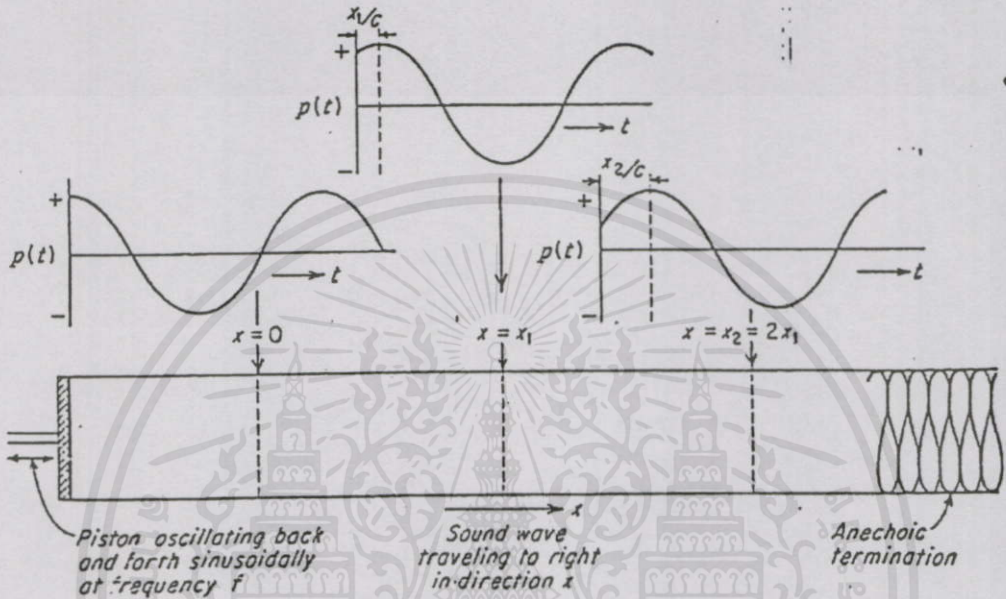


รูปที่ 2.2 ตัวอย่าง Harmonic motion Sine wave, a) จุด P1 เคลื่อนที่เป็นวงกลมคงที่เท่ากับความเร็ว v และ b) เคลื่อนที่ขึ้น และลงระหว่าง $+a$ และ $-a$, c) จะเหมือนกับ Projection d) เคลื่อนที่ไปทางซ้าย ซึ่งที่ความเร็ว c

พิจารณา long Tube ที่บรรจุไปด้วยอากาศที่มี Movable Piston ที่ปลายด้านหนึ่ง (รูปที่ 2.3) สมมุติว่า Piston ถูกทำให้เคลื่อนที่ไป และกลับใน Simple Harmonic Motion ของ Piston นี้จะทำให้ โมเลกุลอากาศที่อยู่ชิดติดกันกับ Piston จับกลุ่มอยู่ด้วยกันหรือกดอัด จากนั้นจะเคลื่อนแยกออกจากกัน หรืออาจไป Action สลับกันระหว่าง Alternate Compression กับ Rarefaction จะเคลื่อนที่ตาม Tube ขึ้นอยู่กับ Elasticity ของตัวกลาง คลื่นที่มีรูปทรง Sine จะถูกก่อให้เกิดขึ้นซึ่งความถี่เป็นอัตรา (จำนวนของ ครั้งต่อวินาที) ที่ Piston เคลื่อนกลับและไป Strength ของคลื่น ถูกกำหนดโดย Magnitude ของการเคลื่อนที่ของ Piston

2.1.4 คลื่นเสียงในอากาศ

ในที่นี้ Simple Sound wave ของ Single Frequency ถูกกำหนดขึ้นมาได้อย่างไร พิจารณาว่า คลื่นนี้เคลื่อนที่ผ่านอากาศได้อย่างไร แล้ว Parameter ที่ใช้ในการอธิบายลักษณะต่อไป



รูปที่ 2.3 การแพร่ Plane-wave ซึ่งจะเคลื่อนที่จากซ้ายไปทางขวาของท่อ คลื่นจะมีการเปลี่ยนแปลง ในใน Sound wave 3 จุด $x=0$, $x=x_1$ และ $x=x_2=2x_1$

Strength หรือ Amplitude ของคลื่นเสียงจะถูกกำหนดโดยตรงด้วยการเคลื่อนที่ ซึ่งโมเลกุลเคลื่อนที่ในทิศทางเดียว และในการย้อนกลับ ซึ่ง Parameter สามารถใช้ในการอธิบายคลื่นเสียงจะมี Particle Velocity กับความดันเสียง

Particle Velocity เป็นอัตราการเคลื่อนที่ที่เกิดขึ้น หรือเป็นการเคลื่อนที่ต่อหน่วยเวลา ถ้า การเคลื่อนที่ต่อหน่วยเวลาเพิ่มขึ้น Amplitude ของคลื่นเสียงที่จะเพิ่มขึ้น และ Particle Velocity ก็จะเพิ่มตามกันไปด้วย อุปสรรคสำคัญอย่างหนึ่งคือการใช้ Particle Velocity ในการอธิบาย Magnitude ของคลื่นเสียง คือ การขาดแคลนเครื่องมือที่เหมาะสม ซึ่งมีขนาดเล็ก และไม่มี ความคงทนเพียงพอ สำหรับใช้ในการวัดพื้นที่จริง

ความจริงที่โมเลกุลอยู่ในชนิดของ Motion ซึ่งจะเปลี่ยนทิศทางโดยปริมาณ เมื่อเกิด Particle Acceleration หรือ Momentum Change เมื่อ Force เป็นอัตราของการเปลี่ยนแปลงของ Momentum เปลี่ยนไป การวัด Force จะทำให้โมเลกุลของอากาศเคลื่อนที่จากสภาพคงที่ ซึ่งจะทำให้ทิศทางของ Amplitude ของคลื่นเสียง การวัด Force ที่ถูกใช้บนพื้นที่ขนาดใหญ่ เกี่ยวข้องกับความสามารถจะหา

Force ต่อหน่วยพื้นที่ หรือความดันได้ ความดันคงที่ถูกบันทึกไว้ในคลื่นเสียง มักจะมีการผันแปรเล็กน้อยจากความดันบรรยากาศปกติ การเปลี่ยนแปลงเล็กน้อยนี้เรียกว่า Excess Sound Pressure หรือเรียกว่า Sound Pressure ก่อนหน้านี้นับว่าความถี่เป็นอัตราซึ่ง Piston ทำให้เกิดการเคลื่อนที่ของคลื่นเสียงไป และกลับ อันนี้จะหมายถึงจำนวนครั้งต่อวินาที ที่ Piston เคลื่อนที่จากตำแหน่งสภาพคงที่ จะกระโดดผ่านตำแหน่ง Equilibrium ไปยังจุดที่เคลื่อนที่สูงที่สุด ซึ่งอยู่ในทิศทางตรงกันข้ามกับการเคลื่อนที่ตอนแรก และจากนั้นก็เคลื่อนที่กลับมายังตำแหน่ง Equilibrium คือ ความถี่ของคลื่นเป็นจำนวนรอบต่อวินาที ที่มุมเป็นวงกลมครบ 1 รอบของ Sine wave เวลาที่ต้องการสำหรับแต่ละรอบ เรียกว่า Period ของคลื่นเป็นการแลกเปลี่ยนซึ่งกันและกันของความถี่ ถ้า Piston สั่นที่ความถี่ 100 รอบ / วินาที (cps), Period ของการสั่นเป็น 0.01 วินาที

Motion ของ Piston ใน Tube เป็นสาเหตุให้โมเลกุลของอากาศอัดและขยายคลื่นไปตามท่อ ซึ่งห่างจาก Tube พอดีสมควร และ Piston เริ่มเคลื่อนไหวเราสามารถวัดด้วยเครื่องมือที่เหมาะสมว่าจะต้องใช้ Period ของเวลาที่แน่นอนก่อนที่คลื่นเสียงจะเริ่มดันที่จุด Piston จะไปถึงจุดที่ทำให้การสังเกตความยาวของเวลาเป็นที่จำเป็นต่อการส่งผ่านคลื่นไปตาม Tube จะเป็น Function Elasticity ของอากาศ และ Density

โดยการทดลองสามารถกำหนดได้ว่า Elasticity ของอากาศคงที่ Static Pressure ของอากาศนั้นคือ ความกดอากาศนั่นเอง การคงที่จะกลายเป็นอัตราส่วนของ Specific Heat ของอากาศ ณ. ความดันคงที่ Specific Heat ของอากาศ ณ.ความดันคงที่ จนถึง Specific Heat ปริมาตรคงที่ อุณหภูมิส่วนใหญ่ ซึ่งนำมาเกี่ยวข้องกับอัตราส่วนจะเป็น 1.4 ด้วยเหตุนี้ความเร็วของเสียงในอากาศได้จากสมการ

$$c = \sqrt{\frac{1.4P_0}{\rho_0}} \quad (2.1)$$

ซึ่ง P_0 เป็นความกดอากาศ และ ρ_0 เป็น Density ของอากาศ

สันนิษฐานว่า อากาศมีพฤติกรรมเหมือน Ideal Gas การสันนิษฐานอุณหภูมิ และ Density ส่วนใหญ่ เกี่ยวข้องสามารถแสดงให้เห็นว่า ความเร็วของเสียงจะขึ้นอยู่กับอุณหภูมิของอากาศเท่านั้น

ในหน่วยของอังกฤษ สมการสำหรับความเร็วของเสียงในรูป ft / sec จะได้เป็น

$$c = 49.03\sqrt{R} \text{ ft / sec} \quad (2.2)$$

เอกสารนี้เป็นเอกสารที่สงวนไว้สำหรับการใช้งานเพื่อการศึกษาเท่านั้น ไม่อนุญาตให้นำไปใช้ประโยชน์ด้านการค้า ซึ่ง R เป็นอุณหภูมิใน Degrees Rankine นั่นคือ 459.7° บวกอุณหภูมิใน Degrees Fahrenheit สมการสำหรับความเร็วของเสียงในรูปของ เมตรต่อวินาที จะได้

$$c = 20.05\sqrt{T} \text{ m/sec} \quad (2.3)$$

ซึ่ง T เป็นอุณหภูมิสมบูรณ์ Degrees Kelvin นั่นคือ 273.2° บวกอุณหภูมิใน Degrees Centigrade ความถี่และความเร็วเสียงจะสัมพันธ์กันโดยผ่านทางความยาวคลื่น ความยาวของคลื่นเสียงเป็นระยะทางที่คลื่นเดินทางระหว่าง 1 Period หรือ Cycle คลื่น 100 cps จะเคลื่อนไปในระยะ 1.13 ft ใน 1 cycle เมื่อความเร็วของเสียงเป็น 1130 ft/sec ด้วยเหตุนี้ ความเร็วของเสียงจะเท่ากับผลคูณของความถี่กับความยาวคลื่น

$$c = f\lambda \quad (2.4)$$

ซึ่ง C = ความเร็วของเสียง ft/sec หรือ m/sec

f = ความถี่ cps

λ = ความยาวคลื่น ft หรือ m

ความเร็วของเสียงจะขึ้นอยู่กับคุณสมบัติของอากาศเท่านั้น และคงที่ ณ อุณหภูมิที่กำหนดให้ หรือ อีกนัยหนึ่งความยาวคลื่นจะลดลงในขณะที่ความถี่จะเพิ่มขึ้น ถ้าความถี่เป็น 1000 cps ในตัวอย่างที่ 2.1 และความยาวคลื่นก็จะเป็น 1.13 ft

2.1.2 อิศระคลื่นที่เคลื่อนไหวไปข้างหน้า (Free – Progressive Waves)

ระดับทิศทาง ตามที่กล่าวมาแล้วเกี่ยวกับ Particular Sound Wave ที่เคลื่อนที่ไปตามท่อโดยที่ Motion จะเกิดขึ้น โดยการสั่น Piston ที่ปลายด้านหนึ่งของท่อ (รูปที่ 2.3) สมมุติให้ Tube ยาวไปไม่มีที่สิ้นสุด หรือว่ามีส่วนปลายแบบไม่มีการสะท้อนกลับ ดังนั้นผลที่เกิดขึ้น ณ ปลายท่อก็จะนำมากล่าวถึงคลื่นเสียงถูกทำให้เกิดขึ้น โดย Piston ที่เคลื่อนไปตามท่อ คุณสมบัติทั้งหมดของคลื่น ได้ ดังรูปที่ (2.3) ระยะห่างจาก Piston เคลื่อนไปตามท่อ กับ Action ของตัว Piston เอง คลื่น รูปแบบนี้รู้จักในนามของ One – Dimensional Plane ,Free Progressive wave ลักษณะ One – Dimensional จะสัมพันธ์กับรายละเอียดของตัวแปรในทางสถิติในรูปของ Single Distance และ Planer หมายถึง คลื่นที่เคลื่อนไปข้างหน้าโดยจะขนานกับคลื่นอื่นๆ และ Free Progressive หมายถึง การเลื่อนตำแหน่งไปข้างหน้าของคลื่นซึ่งไม่มีรบกวนจากคลื่นอื่นๆ หรือเปลี่ยนแปลงไปในระหว่างการเคลื่อนที่ คลื่นไม่ได้เป็นอิสระ ซึ่งถูกล้อมรอบด้วยผนังของท่อสำหรับจุดประสงค์ในทางปฏิบัติ Motion จะคล้ายกันระหว่าง Tube กับ Piston

เลือกสรรนี้เป็นเอกสารที่สงวนไว้สำหรับการใช้งานเพื่อการศึกษเท่านั้น มิอนุญาตให้นำไปใช้ประโยชน์ด้านการค้า
ไม่ว่ากรณีใดๆทั้งสิ้น ลิขสิทธิ์เป็นของผู้แต่งเนื้อหา และต้องอ้างอิงถึงผู้แต่งทุกครั้งที่มีการนำไปใช้
สังเกตเห็นได้ว่า ณ จุดใดๆ ตามท่อ สามารถวัดค่าความดันที่เกิดขึ้นๆ ลงๆ บนและล่าง ความกดอากาศ นั้นหมายถึง สามารถวัดความดันเสียงและอัตราความเร็ว Particle ของอากาศที่ผันแปรร่วมกับ

to-and Motion ของโมเลกุลอากาศหน่วยความดันเสียง โดยทั่วไปจะเป็นเดซิเบล (dB) หรือ Newton's / m² หน่วยของอัตราความเร็ว Particle โดยทั่วไปจะเป็น cm / sec หรือ ft / sec

อธิบาย One – Dimensional Free Progressive wave อันอื่นได้ คือ Spherical wave สมมุติว่าให้สิ่งที่เป็นรูปร่างทรงกลม เช่น Balloon มีการขยายตัว และหดตัวเป็นจังหวะในขนาดที่สมดุทธ์ นั้นหมายถึง ผิวหน้าของ Balloon จะหดตัวและขยายตัวเช่นเดียวกันใน Motion วิธีเดียวกันกับ Piston โมเลกุลจาก Balloon จะถูกกดและขยาย วิธีการเหมือนกับรูปแบบของคลื่นเสียง ซึ่งถ่ายทอดออกไปจาก Balloon ในกรณีนี้จะอยู่ในรูปของ Spherical wave ความเร็วที่คลื่นถ่ายทอด ออกไปจะเหมือนกับใน Plane wave มีความสัมพันธ์เดียวกันระหว่างความถี่กับความยาวคลื่นแม้ว่าคลื่นจะเคลื่อนไปด้านนอก โดยมีด้านหน้าคลื่นเป็นลักษณะวงกลม ยังคงเป็น One – Dimensional ในเมื่อตัวแปรทางสถิติทั้งหมดของคลื่นสัมพันธ์กับ One – Distance คือ Radial Distance ของหน้าคลื่นจากศูนย์ กลางวงกลม คลื่นรูปแบบนี้ รู้จักในนาม One – Dimensional ,Spherical, Free Progressive wave

คลื่นเสียง free Progressive จะถ่ายทอดพลังงาน นั่นคือ คลื่นเสียงจะถ่ายทอดพลังงานจากแหล่งไปสู่จุดที่อยู่ไกลกว่า ซึ่งมาจากโมเลกุลในอากาศที่มีอยู่ตามเส้นทางของคลื่นเสียงถูกบังคับให้เคลื่อนที่ไปในเส้นทางที่ได้อธิบาย พลังงานคือ ความสามารถในการทำงาน และงานเป็น Forde Time Distance ที่ว่าคลื่นเสียงบังคับ โมเลกุลให้เคลื่อนตัวมีความหมายว่า คลื่นมีพลังงานรวมอยู่ในตัว

วิธีการต่างๆ ไปที่เกี่ยวกับการถ่ายทอดพลังงาน ได้อธิบายไว้ในรูปของ Intensity หมายถึง พลังงานที่ไหลผ่านพื้นที่หน่วยหนึ่งในเวลาหนึ่ง หน่วยของ Intensity จะเป็น Watts / cm² หรือ m² หรือ m² ในรูปของตัวแปรทางสถิติจะอธิบายคลื่นเสียง Free Progressive ,Intensity เหลือในทิศทางการถ่ายทอดคลื่น เป็น Time Average ของผลผลิตของความดันเสียง กับ Particle Velocity ที่วัดได้ในทิศทางที่คลื่นแพร่ไป

Quantitative Aspects ในที่สุดพบว่าการอธิบายคุณสมบัติพฤติกรรมของคลื่นเสียงยังไม่เป็นที่เพียงพอสำหรับความต้องการหลักทางคณิตศาสตร์มาเป็นตัวนำทางการคิดอย่างมีเหตุผล และเพื่อป้องกันเกิดความผิดพลาดเมื่อมีการนำไปใช้ในทางปฏิบัติในเรื่อง Acoustics

Plane wave กล่าวมาแล้วว่า คลื่นเสียงเดินทางผ่าน Elastic Medium ซึ่ง Particles ของมันมี Inertia กับ Elasticity ก่อนหน้านี้ Force ที่ต้องการเพื่อใช้เคลื่อน Position ของ Gas จะเท่ากับ Mass Times การเพิ่มความเร็วของ Particles จากกฎของ (Neston's Second law) ความดันที่ต้องการสำหรับกด หรือ Rarefy ตัว Position ของ Gas จะต้องทำตาม Boyle – Charles law (PV – mRT) ต่อจากนั้นก็เพิ่มเข้าไปอีกว่าคลื่นเสียงจะแกว่งอย่างรวดเร็วเพียงพอทำให้การกดอัดของ Ideal Gas เป็น Ideal Gas เป็น Adiabatic (PV^{1.4} = Constant) ในที่สุด ถ้าเราสังเกตว่า กฎของการรักษามวลคงที่ ก็จะมี Material สำหรับใช้ตั้งสมการที่เหมือนกัน 3 สมการ (Newton's ,Adiabatic-Boyle – Charles และ Conservation) เมื่อนำมารวมกันก็จะได้สมการคลื่น สำหรับพื้นราบ One – Dimensional Sound – Pressure wave ของ Angular Frequency ω

$$\frac{\partial^2 p}{\partial x^2} = -\frac{\omega^2}{c^2} p \quad (2.5)$$

ซึ่ง p = ความดันเสียง

c = ความเร็วของเสียงในอากาศ

ω = 2π , Radians/sec

f = ความถี่ของคลื่น, cps

x = Coordinate system ทางที่คลื่นจะเดินทางไป

Forward-traveling wave ตอนนี้จินตนาการว่า Piston ในท่อเกิดคลื่นเสียงซึ่งเดินทางไปทางขวา และไม่สะท้อนกลับแสดงในรูปที่ 2.3 หรือกล่าวอีกในหนึ่งคือ ปลายด้านขวามือของท่อเป็น Anechoic (เสียงสะท้อน) ดังนั้น พลังงานทั้งหมดที่ถูกผลิตออกมาโดย Piston ก็จะถูกดูดกลืนที่ส่วนปลาย

กำหนดพื้นราบไปตามท่อเป็น $x=0$ Plane ณ.พื้นราบนี้ความดันเสียงจะผันแปร sinusoidally ที่ความถี่เดียวกันเหมือน piston และจะมีค่าสูงสุดเท่ากับ P_R ดังนั้น

$$[p(t)]_{x=0} = P_R \cos \omega t \quad (2.6)$$

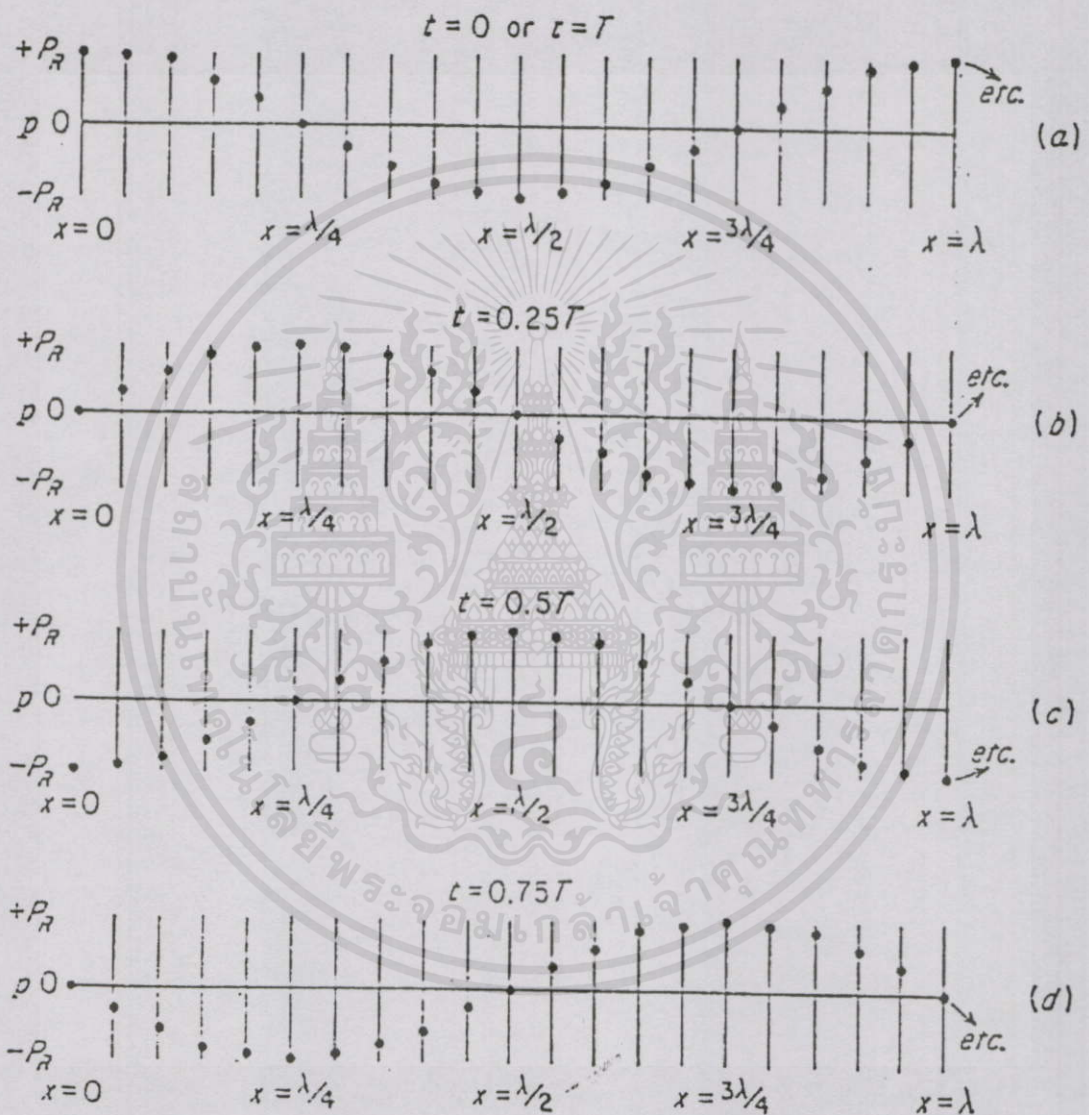
ตอนนี้เมื่อดูรูปที่ 2.4 เราจะสังเกตเห็นภาพ 4 ซึ่ง Plot ความดันเสียงเปรียบเทียบกับความผันแปรของระยะทาง X เราจะสังเกตเห็นได้ว่า ภาพแต่ละอันมีเส้น vertical ลากไป 20 แห่งไปตามทิศทาง X เส้นเหล่านี้จะช่วยให้การรวมจุดไปที่ตำแหน่งตามเส้นทางของ Free Progressive Wave ที่กำลังเดินทางออกด้านนอก ในทางปฏิบัติคลื่นที่เดินทางแบบนี้อาจมีอยู่จริงสำหรับความถี่ที่ต่ำกว่า 500 pcs ในท่อขนาดยาวซึ่งมีเส้นผ่านศูนย์กลาง 5 cm (2 in.) ตัว loudspeaker จะถูกวางไว้ที่ปลายด้านซ้ายของท่อและส่วนปลายของท่อ (ไม่สะท้อน) ที่ปลายด้านขวา ความถี่ของแหล่งกำเนิดเป็น 100 pcs ดังนั้น ความยาวคลื่นจะเป็น

$$\lambda = \frac{c}{100} = \frac{344}{100} = 3.44m \quad (11.28 ft) \quad (2.7)$$

ซึ่ง c คือ ความเร็วของเสียงในอากาศเท่ากับ 344 m/sec (1,128 ft/sec) เวลาที่ใช้สำหรับให้คลื่นเดินทาง 1 ความยาวคลื่น (3.44 m) นั่นคือ Period จะเป็น

$$T = \frac{\lambda}{c} = \frac{3.44}{c} = \frac{3.44}{344} = 0.01 \text{ sec} = \frac{1}{f} \quad (2.8)$$

ก่อนอื่น ดูที่กราฟรูป 2.4 (a) ที่แต่ละแห่งของทั้ง 20 จุดตลอดทางของคลื่น ตำแหน่งของจุดจะแสดงความดันเสียง



รูปที่ 2.4 แสดง Sound Pressure ใน Plane free progressive สำหรับ Forward – traveling wave

20 จุด

เอกสารนี้เป็นเอกสารที่สงวนไว้สำหรับการใช้งานเพื่อการศึกษาเท่านั้น ไม่อนุญาตให้นำไปใช้ประโยชน์ด้านการค้า
ไม่ว่าการถือลิขสิทธิ์สิ่งอื่น ๆ ที่เกี่ยวข้องกับการใช้งานเอกสารเหล่านี้
ความดันเสียงนี้จะอยู่เหนือเส้นศูนย์ ใกล้ๆกับปลายด้านซ้ายและขวาจะอยู่ต่ำกว่าเส้นศูนย์ที่
ระหว่างเส้นศูนย์กลางจะเป็นเส้น เครื่องวัดความดัน (Barometric – pressure) กราฟ (a) ของรูป

2.4 คือ “ถ่ายรูปรูปโดยใช้ไฟแฟลช” ที่เวลา $t=0$ ของการกระจายความดันเสียงไปในช่องว่างเหนือระยะทางซึ่งถูกเลือกให้เป็นความยาวคลื่น

ตอนนี้ในเวลาสั้นๆ ต่อมา ที่เท่ากับ 0.0025 sec นั่นคือ $T/4 \text{ sec}$ คลื่นได้เดินทางไปทางขวา ระยะทางเท่ากับ $\frac{1}{4}$ ความยาวคลื่น [ดูกราฟ (c) และ (d) ในรูปที่ 2.4] คลื่นได้เดินทางไปอีก 0.86 m . และในที่สุด ภายหลัง $0.01 \text{ sec} = T$ คลื่นก็เดินทางได้เต็มความยาวคลื่น และกราฟ (a) ก็จะถูกนำมาใช้อีกครั้งหนึ่ง จากนั้น Sequence ทั้งหมดของกราฟทั้ง 4 เคลื่อนที่ซ้ำตัวเองครั้งแล้วครั้งเล่าเหมือนกับที่คลื่นจะยังคงเดินทางไปทางขวาจากแหล่งกำเนิด

จะเห็นว่า ณ.แต่ละตำแหน่ง ความดันเสียงจะเปลี่ยนแปลงไปตามเส้น Vertical ที่แสดงไว้ ความดันคลื่นใดๆ ที่มีอยู่ที่เส้น Vertical อันหนึ่งที่ทำให้ไว้ชั่วคราวจะเกิดขึ้น ณ.ตำแหน่งถัดไปทางขวา ที่ $T/20 = 0.01/20 = 0.005 \text{ sec}$ เป็นสิ่งอธิบายกล่าวที่ว่า คลื่นเดินทาง (wave motion) ประเภทนี้อธิบายในทางคณิตศาสตร์ได้โดย

$$p(x,t) = P_R \cos \left[\omega \left(t - \frac{x}{c} \right) \right] \quad (2.9)$$

ซึ่ง P_R = จุดยอดของระดับความดันเสียง, newtons / m^2

X = ระยะทางที่คลื่นเดินทางไป, m

T = เวลา, sec

C = ความเร็วของเสียง = 344 m/sec

ω = $2\pi f$ = angular frequency, radians / sec

สมการนี้ถูกต้อง สามารถเห็นได้โดยการแทนที่ P ในสมการ (2.5) ที่ด้านขวามือของสมการ (2.9) และสังเกตดูว่าเป็นการแก้ปัญหา

สรุปสมการ (2.9) กับรูป 2.4 จะได้ว่า :

1. คลื่นเสียงแบบ plane, progressive, forward-traveling จะเคลื่อนไปทางขวาโดยไม่มี การเปลี่ยนแปลงความดันจุดยอด นั่นคือ P_R ไม่เป็น function ของ x

2. ณ.จุดใดๆ ของ x ความดันเสียงจะ varies ด้วยความถี่มุม (angular frequency) ω เดียวกันมันก็คืออยู่ที่ $x = 0$

ไปดูที่รูป 2.4 เหนือจุด $x = 0$ จะเห็นว่า ความดันจะ varies เหมือนที่ให้ไว้ใน สมการที่ 2.6 จุดที่ $x = \lambda/4$ ฟังก์ชันเดียวกันจะปรากฏขึ้น ยกเว้นว่าความดันจะไปถึงจุดสูงสุดของมัน ณ.ช่วง เวลาที่ $t = 0.25 T = (\lambda/4)/c \text{ sec}$ ภายหลัง (สมการที่ 2.9) เราอาจจะพูดได้ว่า phase shift ของ $\omega x/c = \omega (\lambda/4)/c \pi/2 \text{ radians}$ ได้เกิดขึ้นที่จุด $x = \lambda/2$ ความดันเสียงจะไปถึงจุดสูงสุดที่ $t = (\lambda/2)/c = 0.05 T$ PHASE Shift ในตอนนี้จะเป็น $\pi \text{ radians}$

ในของรูปที่ 2.4 ซึ่ง $f = 100$ cps จะได้

$$p(x,t) = P_R \cos \left[628 \left(t - \frac{x}{344} \right) \right] \quad (2.10)$$

Backward - Traveling wave คลื่นที่เดินทางไปข้างหลังเป็นคลื่นหนึ่ง ซึ่งเดินทางไปในทิศทางตรงข้ามของ x สามารถเกิดขึ้นได้โดยการตั้งแหล่งกำเนิดเสียงไว้ที่ปลายด้านขวามือของท่อ เส้นผ่านศูนย์กลาง 5 cm และให้การแผ่รังสีไปทางซ้ายและสะท้อนกลับ ไปทางด้านขวามือของท่อ ซึ่งอยู่ในตำแหน่งที่ไม่มีเสียงสะท้อนกลับ และด้วยวิธีนั้นมันจะหันเหคลื่นที่เดินทางไปข้างหน้าในการเคลื่อนที่ไปรอบๆ

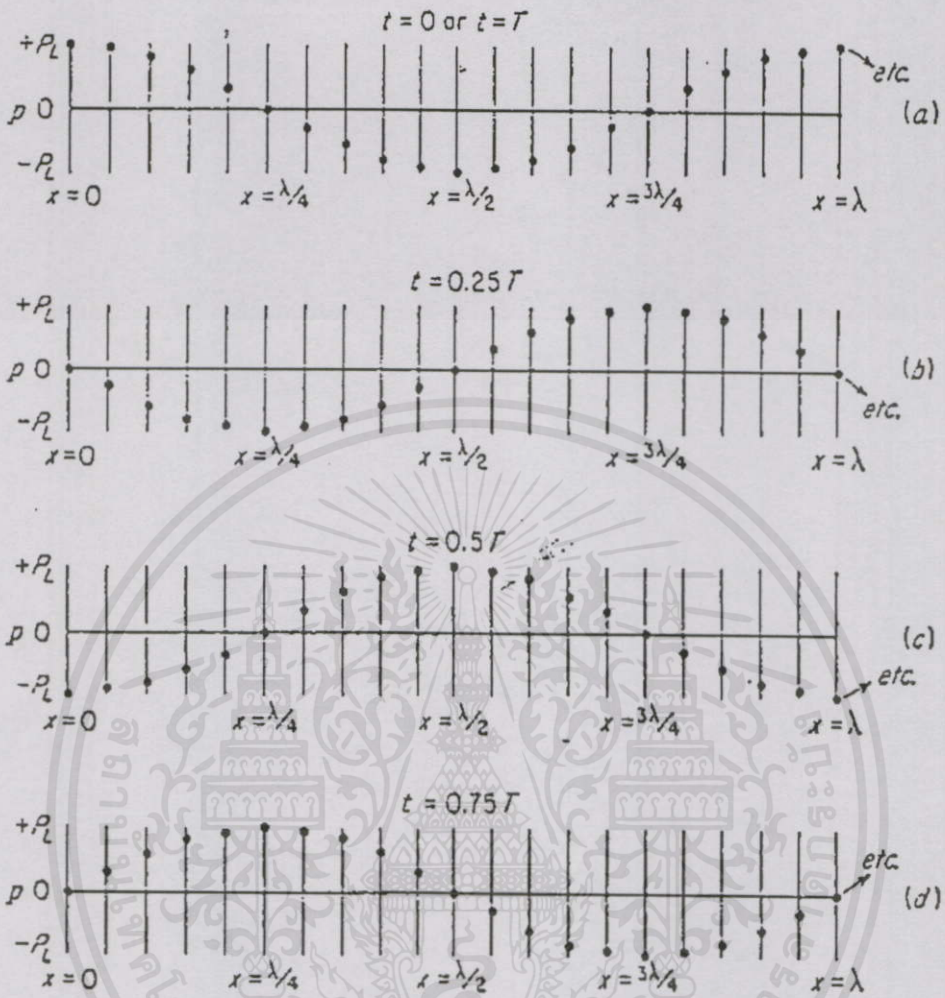
$$p(x,t) = P_L \cos \left[\omega \left(t + \frac{x}{c} \right) \right] \quad (2.11)$$

การเปลี่ยนแปลงเพียงอย่างเดียวจากสมการที่ 2.9 จะอยู่ในสัญลักษณ์ที่ตามหลังตัวด้วย t ในสมการ กรณีการเดินทางไปข้างหลังได้ถูกแสดง ไว้ใน รูปที่ 2.5 จะเห็นว่าความดันเสียงใดๆ ซึ่งมีอยู่ที่เส้นใดเส้นหนึ่ง ก็จะมีอยู่ที่เส้นทางถัดไปทางซ้ายภายหลัง $t/20$ sec เรียกว่า Phase Shift ของ 18° ($2\pi/20$ Radians) จะมีอยู่ระหว่างเส้นที่อยู่ประชิดกันและนี่เป็นความจริงตามรูปที่ 2.4

คลื่นที่เดินทางไปทั้งข้างหน้า และข้างหลัง (Combined Forward และ Backward Traveling waves) และ (Standing wave) ในขั้นตอนถัดไป ได้โดยการบวกสมการที่ 2.4 กับ 2.5 เข้าด้วยกัน จะได้สมการที่ 2.12 สำหรับ $f = 100$ cps

$$p(x,t) = P_R \cos \left[628 \left(t - \frac{x}{344} \right) \right] + P_L \cos \left[628 \left(t + \frac{x}{344} \right) \right] \quad (2.12)$$

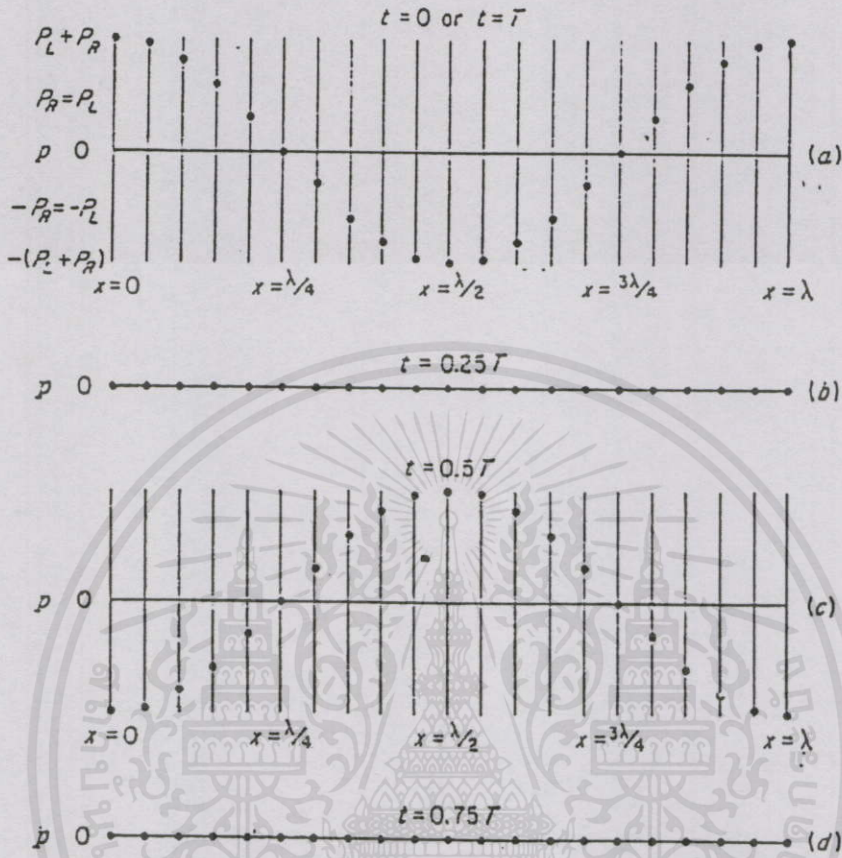
เอกสารนี้เป็นเอกสารที่สงวนไว้สำหรับการใช้งานเพื่อการศึกษาเท่านั้น ไม่อนุญาตให้นำไปใช้ประโยชน์ด้านการค้า ไม่ว่ากรณีใดๆทั้งสิ้น อีกทั้งห้ามมิให้คัดลอกเนื้อหา และต้องอ้างอิงถึงเจ้าของเอกสารทุกครั้งที่มีการนำไปใช้



รูปที่ 2.5 แสดง Sound Pressure ใน Plane free progressive สำหรับ Backward – traveling wave 20 จุด

การรวมสมการเข้าด้วยกันจะเห็นได้ว่าคลื่นทั้ง 2 ตัวที่แสดงไว้ในรูปที่ 2.6 กล่าวอีกนัยหนึ่ง คือ รูปที่ 2.6 เป็นการรวมทางพีชคณิตอย่างง่าย ๆ ของรูปที่ 2.4 และ 2.5

เอกสารนี้เป็นเอกสารที่สงวนไว้สำหรับการใช้งานเพื่อการศึกษาเท่านั้น ไม่อนุญาตให้นำไปใช้ประโยชน์ด้านการค้า
ไม่ว่ากรณีใดๆทั้งสิ้น อีกทั้งห้ามมิให้คัดลอกเนื้อหา และต้องอ้างอิงถึงเจ้าของเอกสารทุกครั้งที่มีการนำไปใช้



รูปที่ 2.6 แสดง Sound pressure ของ Plane standing wave ที่ 20 จุด

การเปลี่ยนแปลงที่เกิดขึ้น ความดันเสียงที่จุดหนึ่งจะเกิดขึ้น ณ.จุดถัดไปทางด้านขวาหรือทางด้านซ้าย ในช่วงเวลาเล็กน้อยคลื่นก็จะเดินทางต่อไปอีก เห็นว่าที่แต่ละจุดในช่องว่างความดันเสียงจะเพิ่มขึ้น และลดลงเป็นเส้น โค้งตรงกับเวลา ยกเว้นที่จุด $x = \lambda / 4$ กับ $x = 3\lambda / 4$ ที่นั่นความดันจะเป็นศูนย์เสมอค่าสูงสุดของการผันแปรความดัน ณ. จุดที่แตกต่างจะมากที่สุดที่ $x = 0$, $x = \lambda / 2$ และ $x = \lambda$ ความดันเสียงที่จุดทั้ง 9 จุด ระหว่าง $x = \lambda / 4$ กับ $x = 3\lambda / 4$ จะ Vary พร้อมกันเสมอ นั่นคือ เพิ่มขึ้นหรือลดลงใน Phase แม้ว่าจำนวนสูงสุดที่เพิ่มขึ้นหรือลดลงแตกต่างกันความดันเสียงสำหรับจุด 5 จุด ทางซ้ายของ $x = \lambda / 4$ และทางด้านขวาของ $x = 3\lambda / 4$ จะเพิ่มขึ้นหรือลดลงพร้อมกันด้วยนั้นใน Phase แต่เปลี่ยนแปลงจะเป็น $\frac{1}{2}$ cps หรือ 180° ออกจาก Phase ซึ่งมีความดันเสียงสำหรับจุด 9 จุด อยู่ระหว่าง $x = \lambda / 4$ และ $x = 3\lambda / 4$

สมมุติว่า $P_R = P_L = P$ สามารถแสดงโดยใช้หลักทางคณิตศาสตร์ได้ว่า จำนวนเทอม 2 เทอม ในสมการที่ 2.12 คือ

$$p(x,t) = 2P \left[\cos 2\pi \left(1 - \frac{x}{\lambda} \right) \right] \cos \omega t \quad (2.13)$$

ตอนนี้จะเห็นความแตกต่างได้อย่างชัดเจนระหว่างคลื่น Standing กับ Traveling ใน Traveling wave (สมการ 2.9 กับ สมการ 2.11) เวลา t กับ x/c จะเกิดขึ้นเหมือนจำนวนรวมหรือจำนวนที่แตกต่างภายในข้อสรุปของ Cosine ดังนั้น สำหรับ Traveling wave ที่ปรับทั้งเวลาและระยะทาง (ตามความเร็วของเสียง) ในข้อสรุปของ Cosine จะสามารถรักษาข้อสรุปนั้นไว้ และ ยังให้ความสำคัญกับ Cosine เหมือนเดิมในสมการ 2.13 เวลา และ x/c จะไม่ปรากฏพร้อมกันภายในข้อสรุปของ Single Cosine ดังนั้นความดันเสียงแบบเดียวกันก็จะไม่สามารถเกิดขึ้นที่จุดที่อยู่ประชิดกันในช่องว่างในเวลาหลังจากนั้น

Particle Velocity คือ Particle Velocity จากสมการ Newtonian สามารถแก้ปัญหสำหรับ Particle Velocity (u) ในฐานะของความดันเสียง p เราจะพบว่าในกรณี Free – Progressive – Plane – wave ของรูปที่ 2.3 และ 2.4 นั้น

$$u = \frac{P}{\rho_0 c} \quad (2.14)$$

ซึ่ง u คือ Particle Velocity และ ρ_0 คือ Density ของอากาศผลััพท์ที่ได้จากสมการ 2.9 เราจะเห็นว่า

$$u(x,t) = \frac{P_R}{\rho_0 c} \cos \left[\omega \left(t - \frac{x}{c} \right) \right] \quad (2.15)$$

กำลังเฉลี่ยต่อหน่วยพื้นที่ นั่นคือ Intensity ที่ถูกถ่ายทอดไปยังด้านขวามือในรูปที่ 2.3 จะเท่ากับ

$$\text{Average Intensity} \quad I = \overline{pu} \quad (2.16)$$

ซึ่งเส้นที่อยู่บนจะระยะเวลาเฉลี่ยของผลคูณ ระหว่างสมการที่ 2.9 และ 2.15 ลงในสมการที่ 2.16 จะให้ผลกับ Intensity ทันทีทันใด (P_R คือจุดยอดหรือค่าสูงสุดของความดันเสียง)

เอกสารนี้เป็นเอกสารที่สงวนไว้สำหรับการใช้งานเพื่อการศึกษาเท่านั้น ไม่อนุญาตให้นำไปใช้ประโยชน์ด้านการค้า

ไม่ว่ากรณีใดๆทั้งสิ้น

$$I(t) = \frac{P_{\max}^2}{\rho_0 c} \left[\frac{1}{2} + \frac{1}{2} \cos 2\omega \left(t - \frac{x}{c} \right) \right] \quad (2.17)$$

จงถึงเจ้าของเอกสาร ทุกครั้งที่มีการนำไปใช้

เนื่องจากเวลาเฉลี่ยของ Cosine เป็นศูนย์ Average Intensity จึงเป็น

$$I = \left[\frac{P_{\max}}{\sqrt{2}} \right]^2 \frac{1}{\rho_0 c} \quad (2.18)$$

ให้สังเกตความจริงที่ว่าค่า Root - mean - square (rms) ของ Sine wave เท่ากับ $1/\sqrt{2}$ เท่าของค่าที่จุดยอดจะได้

$$I = \frac{P_{rms}^2}{\rho_0 c} \quad (2.19)$$

เครื่องวัดระดับเสียงทุกตัวจะถูก Calibrate เพื่อที่จะอ่านค่า rms (ถูกเรียกว่า ค่า "Effective ด้วยเช่นกัน) ของคลื่นเสียง ดังนั้น Intensity I อาจถูกคำนวณได้อย่างง่ายดาย จาก P_{rms} สำหรับคลื่นประเภทนี้ Spherical wave โดยไม่ต้องลงไปรายละเอียด เราจะพบว่าสำหรับรูปทรงกลม 1 มิติ Free Progressive wave

$$P(r,t) = \frac{A_{\max}}{r} \cos \omega \left(t - \frac{r}{c} \right) \quad (2.20)$$

สมการนี้จะถูกนำไปเปรียบเทียบกับสมการที่ 2.9

1. ในฐานะที่เป็นรูปทรงกลม Progressive wave จะเดินทางออกไปจากแหล่งกำเนิดช่วงกว้างของคลื่นความดันจะลดลงในอัตราส่วนที่ตรงกันข้ามกับ r
2. ณ.จุด r ใด ๆ คลื่นเสียงจะมีความถี่เหมือนกันกับแหล่งกำเนิดรูปทรงกลมที่ผลิตขึ้นมา
3. นอกจากผลลัพธ์ของบนช่วงกว้างของคลื่นแล้ว ระยะทาง r จะทำให้เกิด Time Delay (Phase shift) ในคลื่นด้วยเช่นกัน

ในกรณีของคลื่นรูปทรงกลม อาจใช้แสดง Average Intensity ที่ระยะทาง r จากแหล่งกำเนิดที่ให้ในสมการที่ 2.19 ได้ด้วยเช่นกัน ซึ่ง P_{rms} คือความดัน rms ที่ระยะทาง r อย่างไรก็ตาม สังเกตว่า ณ.จุดนี้ P_{rms} ลดลงในอัตราส่วนที่ตรงกันข้ามกับ r และทางตรงข้าม P_{rms} จะคงที่สำหรับ Plane wave

ความคล้ายคลึงกันระหว่างสูตรของ Acoustic power flow กับ Electrical power ใน watts, E อยู่ใน Volts และ R เป็นความต้านทานในรูป ohms ถ้าระบุ $\rho_0 c$ เป็นชนิดหนึ่งของ Acoustic Resistance จะมีสูตรที่คล้ายคลึงกันสำหรับ Power ในทุกกรณี

ความแตกต่างที่สำคัญระหว่าง Plane wave กับ Spherical waves กลายเป็นสิ่งที่เห็นได้เด่นชัดเมื่อพิจารณา Intensity ของคลื่นเสียง ณ จุดใดหนึ่งที่ถูกให้มา ถ้าสมมุติว่าแหล่งกำเนิดได้แจกจ่าย Constant Energy ให้กับคลื่นโดยไม่มีการลดน้อยลงใน Plane Wave, Intensity ยังคงไม่เปลี่ยนแปลงแม้ว่าจะได้มาจากแหล่งกำเนิดไกล เมื่อพื้นที่ Wave Front อยู่คงที่ (ท่อมีหน้าตัดคงที่) ใน Spherical wave พื้นที่ของ Wave Front เพิ่มขึ้นเมื่อคลื่นเดินทางไปข้างหน้าไกลออกไปเรื่อยๆ จากแหล่งกำเนิดในความเป็นจริง พื้นที่นี้เพิ่มขึ้นพร้อมกับ Square ของระยะทางจากแหล่งกำเนิด เมื่อพื้นที่ของ Sphere เท่ากับ $4\pi r^2$ เท่ากับ Square ของรัศมีเพราะฉะนั้นใน Spherical Wave ที่มีแหล่งกำเนิดของพลังงานต่อวินาทีคงที่ (นั่นคือ กำลังคงที่) Intensity ก็ต้องลดลงเหมือน Square ของระยะทางจากแหล่งกำเนิด เมื่อผลคูณของ Intensity กับพื้นที่ที่ผ่านมีค่าเท่ากับพลังงานที่ถูกส่งผ่านโดยคลื่น นี่เป็นที่มาของ Inverse Square law อาจกล่าวง่าย ๆ ว่า

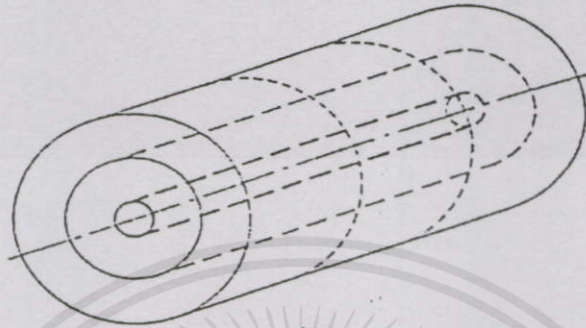
$$I(\text{ที่รัศมี } r) = \frac{W}{4\pi r^2} = \frac{p^2_{rms}(at r)}{\rho_0 c} \quad (2.21)$$

ซึ่ง W คือ Total Acoustic Power ที่ถูกปล่อยออกจากจุดศูนย์กลางที่แหล่งกำเนิดของเสียง

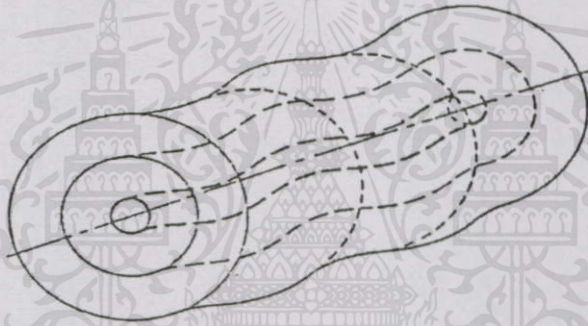
จะเห็นว่า สำหรับระยะทาง 10 เท่า ความดันเสียงถูกทำให้ลดลงด้วย Factor 10 และ Sound Intensity ถูกทำให้ลดลงด้วย Factor 100 เปรียบเทียบตัวอย่างนี้กับตัวอย่าง 2.3 สำหรับ Plane Free Progressive Wave

ในวิธีการกระทำคล้ายคลึงกันกับการสร้างคลื่นแบบ Plane กับ Spherical, สามารถทำให้เกิดคลื่นที่มีธรรมชาติซับซ้อนกว่านี้ได้ ตัวอย่างอีกอันหนึ่งของคลื่น Free Progressive Wave 1 มิติ สามารถได้มาโดยการพิจารณากระบอกสูบที่ยาวมากๆ หรือท่อ Tube ลักษณะตรงที่เต็มไปด้วยอากาศ สมมติว่า ให้พื้นผิวหน้าของ tube เดินเป็นจังหวะสม่ำเสมอในทิศทางที่แพร่รัศมี คลื่นเสียงจะแพร่ออกไปจากกระบอกสูบ คลื่นนี้ตัดสลับกันระหว่าง Plane Wave กับ Spherical Wave ที่จุดใดจุดหนึ่งคลื่นจะมีคุณสมบัติเหมือนกันกับจุดอื่นที่ระยะห่างเดียวกันจากกระบอกสูบ แต่จะมี 2 จุด ที่มีระยะห่างจากกระบอกสูบแตกต่างกันคลื่นก็จะแตกต่างกันสามารถแสดงให้เห็นว่า intensity ที่ระยะห่างจากกระบอกสูบแตกต่างกันคลื่นก็จะแตกต่างกันสามารถแสดงให้เห็นว่า intensity ที่ระยะห่างใดๆ จากแหล่งกำเนิดจะตรงกันข้ามกับ Power แรกสุดของรัศมีมากกว่า Power อันที่สองเมื่ออยู่ในกรณีของ Spherical Wave คลื่นชนิดนี้ถูกเรียกว่า Cylindrical Wave 1 มิติ เหมือนดังเช่นตัวอย่างในคลื่น 2 มิติที่สมมติให้เพิ่มเข้าไปใน Uniform Radial Motion ของ กระบอกสูบถูกกำหนดให้มีคลื่นอันอื่นตลอดทั้งแกนของกระบอกสูบ ผลก็คือคลื่นเสียงที่ถูกแผ่รังสีจากกระบอกสูบ ไม่เพียงแต่จะขึ้นอยู่กับระยะทางการแผ่รังสีจากแหล่งกำเนิดเท่านั้น แต่ยังคงขึ้นอยู่กับระยะทางตลอดแกนของแหล่งกำเนิด รูปที่ใกล้เคียงกับคลื่นทั้ง 2 อธิบายมาข้างต้นจะถูกแสดงไว้ในรูป 2.7 คลื่นถูกแสดงด้วยลักษณะต่อเนื่องของพื้นผิวที่

เรียกว่า “Wave Front” Wave Front ถูกเรียกเป็นพื้นผิวที่มี Phase เท่ากัน หมายความว่า ดันเสียงที่แต่ละพื้นผิวจะมีความหนาทานกับความดันเสียงที่พื้นผิวอื่นนั่นก็ คือ ถ้าความดันเสียงอยู่ที่จุดสูงสุด ณ.พื้นหนึ่งก็จะอยู่ที่จุดสูงสุด ณ.พื้นผิวอื่นทุกที่ที่มี phase เหมือนกัน



(a)



(b)

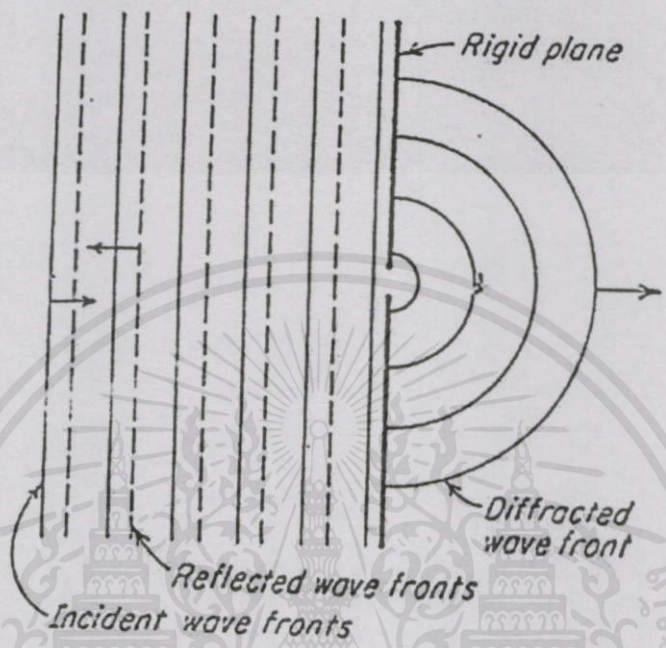
รูปที่ 2.7 one และ two – Dimensional wave

2.1.6 การอ้อมของคลื่นที่ผ่านวัตถุที่ขวางหน้า (Diffraction – standing wave)

Free Progressive Waves ถูกอธิบายไว้ว่าไม่มีอุปสรรคหรือการเปลี่ยนแปลงในตัวกลางที่ถ่ายทอด คลื่นเหล่านี้สามารถอยู่ได้เฉพาะในช่องว่างอิสระ (Free Space) เท่านั้นทันทีที่ปิดช่องว่างนั้น หรือ วางสิ่งกีดขวางในเส้นทางคลื่นรูปร่างของคลื่นก็จะถูกเปลี่ยนไป การวิเคราะห์ทางคณิตศาสตร์ในเรื่องการทำปฏิกิริยาของคลื่นกับสิ่งกีดขวาง เป็นสิ่งที่ซับซ้อนมากแต่ก็เป็นเรื่องที่ยากที่สุดสิ่งที่เป็นตัวบอกว่า Wave Front สามารถถูกทำให้เปลี่ยนได้ก็อาจตรวจสอบกรณีของ Plane Wave ที่ปะทะกับพื้นผิวหน้าเรียบขนาดใหญ่ ซึ่งเต็มไปด้วยรูเล็กๆ เสียงจะทะลุผ่านรูเล็กๆ รูปแบบของ Spherical Wave เสียงนั้นที่กระทำตัวในลักษณะที่อธิบายไว้สามารถแสดงได้ทั้งทาง การวิเคราะห์ และทางการทดลอง การวิเคราะห์ซึ่งศึกษาปรากฏการณ์นี้รู้จักกันในนามของทฤษฎี Diffraction และคลื่นเสียงอันใหม่ที่ถูกสร้างขึ้นมาจะรู้จักกันในนามของ Diffraction Wave

Standing Wave จะอยู่ในสถานที่ปิด ซึ่งมีพื้นผิวหน้าขนานกันและกัน ในห้องรูปสี่

เหลี่ยมมุมจากอาจจะมี Standing Wave ความถี่ Resonant Standing Waves สามารถคงอยู่ได้ จะสัมพันธ์กับการแบ่งแยะระหว่างพื้นผิวที่มีการสะท้อน ,ความถี่ที่ต่ำที่สุดสำหรับ Resonant Standing Wave ในระบบ 1 มิติจะได้



รูปที่ 2.8 การกระจายคลื่นผ่านท่อเล็ก

$$f = \frac{c}{2d} \tag{2.22}$$

- ซึ่ง f = ความถี่ที่ต่ำที่สุดสำหรับ Resonant standing wave
- c = ความเร็วเสียง
- d = ระยะทางที่แยกพื้นผิวที่มีการสะท้อน 2 ผิวหน้า

Resonant Standing waves จะสามารถคงอยู่ได้เช่นกันในทุก ๆ ผลคูณจำนวนเต็ม

$$f = \frac{nc}{2d} \tag{2.23}$$

ซึ่ง n เป็นจำนวนเต็ม : 1,2,3.....

เอกสาร 2.17 ส่วนประกอบของคลื่น ใช้งานเพื่อการศึกษาเท่านั้น ไม่อนุญาตให้นำไปใช้ประโยชน์ด้านการค้า

ไม่ว่าการรวมกันของคลื่นที่สัมพันธ์กันอย่าง Harmonically และ Inharmonically ในการอธิบายถึงปัจจุบัน ได้พิจารณาคลื่นที่มีความถี่ Single เพียงอย่างเดียวเท่านั้น คลื่นเสียงจะถูกเรียกว่า Pore Tone ในธรรมชาติ Pore Tone โดยปกติจะไม่มีผลลัพธ์เป็น Complex Wave ด้วย

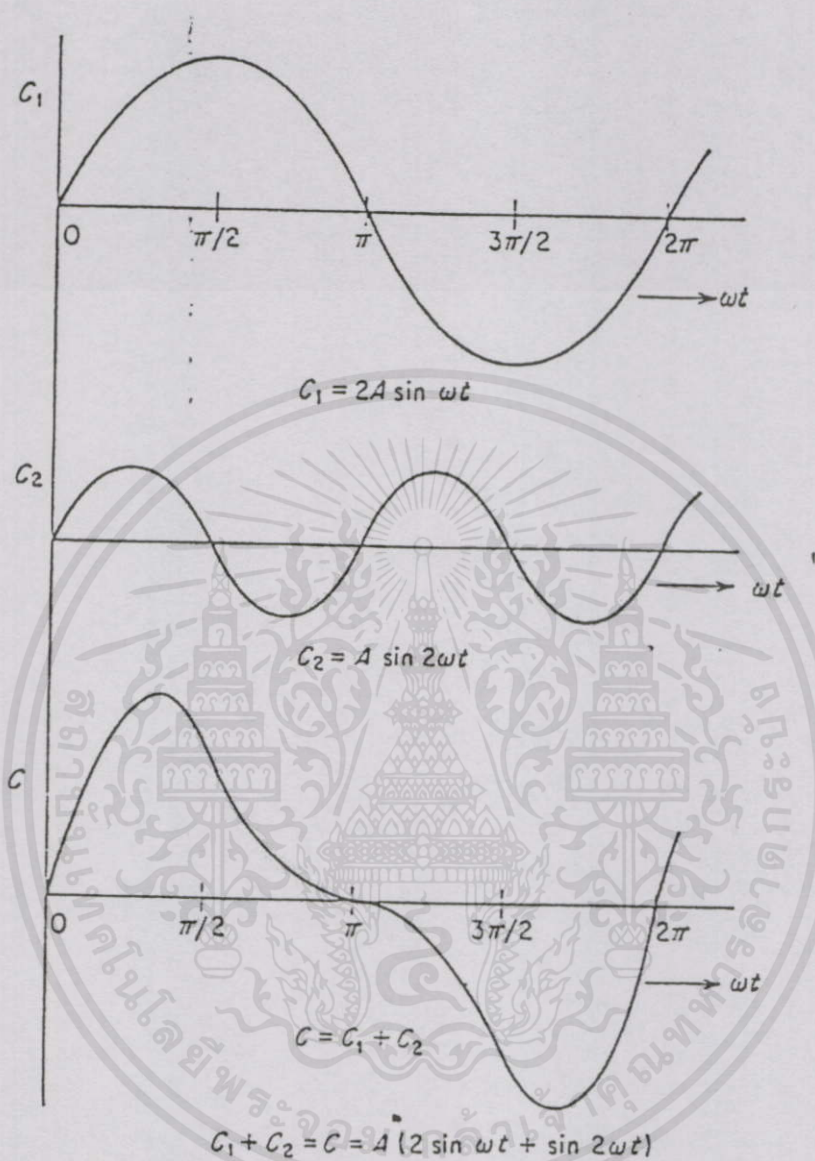
เทคนิคทางคณิตศาสตร์ที่เรียกว่า Fourier Analysis สามารถแสดงให้เห็นว่าคลื่นเสียงใดๆ ซึ่งซ้ำตัวเองเป็นช่วงๆ อย่างสม่ำเสมอสามารถนำมาพิจารณาเป็นการรวมตัวอย่างเหมาะสมของ Sine Waves ซึ่งความถี่ต่างๆ เป็นผลคูณของบางความถี่ที่ถูกระบุว่า Fundamental Frequency Component ที่มีความถี่สองครั้งในขั้นต้นจะถูกเรียกว่า Second Harmonic และอันอื่นๆ ต่อไป Component Wave ที่ให้มา รูปแบบคลื่นของ Resultant Periodic Wave สามารถได้มาโดยใช้กระบวนการของ Superposition นั่นก็หมายถึง ณ.เวลาใดๆ ที่ให้มา Amplitudes ของ Individual Component จะถูกเพิ่มเป็นแนวยาว เพื่อจะให้ Amplitude ของ Periodic Complex Wave คลื่นที่ถูกรวมตัวกันซ้ำๆ ทั่วตัวเองจากแต่ละช่วงเวลา T ที่เท่ากับ $1/f_1$ ซึ่ง f_1 เป็น Fundamental Frequency การรวมกันของหลายๆ Sine waves แนวคิดของ Phase ที่เกี่ยวข้องระหว่าง Individual components ทำให้สมบูรณืได้ตามจำนวนของวิเคราะห่วิธีที่ง่ายที่สุดก็คือการอ้างอิง Phase ที่สัมพันธ์กันของ Harmonics ที่บางจุดซึ่งกำหนดไว้ในเวลา (อ้างอิงเป็น $t = 0$) จนถึง Phase ของ Fundamental เวลาถูกเลือกขึ้นมาดั่งนั้น Fundamental จะมีทั้ง Zero value (Fundamental) สามารถแทนได้เป็น $(\sin \omega t)$ หรือมีทั้ง Positive maximum value (Fundamental สามารถ แทนด้วย $(\cos \omega t)$ Harmonics ก็ สามารถเขียนได้เป็น $C_n \sin n (\omega t + \theta_n)$ หรือ $C_n \sin n (\omega t + \theta_n)$ ในที่นี้ n คือ ลำดับของ Harmonic นั่นคือ 2,3,4 และอื่นๆ C_n คือ Amplitude ของ “ n^{th} ” Harmonic และ θ_n คือ Phase ของ n^{th} Harmonic ที่สัมพันธ์กับ Fundamental ตัวอย่างของการรวมตัวของหนึ่ง Sine wave กับอันอื่น เพื่อก่อให้เกิด Complex Wave ได้ถูกระบุไว้ในรูปที่ 2.9 ซึ่ง Sine wave และ Second Harmonic ถูกรวมเข้ากับ Zero Phase Difference ที่ $t = 0$ เพื่อจะให้เกิด Third wave การรวมกันของ Sines 2 ตัวที่เหมือนกันเหล่านี้กับ Phase Phase Difference $\pi/4$ Radians ได้ถูกแสดงไว้ในรูปที่ 2.10 ตัวอย่างคลื่นที่สามที่ถูก Plot ไว้ในรูปที่ 2.11 จะแสดงผลเมื่อ Phase Difference $\pi/2$ Radians ถูกนำมาเข้ามาระหว่างคลื่นทั้งสอง

การเพิ่ม Component waves เพื่อจะทำให้เกิด Complex wave กำหนดรายละเอียด คุณสมบัติอื่นๆ ของคลื่น ตัวอย่างเช่น Peak value ของ Complex waves ที่ถูกประกอบด้วย Component ที่สัมพันธ์กันอย่างกลมกลืนกับ Amplitude ของ Individual Component เท่านั้นแต่ ต้องอาศัย Phase ที่สัมพันธ์กันระหว่าง Component ซึ่งสามารถสังเกตได้ในรูปที่ 2.9, 2.10 และ 2.11 โดยทั่วไป Peak-To-Peak value จะเป็น Maximum ก็ต่อเมื่อ Harmonics ที่สูงกว่าทั้งหมด อยู่ใน Phase ซึ่งเป็นสิ่งสำคัญนั่นคือ $\theta_n = 0$ นี้สันนิษฐานได้ว่าทั้งหมดนี้ถูกแสดงเป็น Cosine Function

เอกสารนี้เป็นเอกสารที่เผยแพร่โดยทางโรงเรียนที่ออกเสียงเท่านั้น ไม่เอารูปนี้ไปใช้ประโยชน์ในการค้า
 ก่อนหน้านี้ได้ระบุไว้ว่า Effective (rms) value ของความดันคลื่นเสียงเป็นปริมาณที่มีประโยชน์ที่สุด ในเมื่อกำลัง (Power) ที่ถูกส่งผ่านโดยคลื่นมีความสัมพันธ์กับ Mean-Square Pressure ในคลื่นนั้นจากสมการ 2.19

สมมติว่าใช้เครื่องวัดระดับเสียง (Sound-Level Meter) ที่สามารถกำหนด Effective

(rms) ความดันเสียงได้ ทำการวัดคลื่นเสียงทั้ง 2 ที่ปล่อยออกมาจาก 2 แหล่งให้ความดันของคลื่นเป็น



รูปที่ 2.9 การรวมสองความสัณพันธ์ Harmonically กับ Sine wave ก่อให้เกิดคลื่นที่ซับซ้อน

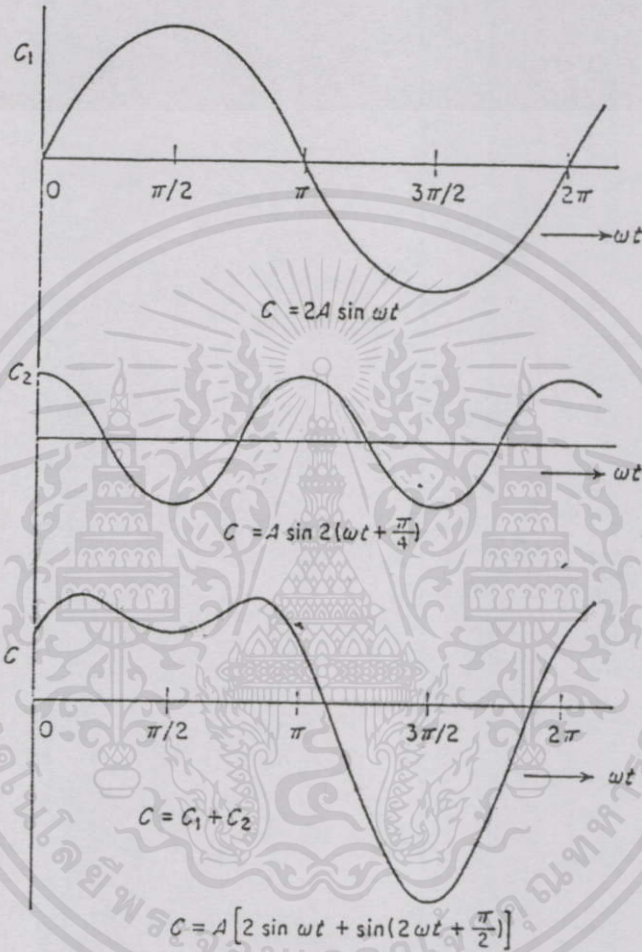
$$P_1(t) = P_1 \cos(\omega_1 t + \theta_1) \quad (2.24a)$$

$$P_2(t) = P_2 \cos(\omega_2 t + \theta_2) \quad (2.24b)$$

เอกสารนี้เป็นเอกสารที่สงวนไว้สำหรับการใช้งานเพื่อการศึกษาเท่านั้น ไม่อนุญาตให้นำไปใช้ประโยชน์ด้านการค้า
 ไม่ว่ากรณีใดทั้งสิ้น อีกทั้งจะไม่รับผิดชอบต่อเนื้อหาและข้อมูลอ้างอิงของเอกสารทุกครั้งที่มีการนำไปใช้
 ซึ่ง ω_1 กับ ω_2 เป็นความถี่มุม (Angular) และ θ_1 กับ θ_2 เป็น Phase ตามลำดับ

$$p(t) = P_1(t) + P_2(t) = P_1 \cos(\omega_1 t + \theta_1) + P_2 \cos(\omega_2 t + \theta_2) \quad (2.25)$$

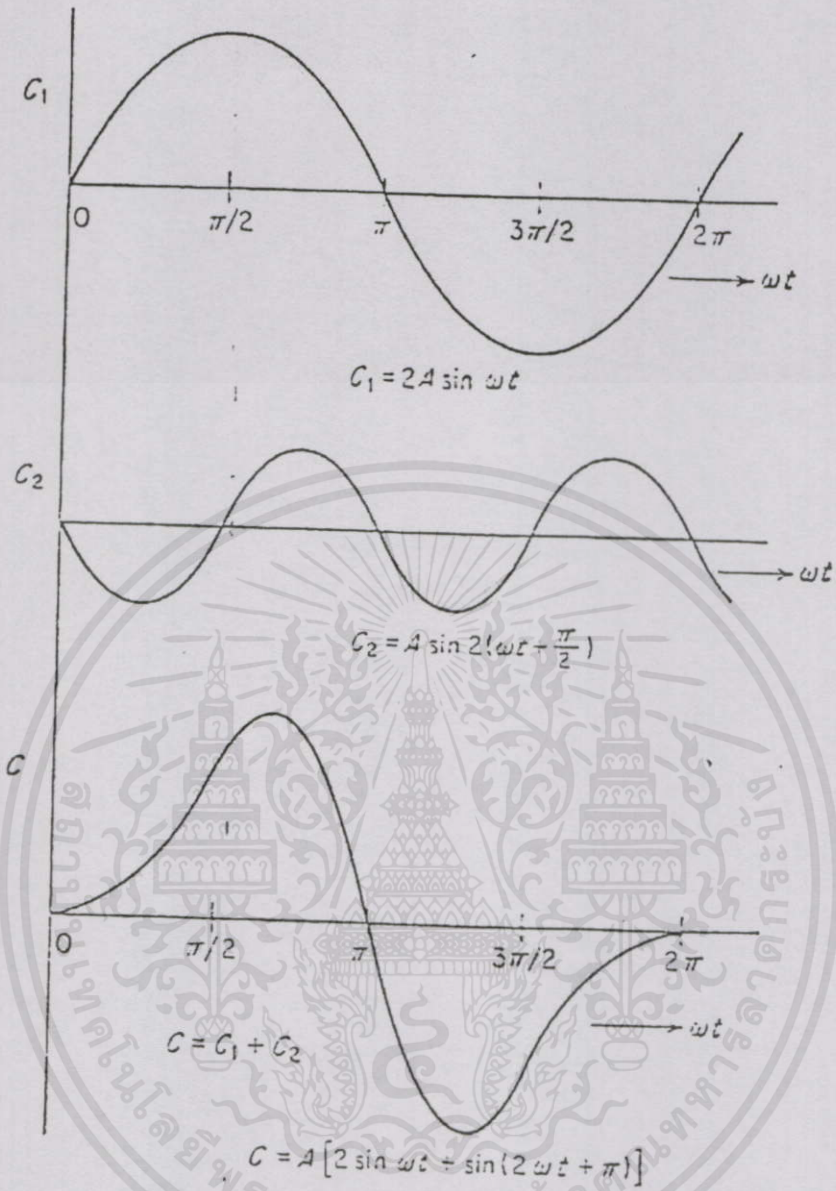
ในการตัดสินใจค่า Effective ของผลบวกนี้ วงจรใน Ideal sound – level meter จะเป็น Square $p(t)$ ใช้เวลาเฉลี่ยแสดง Square Root ของผลลัพท์ (ถูกเปลี่ยนเป็นเดซิเบล) บนเครื่องแสดงผล เมื่อ $p(t)$ ถูกทำให้เป็น square จะได้



รูปที่ 2.10 การรวมสองความถี่ Harmonically กับ Sine wave ที่มีผลต่างใน Phase ณ. จุดเวลาชั่วขณะเดียวก็ตาม ความดันที่ถูกวัดด้วยไมโครโฟนจะเป็น

$$[p(t)]^2 = \frac{P_1^2 + P_2^2}{2} + \frac{P_1^2 \cos 2(\omega_1 t + \theta_1)}{2} + \frac{P_2^2 \cos 2(\omega_2 t + \theta_2)}{2} + 2P_1 P_2 \cos(\omega_1 t + \theta_1 + \omega_2 t + \theta_2)$$

เอกสารนี้เป็นเอกสารที่สงวนไว้สำหรับการใช้งานเพื่อการศึกษาเท่านั้น ไม่อนุญาตให้นำไปใช้ประโยชน์ด้านการค้า (2.26)
ไม่ว่ากรณีใดๆทั้งสิ้น อีกทั้งห้ามมิให้คัดแปลงเนื้อหา และต้องอ้างอิงถึงเจ้าของเอกสารทุกครั้งที่มีการนำไปใช้



รูปที่ 2.11 แสดงเหมือนกับรูปที่ 2.9 และ 2.10 คลื่นสองคลื่นที่ต่าง Phase

รู้ว่าเวลาเฉลี่ยของแต่ละ Single Cosines เป็นศูนย์สามารถนำมาแสดงในเชิงคณิตศาสตร์ได้ว่าเวลาเฉลี่ยของผลคูณของ 2 Cosines ก็เป็นศูนย์ด้วยในทุกๆ ยกเว้นเฉพาะที่มีความถี่เหมือนกันผลที่ได้สามารถเขียนความสัมพันธ์ของ Mean - Square Pressure (ด้วย $\omega_1 \neq \omega_2$) ดังนี้

เอกสารนี้เป็นเอกสารที่สงวนไว้สำหรับอาจารย์ที่ปรึกษาเท่านั้น ไม่อนุญาตให้นำไปใช้ประโยชน์ด้านการค้า
 ไม่ว่ากรณีใดๆทั้งสิ้น อีกทั้งห้ามมิให้คัดลอกสิ่งนี้ และต้องอ้างอิงถึงเจ้าของเอกสารทุกครั้งที่มีการนำไปใช้ (2.27)

$$P^2 = \left[\frac{P_1}{\sqrt{2}} \right]^2 + \left[\frac{P_2}{\sqrt{2}} \right]^2$$

จะเห็นว่า $P_1 / \sqrt{2} =$ ความดันเสียงจริงของคลื่นแรก และ $P_2 / \sqrt{2} =$ ความดันเสียงจริงของคลื่นที่

สองเพราะค่า rms ของ sine wave เป็นที่รู้กันว่าเป็น $1/\sqrt{2}$ เท่าของค่า Peak ดังนั้นสำหรับคลื่น 2 คลื่นที่มีความถี่แตกต่างกัน

$$P = \sqrt{p_1^2 + p_2^2} \quad (2.28)$$

ซึ่ง p, p_1 และ p_2 เป็น Effective (rms) Magnitudes

ภายใต้เงื่อนไขที่ว่า $\omega_1 = \omega_2 = \omega$ ปริมาณ 2 อัน p_1 กับ p_2 จะประกอบด้วย Sine wave ที่สามความถี่เดียวกัน ซึ่งต่างกันใน Amplitude กับ Phase

$$\begin{aligned} p(t) &= p_1(t) + p_2(t) \\ &= \sqrt{P_1^2 + P_2^2 + 2P_1P_2 \cos(\theta_1 - \theta_2)} \cos(\omega t + \theta_3) \\ &= P_3 \cos(\omega t + \theta_3) \end{aligned} \quad (2.29)$$

ซึ่ง θ_3 เป็นมุม Phase ใหม่ ความดัน rms จะเป็น

$$P = \frac{P_3}{\sqrt{2}} = \sqrt{P_1^2 + P_2^2 + 2P_1P_2 \cos 2(\theta_1 - \theta_2)} \quad (2.30)$$

ซึ่ง p, p_1 และ p_2 เป็นค่า rms การเปรียบเทียบสมการ 2.30 และ 2.28 แสดงให้เห็นความสำคัญ ของ Phase เมื่อทำการประกอบคลื่น sine ทั้งสองตัวที่มีความถี่เหมือนกัน ถ้า Phase Difference ($\theta_1 - \theta_2$) เป็นศูนย์ คลื่นทั้งสองใน Phase และความดันรวม ก็จะอยู่ที่ Maximum ถ้า $(\theta_1 - \theta_2) = +180^\circ$ ความดันรวมก็จะอยู่ที่ Minimum

ในทางปฏิบัติความดังของเสียงจริงคลื่นทั้งหมดที่ซึ่งมีความถี่แตกต่างกัน ซึ่งคลื่นทั้งสอง ถูกเพิ่มเข้ามารวมด้วยกันตามสมการที่ 2.30 เพื่อจะให้ได้ความดังจริงอันใหม่ ดังนั้นความดังนี้กับความดังส่วนที่เหลืออยู่ของ Component จะถูกรวมยอดตามสมการที่ 2.28

หนึ่งในปริมาณต่อไปนี้ที่น่าสนใจ คือ ค่าเฉลี่ยที่ถูกปรับให้ถูกต้องของคลื่น หมายถึง Negative loop ของคลื่นถูกทำให้เป็น Positive และค่าเฉลี่ยนั้นที่อยู่ใต้ loops ทั้งหมดก็จะถูก กำหนด สำหรับ Sine wave ของค่า Peak เนื่องจาก Effective value ของ Sine wave ของจุดยอด ค่าเฉลี่ยที่ถูกปรับให้ถูกต้องของ Effective value

สำหรับ Complex Wave ที่มี Wave ที่มีหลายๆ ส่วนประกอบที่สัมพันธ์กันอย่างกลมกลืน

ค่าเฉลี่ยที่ถูกปรับให้ถูกต้องจะขึ้นอยู่กับ Relative Amplitudes และ Phases ของส่วนประกอบเฉพาะตัวนั้น

แสดงให้เห็นว่า Phases ไม่ใช่สิ่งสำคัญในการตัดสินใจ Effective (rms) value ของการรวมตัวของ Sine Wave ที่มีความถี่แตกต่างกัน ผลที่ได้มักจะได้อัตรา Amplitudes จากกราฟในรูปที่ 2.12 Spectra 4 ถ้าปรับขึ้นได้ถูกแสดงไว้

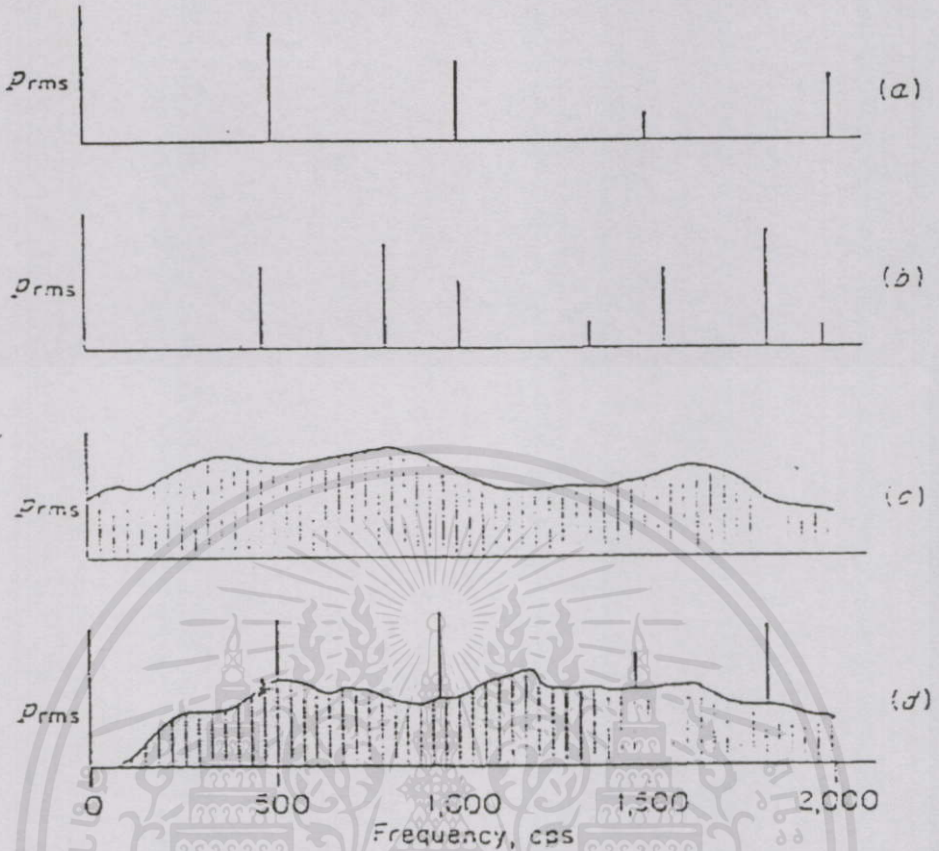
Line Spectrum sound กราฟบนสุด (a) แสดง Effective sound – pressure Spectrum สำหรับกลุ่มของส่วนประกอบทั้ง 4 สัมพันธ์กับความถี่ Fundamental และ Effective sound Pressure ของแต่ละส่วนประกอบจะถูกระบุโดยความสูงแนวตั้งของเส้นเหนือความถี่ กราฟเช่นนี้จะถูกเรียกว่า Line Spectrum

การรวมกันของจำนวนคลื่นที่มีความสัมพันธ์อย่างไม่กลมกลืนกัน จะก่อให้เกิดผลลัพธ์ของคลื่นที่ไม่เป็นช่วงๆ หรือ อีกอย่างหนึ่งได้ว่าสามารถคาดการณ์ Amplitudes ของคลื่นได้เพียงแค่นับพื้นฐานทางสถิติเท่านั้น ที่ว่า Peak Amplitude ไม่สามารถที่จะเกิดขึ้นกว่ายอดรวมของ Amplitudes ของส่วนประกอบทั้งหมด แต่ในขณะที่จำนวนของส่วนประกอบถูกทำให้เพิ่มขึ้นความเป็นไปได้ในการบรรลุ Maximum Peak Amplitude กลับน้อยมาก

ตัวอย่างของ Line Spectrum ที่ทำขึ้นจาก Pure Tone ที่มีความสัมพันธ์อย่างไม่กลมกลืนได้แสดงไว้ในกราฟ (b) ของรูปที่ 2.12

การต่อเนื่อง Spectrum sound (Noise) รูปแบบที่ธรรมชาติของเสียงอันหนึ่งก็คือ สร้างขึ้นมาจากส่วนที่ต่อเนื่องกันของส่วนประกอบการรวมความต่อเนื่องของเสียงประเภทนี้ถูกสร้างขึ้นมา เช่น การปล่อยไอเสียออกจากเครื่องยนต์ หรือฐานของน้ำตกใน Niagara หรือโดยเสียงเคียดของอากาศและไอน้ำที่พุ่งออกมาหรือโดยการเทหินจากระเบิดตกลงไปเหนือหน้าผาที่มีกองหินอยู่หรือระบบท่อลม และอื่นๆ ในการสร้าง Noise แบบนี้ขึ้นจาก Pure – Tones จำเป็นต้องมีจำนวนที่ไม่มีที่สิ้นสุดของคลื่น ซึ่งแต่ละคลื่นจะมี Infinitesimal Amplitude

เอกสารนี้เป็นเอกสารที่สงวนไว้สำหรับการใช้งานเพื่อการศึกษาเท่านั้น ไม่อนุญาตให้นำไปใช้ประโยชน์ด้านการค้าไม่ว่ากรณีใดๆ ทั้งสิ้น อีกทั้งห้ามมิให้คัดแปลงเนื้อหา และต้องอ้างอิงถึงเจ้าของเอกสารทุกครั้งที่มีการนำไปใช้



รูปที่ 2.12 การแสดง line Spectrum harmonically b) แสดง line Spectrum Inharmonically c) การต่อเนื่องของ Spectrum d) การรวม line และความต่อเนื่องของ Spectrum (เกี่ยวกับการเกิด Spectrum)

ตัวอย่างของความต่อเนื่อง Spectrum ได้แสดงไว้ในกราฟ (c) ในรูปที่ 2.12 เมื่อประกอบเข้ากับ Line Spectrum ก็จะทำให้เกิด Complex Spectrum ในรูปแบบที่แสดงไว้ในกราฟ (d)

การวัด และระบุรายละเอียด Continuous Spectrum sound ได้อย่างไร วิธีที่ง่ายที่สุดคือไม่มีเครื่องวัดที่จะให้ผลอย่างเดียวกัน ด้วยเหตุนี้วิธีการนี้จึงไม่ค่อยดีนัก เพราะฉะนั้น จึงควรจะอธิบาย Continuous Spectrum Noise โดยการ Plot (เป็น Function ของความถี่) Effective Sound Pressure (หรือ Intensity) ที่มีอยู่ในการเพิ่มขึ้นของความถี่ตลอด Frequency scale ในทุกๆ ความกว้างที่มีการเพิ่มขึ้น 1 cps เพราะฉะนั้น กราฟ (c) กับ (d) ในรูปที่ 2.12 จะระบุ Effective sound Pressure ในช่วงความถี่กว้าง 1 cps

อีกสิ่งที่เป็นเอกสารที่สงวนไว้สำหรับการใช้งานเพื่อการศึกษาเท่านั้น ไม่อนุญาตให้นำไปใช้ประโยชน์ด้านการค้า
 ความยุ่งยากอย่างหนึ่งในวิธีการอธิบาย Continuous Spectrum Noise คือไม่มีเครื่องมือใดๆ ที่จะสามารถใช้วัด Effective Sound Pressure ซึ่งมีความกว้าง Band แคบเท่ากับ 1 cps ดังนั้น ต้องวัดที่ความกว้าง Band ที่กว้างขึ้น และเปลี่ยนให้เป็นวิธีการมาตรฐานในการนำเสนอข้อมูล

ในการที่จะพัฒนาระบบหลักการของการเปลี่ยนแปลงจาก Bandwidth ที่กว้างขึ้น ให้แคบลง ให้จินตนาการว่า มีเครื่องจักรที่ผลิต Intensity 10^{-6} watt / m² ในช่วงกว้าง 1 cps ระหว่าง 999 และ 1000 cps (แสดงรูปที่ 2.13 a) ตอนนี้จินตนาการว่าเดินเครื่องจักรที่สองซึ่งจะผลิต Intensity เดียวกันระหว่าง 1000 กับ 1001 cps (แสดงรูปที่ 2.13 b) เมื่อ Noise ทั้ง 2 เครื่องจักร ถูกนำมารวมกัน จะได้ Spectrum ของรูปที่ 2.13 c เนื่องจากเครื่องจักรทั้ง 2 จะผลิตสองครั้ง ซึ่งมี Power มากเท่ากับ 1 ครั้ง Intensity ก็ต้องเป็นสองเท่าเหมือนกับในรูปที่ 2.13 เครื่องจักรแบบนี้ 10 เครื่องจะผลิต Intensity เป็น 10 เท่า

กล่าวอีกนัย หนึ่งคือ ถ้าความต่อเนื่อง Spectrum เป็น “Flat” (มีความเข้มเหมือนกับในทุกๆ 1 cps Band) Total Intensity จะได้โดย

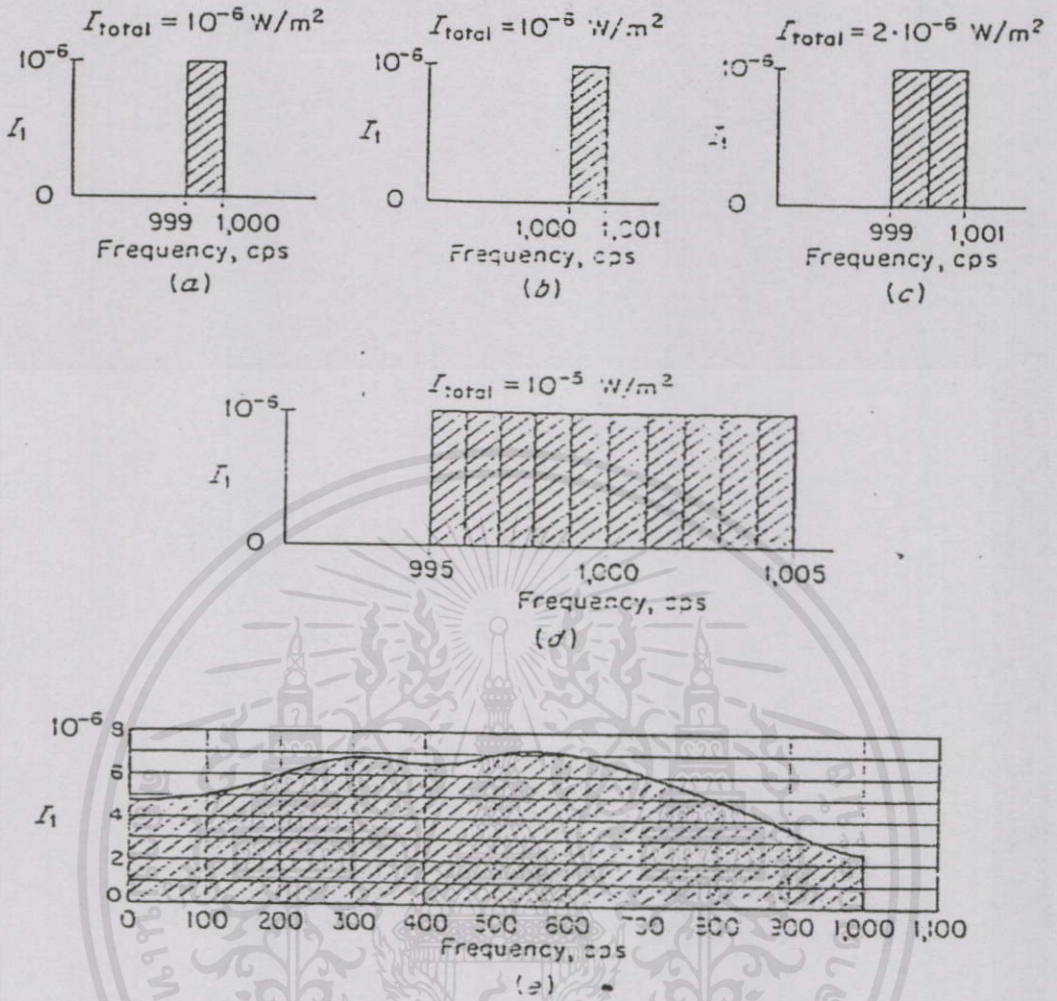
$$I_{total} = I_1 \Delta_f \quad (2.31)$$

หรือ Total Intensity เท่ากับผลคูณของ Intensity ใน 1 cps Band ที่ถูกคูณด้วยความกว้างของ Total Band ในรอบต่อวินาที เหตุผลนี้จะดีมากถ้า Spectrum เป็น Flat แต่สิ่งที่จะทำให้ Spectrum เป็นสิ่งที่แตกต่างกัน ความถี่ที่แตกต่างกัน ได้แสดงไว้ในรูปที่ 2.13 e ซึ่งจะแทนที่ Actual I_1 ของตัวเลขนั้น ค่าเฉลี่ย I_1 เข้าไปใน Band ที่สนใจในทางกลับกัน ถ้าวัด I_1 พร้อมกับ Analyzer ที่มี Bandwidth Δ_f Average Spectrum Intensity I_1 (1 cps Band) ที่อยู่ใน Band นั้นจะได้มาจากสมการ

$$I_1 = \frac{I_T}{\Delta_f} \quad (2.32)$$

เนื่องจากสามารถวัด Effective sound pressure ได้ง่าย แต่ไม่สามารถวัด Sound Intensity ซึ่งจะใช้จากสมการ 2.31 กับสมการที่ 2.32 ได้ อย่างไรก็ตามเมื่อถูกแสดงในรูป Effective sound pressure การแทนที่สมการที่ 2.19 เข้าไปในสมการที่ 2.31 จะให้การตัดค่าของ $\rho_0 c$ และหาค่า Square root นำไปสู่

เอกสารนี้เป็นเอกสารที่สงวนไว้สำหรับการใช้งานเพื่อการศึกษาเท่านั้น ไม่อนุญาตให้นำไปใช้ประโยชน์ด้านการค้า
ไม่ว่ากรณีใดๆทั้งสิ้น อีกทั้งห้ามมิให้คัดลอกเนื้อหาและต้องอ้างอิงถึงเจ้าของเอกสารทุกครั้งที่มีการนำไปใช้



รูปที่ 2.13 กราฟแสดงการเพิ่มความเข้ม และความกว้างของเสียง

$$\left[\frac{P_{rms}^2}{\rho_0 c} \right]_{total} = \left[\frac{P_{rms}^2}{\rho_0 c} \right]_1 \Delta f \tag{2.33}$$

การตัดค่าของ $\rho_0 c$ และหาค่า Square root นำไปสู่

$$(p_{rms})_{total} = (p_{rms})_1 \sqrt{\Delta f} \tag{2.34}$$

ซึ่ง $(p_{rms})_1$ เป็น Effective sound pressure ในความกว้าง 1 cps
 กล่าวคือการเพิ่ม Bandwidth ของ Flat Continuous Spectrum Noise ขึ้นสองเท่าจะทำให้เพิ่ม Intensity ขึ้นด้วย Factor เป็น 2 และ Effective Sound Pressure ด้วย Factor คือ 1.41

2.2 Transmission Through Ducts

2.2.1 Acoustic Impedance (Z)

อ้างอิง One - Dimensional Sound Waves ส่งผ่านท่อปกติจะไม่มี การเปลี่ยนพื้นที่หน้าตัด (Cross - Sectional area) หรือ Side Branch และเมื่อเกิดการไม่สม่ำเสมอเกิดขึ้น บางครั้งเสียงจะมีการสะท้อนกลับไปยังแหล่งกำเนิด ไปถึงการกำหนดขนาด (Magnitudes) ของ Transmitted และคลื่นเสียง จะต้องพิจารณาเงื่อนไขคลื่นเสียงที่ต้องการประการแรก คือ เงื่อนไขของความดัน และประการที่สอง เงื่อนไขของความเร็ว เมื่อความเร็ว คือ Partial velocity time ของ Cross Sectional area ซึ่งรวมถึงการพิจารณา Acoustic Impedance เกี่ยวกับการป้องกันเสียงสะท้อน

$$Z = \frac{P}{U} = \frac{P}{s \cdot u} = \frac{z}{s} \quad (2.35)$$

เมื่อ s คือ Cross Sectional Area

เนื่องจากต้องขึ้นอยู่กับ Cross - Sectional Area ดังนั้น Total Acoustic Power ความสำคัญมากกว่า Acoustic Intensity ตัว Power Plan wave เป็น

$$W = IxS = \left[\frac{p^2}{\rho_0 c} \right] S = \left[\frac{p^2}{Z_0} \right] \quad (2.36)$$

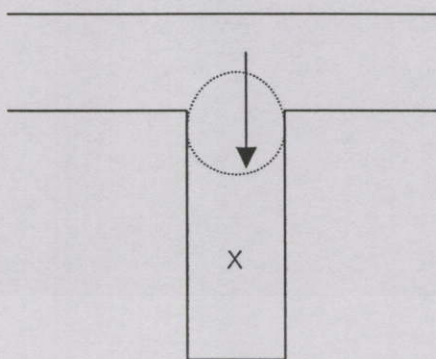
และยังสะดวกต่อการใช้ Acoustic Impedance

2.2.2 The Side-Branch Resonator

Side-Branch Resonator เป็นเรื่องที่น่าสนใจเพราะถูกใช้ในเรื่อง Acoustic นำไปประยุกต์ใช้ในสิ่งที่น่าสนใจเพิ่มขึ้นมากกล่าวถึงเรื่อง Acoustic Impedance และยังจะแนะนำแนวคิดในเรื่อง Acoustic Stiffness กับ Mass รูปแบบต่างๆ จะประกอบด้วย Volume ที่เชื่อมเข้ากับ Main Ducts Fluid ด้วยท่อกลมเล็กๆ ที่มีความยาว l และมีพื้นที่ $S = \pi a^2$ สันนิษฐานได้ว่าขนาดต่างๆ ขนาดจะน้อยกว่าความยาวคลื่นเสียงอย่างมาก ซึ่งจะจำกัดการใช้ เมื่อเป็นความถี่ต่ำ Resonator ปัจจุบันจะเหมือนกับ Mechanical Mass Spring Damper System ที่มี Plug อยู่ใน Neck โดยทำหน้าที่เป็น

เอกสารนี้เป็นเอกสารที่สงวนไว้สำหรับการใช้งานเพื่อการศึกษาเท่านั้น ไม่อนุญาตให้นำไปใช้ประโยชน์ด้านการค้า

ไม่ว่ากรณีใดๆทั้งสิ้น อีกทั้งห้ามมิให้คัดแปลงเนื้อหา และต้องอ้างอิงถึงเจ้าของเอกสารทุกครั้งที่มีการนำไปใช้



รูปที่ 2.14 Representation of a Side-branch Resonator

Mass และตัว Volume ของ Fluid ที่มาด้วย ก็จะทำหน้าที่เป็นเหมือน Spring และหน้าที่ของ Frictional Force บน Plug ของ Fluid ที่อยู่ใน Neck คือสิ่งที่ไม่ต้องเอาคำนึงถึงก็ได้ เว้นแต่ช่องจะเล็กมากหรือถูกจำกัดโดยเจตนาในทางใดทางหนึ่ง อย่างไรก็ตามเมื่อ Plug สัมผัสเพื่อนก็สามารถส่งกระจายเสียงเข้าไปใน Main Ducts และพลังงานจะสูญหายไปยัง Resonator ถ้าข้อ จำกัดที่มีอยู่ใน Neck หายไป จำนวนการกระจายเสียงนี้ ก็ต้องนำมาคำนวณด้วย ในการตั้งสมการ Motion ,Plug ของ Fluid ถูกสมมติแทนที่ด้วย x ตาม External Force และจะได้ 4 Term ดังต่อไปนี้

2.2.2.1 ความแข็งของมวลภายในปริมาตรถึงปิด(Stiffness of enclosed volume)
การแกว่งที่เร็วเพียงพอสำหรับการขยาย และทำให้ความร้อนคงที่ จะ ได้สมการ

$$p = \frac{\gamma P_0 S}{V} x = \rho_0 c^2 \left(\frac{S}{V} \right) x \quad (2.37)$$

$$\text{แรงในแกน} + x = -pS = -\rho_0 c^2 (S^2 / V)x \quad (2.38)$$

2.2.2.2 มวลของ Plug Fluid

Plug ของ Moving Fluid จะใหญ่กว่า Actual Volume , S_1 และมักจะถูกเขียนเป็น Effective volume $S_1' = S(1 + 2\Delta)$, $S \Delta$ จะเหมือนกับ Volume ของอากาศซึ่งจะเคลื่อนที่ไป เหมือนกับลูกสูบกลมของพื้นที่ S ที่กำลังสัมผัสเพื่อนอยู่ใน Infinite Baffle และ จะปรากฏขึ้น 2 ดังนั้นมวลทั้งหมดของ fluid

$$\begin{aligned}
 &= \rho_0 S l' \\
 &= \rho S (1+2\Delta l)
 \end{aligned} \tag{2.39}$$

2.2.2.3 ความต้านทานการแผ่รังสี (Radiation Resistance force)

การแผ่รังสีจาก Plug ของอากาศจะเหมือนกับการแผ่รังสีจากลูกสูบกลมที่อยู่ใน Rigid baffle เพื่อความสะดวกเขียนในรูปแบบของ R ดังที่

$$F_{RAD} = -RS^2 \frac{dx}{dt} \tag{2.40}$$

2.2.2.4 แรงเคลื่อนที่ (Driving force)

ถ้า Resonator ถูกขับโดยคลื่นเสียง Harmonic ฉะนั้น

$$\begin{aligned}
 F &= Sp \\
 &= SA e^{j\omega t}
 \end{aligned} \tag{2.41}$$

สมการของการเคลื่อนที่จะได้

$$\rho_0 l' S \frac{d^2 x}{dt^2} + RS^2 \frac{dx}{dt} + \frac{\rho_0 c^2}{V} S^2 x = SA e^{j\omega t} \tag{2.42}$$

อัตราความเร็วเชิงอนุภาค

$$U = \frac{dx}{dt}$$

และอัตราความเร็วเชิงปริมาตร

$$U = S \frac{dx}{dt}$$

ดังนั้น เรนนี่เป็นเอกสารที่สงวนไว้สำหรับการใช้งานเพื่อการศึกษาเท่านั้น ไม่อนุญาตให้นำไปใช้ประโยชน์ด้านการค้า

ไม่ว่ากรณีใดๆ ทั้งสิ้น $\frac{\rho_0 l' dU}{S dt} + RU + \frac{\rho_0 c^2}{V} \int U dt = Ae^{j\omega t}$ และต้องตั้งเงื่อนไขถึงเจ้าของเอกสารทุกครั้งที่มีการนำไปใช้

หรือ

$$M \frac{dU}{dt} + RU + K \int U dt = Ae^{j\omega t} \quad (2.43)$$

เมื่อ $M = \rho_0 l' / S$ คือ มวลของ Acoustic

และ $K = \rho_0 l' / V$ คือความแข็งแรงของ Acoustic

การแก้ปัญหา Harmonic ของสมการ 2.43 คือ

$$U = \frac{Ae^{j\omega t}}{R + j(\omega M - K/\omega)} = \frac{p}{Z} \quad (2.45)$$

Resonator จะถูกกำหนดเป็นการเกิดขึ้นเมื่อ U ไปถึงจุดสูงสุด ซึ่งหมายถึง เมื่อ Imaginary หรือ Reactive Part ของ Acoustic เป็น 0

$$\omega_0^2 = \frac{K}{M} = \frac{\rho_0 c^2 / V}{\rho_0 l' / S} = \frac{c^2 S}{l' V}$$

$$f_0 = \frac{c}{2\pi} \left[\frac{S}{V l'} \right]^{1/2} = \frac{c}{2\pi} \left[\frac{\pi a^2}{V(l' + 2\Delta l)} \right]^{1/2} \quad (2.46)$$

ณ. ความถี่ Resonant การตอบรับของ Resonator จะถูกควบคุมไว้ทั้งหมดด้วยความขึ้นในระบบในกรณีนี้มาจาก Radiation term และถ้าความถี่มีเล็กน้อยความดัน Acoustic จำนวนมากจะถูกผลิตขึ้นภายใน Resonator ณ.ความถี่อื่นจะน้อยและความดัน Acoustic ภายใน Resonator ก็น้อย Resonator อาจกล่าวได้ว่าเป็น Tuned Filter ซึ่งความถี่จะถูกกำหนดโดยขนาด และความกว้างแถบคลื่นถูกกำหนดโดยความถี่

สมการที่ 2.44 จะเป็นสมการที่สำคัญเพราะจะทำให้รูปแบบต่างๆ ไปสำหรับ Acoustic Mass กับ Acoustic Stiffness ซึ่งสิ่งเหล่านี้จะถูกใช้ภายหลัง เมื่อพิจารณาองค์ประกอบ Lumped Acoustic

จาก Acoustic Impedance ของ Resonator ซึ่งอาจเขียนใหม่ได้เป็น

เอกสารนี้เป็นเอกสารที่สงวนไว้สำหรับการใช้งานเพื่อการศึกษาเท่านั้น ไม่อนุญาตให้นำไปใช้ประโยชน์ด้านการค้า ไม่ว่าจะกรณีใดๆ ทั้งสิ้น อีกทั้ง $Z = R + j(\omega M - K/\omega)$ ของอ้างอิงถึงเจ้าของเอกสารทุกครั้งที่มีการนำไปใช้

$$= R + j \frac{\omega \rho_0}{S} (l' + 2\Delta l) - \frac{\rho_0 c^2}{\omega V} \quad (2.47)$$

เมื่อ Acoustic Resistance R ของ Piston

$$R = \frac{\rho_0 c}{\pi a^2} R_1(2ka)$$

ถ้า $2ka < 0.5$

$$R = \frac{\rho_0 c k^2}{2\pi}$$

และ Acoustic Resistance คือ

$$X = \frac{\rho_0 c}{\pi a^2} X_1(2ka)$$

Acoustic Impedance ของ Acoustic Mass กับ Acoustic Stiffness ให้เป็น $j\omega M$ กับ $-jk/\omega$ ตามลำดับ จะพิจารณาได้ว่า Acoustic Impedance ของลูกสูบกลมรัศมี $a \ll \lambda$ ต้นสะท้อนใน Rigid Infinite Baffle ควรจะประกอบด้วย Radiation Term R และ Term Mass จะตอบสนองไปยังปลายด้านหนึ่งที่ถูกต้อง

$$Z =_{piston} = R + \frac{j\omega\rho_0}{S} \Delta l \quad (2.48)$$

แต่ Radiation Impedance กับ Acoustic Impedance จะแตกต่างกันโดยนิยมนำ Factor S^2 และการเปรียบเทียบจะแสดงให้เห็นว่า

$$Z =_{piston} = \frac{\rho_0 c k^2}{2\pi} + \frac{j\omega\rho_0}{S} \left(\frac{8a}{3\pi} \right) \quad (2.49)$$

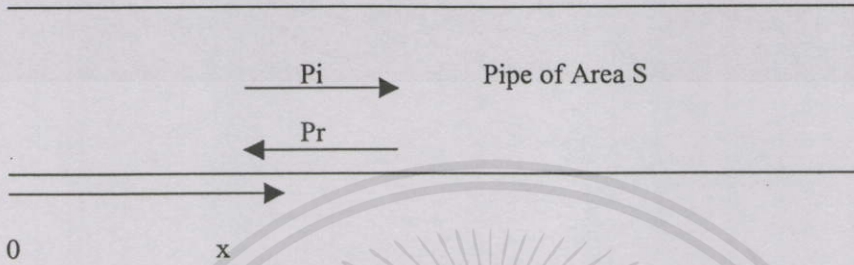
ปลายด้านที่ถูกต้อง $\Delta l = 8a/3\pi$ เกี่ยวกับคลื่นเสียงใน Open – Ended pipe

2.2.3 การสะท้อนของคลื่นในท่อ

เอกสารนี้เป็นเอกสารที่สงวนไว้สำหรับการใช้งานเพื่อการศึกษเท่านั้น ไม่อนุญาตให้นำไปใช้ประโยชน์ด้านการค้า
 ถ้า Single wave เดินทางอยู่ในทิศทาง Positive x ไปตามท่อที่มีพื้นที่หน้าตัดคงที่ S ซึ่งเป็น Acoustic Impedance ที่ได้จากคลื่นนั้น ก็จะเป็น $\rho_0 c/S$ สมมติว่ามีความไม่ต่อเนื่องในท่อ ปริมาตรของ Individual wave 2 คลื่น จะได้

$$P_i = A e^{j(\omega t - kx)}; U_i = \frac{P_i}{\rho_0 c / S} \quad (2.50)$$

$$P_r = B e^{j(\omega t - kx)}; U_r = \frac{P_r}{-\rho_0 c / S} \quad (2.51)$$



รูปที่ 2.15 การส่ง และการสะท้อนของคลื่นในท่อ

คลื่นทั้งคู่จะแสดง Total Acoustic Impedance ณ.จุด x ใดๆ ซึ่งจะได้

$$Z_x = \frac{P_i + P_r}{U_i + U_r} = \frac{\rho_0 c}{S} \left(\frac{P_i + P_r}{P_i + P_r} \right)$$

คลื่นทั้งคู่จะแสดง Total Acoustic Impedance ณ.จุด x ใดๆ ซึ่งจะได้

$$\begin{aligned} Z_x &= \frac{P_i + P_r}{U_i + U_r} = \frac{\rho_0 c}{S} \frac{P_i + P_r}{P_i + P_r} \\ &= \frac{\rho_0 c}{S} \left(\frac{A e^{-j k x} + B e^{j k x}}{A e^{-j k x} - B e^{j k x}} \right) \end{aligned} \quad (2.52)$$

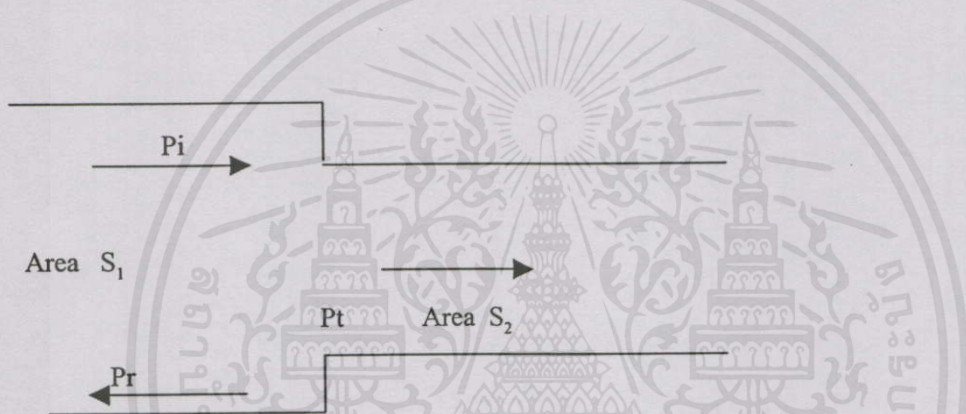
เนื่องจากความต้องการต่อเนื่องของความดัน และการต่อเนื่องของอัตราความเร็วเชิงปริมาตรจึง ต้องมีความต่อเนื่องของ Acoustic Impedance ณ.จุดใดๆ ภายในท่อฉะนั้นถ้าบางจุดรู้ว่า Acoustic Impedance มีค่าเฉพาะดังนั้น Z_x ที่ได้มาจากสมการที่ 2.62 ก็ต้องได้ค่านั้น เพื่อความสะดวกสมมติว่า Acoustic Impedance เป็น Z_0 ณ. $X = 0$ ดังนั้น

$$Z_0 = \frac{\rho_0 c}{S} \left(\frac{A+B}{A-B} \right) \quad (2.53)$$

ซึ่งอาจนำมาจัดใหม่ เพื่อที่จะให้เป็น

$$\frac{B}{A} = \frac{Z_0 - \rho_0 c / S}{Z_0 + \rho_0 c / S} \quad (2.54)$$

สมการ 2.54 ถูกนำมาใช้ในกรณีที่มีการเปลี่ยนแปลงอย่างกะทันหันในพื้นที่หน้าตัดของท่อ แสดงไว้ในรูปที่ 2.16



รูปที่ 2.16 การเปลี่ยนแปลงพื้นที่หน้าตัดในท่อ

โดยมีเงื่อนไขมีเพียง Single wave Pt เท่านั้นที่อยู่ในท่อของพื้นที่ S_2 นั่นคือจะไม่มีกระสะท้อนไปตามท่อ ซึ่ง Acoustic Impedance ณ จุดเริ่มต้น ก็จะเป็น $\rho_0 c / S_2$ ดังนั้น

$$\frac{B}{A} = \frac{\rho_0 c / S_2 - \rho_0 c / S}{\rho_0 c / S_2 + \rho_0 c / S} \quad (2.55)$$

$$= \frac{S_1 - S_2}{S_1 + S_2}$$

เมื่อรูปนี้เป็นเอกสารที่สงวนไว้สำหรับกลุ่มใช้งานเพื่อการศึกษานี้เท่านั้น ไม่อนุญาตให้นำไปใช้ประโยชน์ด้านอื่นๆ เพื่อที่คำนวณว่า พลังงานที่ปรากฏขึ้นถูกสะท้อนไปมากเท่าไร และถูกส่งผ่านไปเท่าไร จะเขียนการไม่ว่ากรณีใดบ้าง อีกหนึ่งห้ามมิให้คัดลอกเนื้อหา และต้องอ้างอิงถึงเจ้าของเอกสารทุกครั้งที่มีการนำไปใช้ สะท้อนกับสัมประสิทธิ์การส่งผ่าน ได้ดังต่อไปนี้

$$\alpha_r = \frac{W_r}{W_i} = \frac{|B|^2 / 2\rho_0 c / S_1}{|A|^2 / 2\rho_0 c / S_1} = \left| \frac{B}{A} \right|^2 \quad (2.56)$$

$$= \frac{(S_1 - S_2)}{(S_1 + S_2)^2}$$

$$\alpha_t = 1 - \alpha_r = \frac{4S_1 S_2}{(S_1 + S_2)^2} \quad (2.57)$$

ดังนั้น α_r กับ α_t จะขึ้นอยู่กับ Ratio $S_1 : S_2$ หรือ $S_2 : S_1$ เท่านั้นและไม่ขึ้นกับการลดหรือเพิ่มพื้นที่หน้าตัด นอกจากนี้ Ratio ก็ต้องใหญ่พอที่จะสร้าง Substantial Reduction ในพลังงานที่ถูกส่งผ่าน เช่น ถ้า $S_2 : S_1 = 10$ (หรือ 0.1), $\alpha_r = 0.33$

2.2.4 ผลที่ได้ของ Side-Branch Resonator

Main pipe ที่มีพื้นที่ S จะมี Side-Branch Resonator ของ Acoustic Impedance Z_b ที่ตำแหน่ง $X = 0$ จะไม่มีคลื่นถูกสะท้อนไปข้างหลังของ Side Branch และ Acoustic Impedance ของ Main pipe ที่ $X = 0$ จะเป็น $\rho_0 c / S$ ซึ่ง Side Branch เป็นต้นเหตุให้เกิดการสะท้อนของคลื่นที่ปรากฏขึ้น และที่ $X = 0$ อาจเขียนสมการความดันกับอัตราความเร็วได้ 4 ตัวแปรคือ

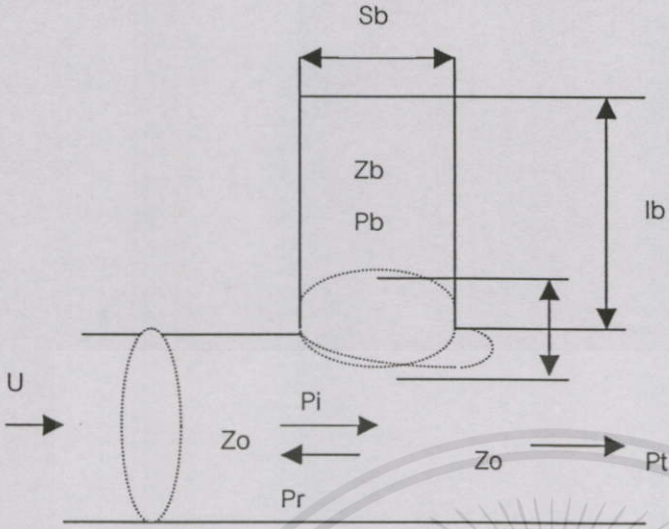
$$P_i = A_1 e^{j\omega t} \quad U_i = \frac{P_i}{\rho_0 c / S} \quad (2.58)$$

$$P_r = B_1 e^{j\omega t} \quad U_r = \frac{P_r}{\rho_0 c / S} \quad (2.59)$$

$$P_t = A_2 e^{j\omega t} \quad U_t = \frac{P_t}{\rho_0 c / S} \quad (2.60)$$

$$P_b = A_3 e^{j\omega t} \quad U_b = \frac{P_b}{\rho_0 c / S} \quad (2.61)$$

เอกสารนี้เป็นเอกสารที่สงวนไว้สำหรับการใช้งานเพื่อการศึกษาเท่านั้น ไม่อนุญาตให้นำไปใช้ประโยชน์ด้านการค้า ไม่ว่ากรณีใดๆทั้งสิ้น อีกทั้งห้ามมิให้คัดแปลงเนื้อหา และต้องอ้างอิงถึงเจ้าของเอกสารทุกครั้งที่มีการนำไปใช้



รูปที่ 17 Schematic diagram of Side-Branch Resonator

ต้องการพิจารณาเงื่อนไขความดันและอัตราความเร็วปริมาตรแยกจากกัน

(1) ความต่อเนื่องของความดัน

$$P_i + P_r = P_t = P_b \tag{2.62}$$

(2) ความต่อเนื่องของอัตราความเร็ว

$$U_i + U_r = U_t = U_b \tag{2.63}$$

รวมสมการ 2.62 กับ 2.63 เข้าด้วยกันจะได้

$$\frac{U_i + U_r}{P_i + P_r} = \frac{U_t + U_b}{P_t + P_b}$$

หรือ

เอกสารนี้เป็นเอกสารที่สงวน $\frac{1}{Z} = \frac{1}{Z_i} + \frac{1}{Z_b}$ จนเพื่อการศึกษาเท่านั้น ไม่อนุญาตให้นำไปใช้ปร. (2.64) การค้า
ไม่ว่ากรณีใดๆทั้งสิ้น อีกทั้งห้ามมิให้คัดแปลงเนื้อหา และต้องอ้างอิงถึงเจ้าของเอกสารทุกครั้งที่มีการนำไปใช้

เมื่อ

$$Z = \frac{\rho_0 c}{S} \left(\frac{A_1 + B_1}{A_1 - B_1} \right) \text{ และ } Z_t = \frac{\rho_0 c}{S}$$

สมการ 2.65 จะถูกเขียนใหม่ จะได้

$$\frac{B_1}{A_1} = - \frac{\rho_0 c / 2S}{\rho_0 c / 2S + Z_b} \quad (2.65)$$

ดังนั้นจากสมการ 2.66 จะได้

$$\frac{A_2}{A_1} = \frac{A_3}{A_1} = \frac{Z_b}{\rho_0 c / 2S + Z_b} \quad (2.66)$$

โดยทั่วไป Acoustic Impedance ของ Side-Branch Resonator จะซับซ้อน อาจเขียนได้เป็น

$$Z_b = R_b + j X_b \quad (2.67)$$

และสำหรับที่ให้ไว้ในสมการที่ 2.57 จะรวมเทอมของ Radiation เข้าด้วยกัน เมื่อใช้ Side-Branch พลังงานที่ส่งกระจายรังสีออกมาจะถูกย้อนกลับไปยัง Main pipe และด้วยเหตุนี้ Impedance ของ Resonator ก็จะเป็น

$$Z_b = \frac{j\rho_0\omega}{S_b} - \frac{j\rho_0c}{S_b \cot(kl)} \quad \text{เมื่อ } l'_b = l_b + \Delta l_b \quad (2.68)$$

ณ.ความถี่ Resonance ของ Resonator นั่นคือเมื่อ $f = f_0 = (c/2\pi)(S_b/l_b' V)^{1/2}$

โดย

P_i คือ ความดันเสียงที่เข้าด้านหน้า Resonator

P_r คือ ความดันเสียงสะท้อนกลับปาด้านหน้า Resonator

P_t คือ ความดันเสียงที่ผ่านไปด้านหลัง Resonator

P_b คือ ความดันเสียงที่เข้าตัว Resonator

U_0 คือ ความเร็วเสียง Resonator

เอกสารนี้เป็นเอกสารที่สงวนไว้สำหรับการใช้งานเพื่อการศึกษาเท่านั้น ไม่อนุญาตให้นำไปใช้ประโยชน์ด้านการค้า
ไม่ว่ากรณีใดๆทั้งสิ้น ยกเว้นแต่ที่เห็นสมควรโดยที่ไม่ต้องอ้างอิงถึงเจ้าของเอกสารทุกครั้งที่มีการนำไปใช้
เมื่อพิจารณาผลกระทบของ Side-Branch resonator ที่ความหน่วง $Z = R + jX$

$$P_i = Z_0 U_i = \frac{\rho c}{S_0} U_i = A_1^{ejwt} \quad (2.69)$$

$$P_r = Z_0 U_r = \frac{\rho c}{S_0} U_r = B_1^{ejwt} \quad (2.70)$$

$$P_t = Z_0 U_t = \frac{\rho c}{S_0} U_t = A_2^{ejwt} \quad (2.71)$$

$$P_b = Z_b U_b = \frac{\rho c}{S_b} U_b = A_b^{ejwt} \quad (2.72)$$

โดย

Z_0 คือ Characteritic Impedance ของท่อ เทอมของความดัน และความเร็ว

Z_b คือ Characteritic Impedance ของ Resonator ที่ทางเข้า

คั้งนั้นสมการที่ 2 จะได้

$$U_i S_0 - U_r S_0 = U_b S_b + U_t S_0 \quad (2.73)$$

$$\frac{1}{Z_0} (P_i - P_r) = \frac{1}{Z_b} P_b + \frac{1}{Z_0} P_t = \left(\frac{P_i - P_r}{Z_0} \right) = \left[\frac{P_b}{Z_b} + \frac{P_t}{Z_0} \right] \quad (2.73a)$$

ซึ่ง $P_b = P_t$ จะเขียนสมการใหม่ได้คั้งนี้

สมการ (2.72) X $1/Z_0$ + (2.83a) จะได้

$$\frac{1}{Z_0} P_i + \frac{1}{Z_0} P_r = \frac{1}{Z_0} P_t \quad (2.74)$$

$$\frac{1}{Z} P_i + \frac{1}{Z_0} P_r = \left[\frac{1}{Z_0} + \frac{1}{Z_0} \right] P_t$$

เอกสารนี้เป็นเอกสารที่สงวนไว้สำหรับการใช้งานเพื่อการศึกษาเท่านั้น ไม่อนุญาตให้นำไปใช้ประโยชน์ด้านการค้า

ไม่ว่ากรณีใดๆ ทั้งสิ้น $\frac{1}{Z} (P_i - P_r) = \left(\frac{1}{Z_0} + \frac{1}{Z_0} \right) P_t$ จะต้องอ้างอิงถึงเจ้าของเอกสารทุกครั้งที่มีการนำไปใช้

$$\frac{2}{Z_0} P_i = \left[\frac{1}{Z_b} + \frac{2}{Z_0} \right] P_t$$

$$\frac{P_i}{P_t} = \frac{Z_0}{2} \left\{ \frac{1}{Z_b} + \frac{2}{Z_0} \right\} = 1 + \frac{Z_0}{2S_b} = 1 + \left\{ \frac{\rho c}{S_0} \right\} \left\{ \frac{\rho c}{2S_b} \right\} \quad (2.75)$$

$$= 1 + \frac{Z_0}{2(R_b + iX_b)} = 1 + \frac{Z_0(R_b - iX_b)}{2(R_b^2 + X_b^2)}$$

$$\left\{ 1 + \frac{Z_0 R_b}{2(R_b^2 + iX_b^2)} \right\} + i \left\{ \frac{-Z_0 X_b}{2(R_b^2 + X_b^2)} \right\}$$

$$TL = 10 \log \left| \frac{P_i}{P_t} \right|^2 = 10 \log \left| 1 + \left\{ \frac{Z_0 R_b}{2(R_b^2 + iX_b^2)} \right\} + i \left\{ \frac{-Z_0 X_b}{2(R_b^2 + X_b^2)} \right\} \right|^2 \quad (2.76)$$

$$= 10 \log \frac{4(R_b^2 + X_b^2) + 4(R_b^2 + X_b^2)Z_0 R_b + Z_0^2 R_b^2 + Z_0^2 X_b^2}{4(R_b^2 + X_b^2)}$$

$$= 10 \log \frac{4(R_b^2 + X_b^2) + 4Z_0 R_b + Z_0^2}{4(R_b^2 + X_b^2)}$$

$$= 10 \log \frac{(R_b^2 + X_b^2) + Z_0 R_b + (Z_0^2 / 4)}{R_b^2 + X_b^2}$$

$$= 10 \log \left(\frac{R_b + Z_0/2}{R_b^2 + X_b^2} \right)^2 + X_b^2$$

$$= 10 \log \left(\frac{(R_b + Z_0/2)^2 + X_b^2}{R_b^2 + X_b^2} \right)$$

เอกสารนี้เป็นเอกสารที่สงวนไว้สำหรับการใช้งานเพื่อการศึกษาเท่านั้น ไม่อนุญาตให้นำไปใช้ประโยชน์ด้านการค้า

$$TL = 10 \log \left(1 + \frac{Z_0^2}{4X_b^2} \right) \quad (2.77)$$

ห้ามมิให้คัดแปลงเนื้อหา และต้องอ้างอิงถึงเจ้าของเอกสารทุกครั้งที่มีการนำไปใช้

แทนค่า X_b และ Z_0 ลงในสมการ 2.77 จะอยู่ในรูป

$$\frac{X_b}{Z_0} = \cot^2 kl = \frac{1}{\tan^2 kl} \quad (2.78)$$

และ Resonance Frequency คือ

$$fr = \frac{c}{4lb'} \quad (2.79)$$

และสำหรับ with flow

$$TL = 10 \log \left[\frac{\left\{ M(1+M)^2 + \left(\frac{X_b}{Z_0} \right)^2 \right\}^2 - \frac{(1-M)^4 \left(\frac{X_b}{Z_0} \right)^2}{4}}{\left\{ 4M^2 + \left[\frac{X_b}{Z_0} \right]^2 \right\}^2} \right] \quad (2.80)$$

โดยที่ M คือ Mach Number

2.3 Coefficient β

Resonance ในท่อ และแนวคิดของ Acoustic Impedance สามารถนำมาใช้ในการหาพฤติกรรมของท่อที่มีความยาวแน่นอน พิจารณาท่อที่มีรูปแบบพื้นที่หน้าตัดแบบเดียว $S = \pi a^2$ และมีความยาว L สมมติว่า Acoustic Impedance เป็น Z_0 ที่ $X=0$ และ Z_L ที่ $X=L$ ดังนั้นจาก สมการ 2.62

$$Z_L = \frac{\rho_0 c}{S} \left(\frac{A e^{jkl} + B e^{ijkl}}{A e^{-jkl} - B e} \right) \quad (2.81)$$

และ

$$Z_0 = \frac{\rho_0 c}{S} \left[\frac{A+B}{A-B} \right]$$

เอกสารนี้เป็นเอกสารที่สงวนไว้สำหรับการใช้งานเพื่อการศึกษาเท่านั้น ไม่อนุญาตให้นำไปใช้ประโยชน์ด้านการค้า
ไม่ว่ากรณีใดๆทั้งนี้ ผู้จัดทำขอสงวนสิทธิ์ในข้อมูลและข้อมูลอ้างอิงของเอกสารทุกครั้งที่มีการนำไปใช้
รวมสองสมการเข้าด้วยกันเพื่อกำจัด A และ B จะได้

$$Z_0 = \frac{\rho_0 c Z_L + j(\rho_0 c / S) \tan kL}{S (\rho_0 c / S) + jZ_L \tan kL} \quad (2.82)$$

ถ้าพิจารณา Impedance Z_L ซึ่งท่อกมีความยาว L และ Wavelength Constant k Resonant frequency ของท่อกที่มีปลายปิดก่อน แล้วจากนั้นก็พิจารณาท่อกที่มีปลายเปิด ก็จะได้เงื่อนไขสำหรับ Resonance ในท่อก

2.3.1 ปลายปิด

$$Z_L = \infty$$

และ

$$Z_0 = \frac{\rho_0 c}{S} \left(\frac{1}{\alpha + j\beta} \right)$$

$$Z_0 = \frac{\rho_0 c}{S} \frac{\alpha + j(\tan kl + \beta)}{(1 - \beta \tan kl) + j\alpha + \tan kl} \quad (2.83)$$

พิจารณา $X=0$ จะได้

$$\beta \tan 2kl + (\beta^2 + \alpha^2 - 1) \tan kl - \beta = 0 \quad (2.84)$$

ในกรณี low frequencies α และ β จะค่าน้อยๆ ดังนั้นจากสมการที่ 2.84 สามารถเขียนใหม่ได้

$$\tan kl = -\beta$$

2.3.2 ปลายเปิด

จากสมการ 2.83

เอกสารนี้เป็นเอกสารที่สงวนไว้สำหรับใช้ภายในสถาบันการศึกษาเท่านั้น ไม่อนุญาตให้นำไปใช้ประโยชน์ด้านการค้า
 $Z_0 = \frac{\rho_0 c}{S} \frac{1}{\alpha + j\beta}$
 ไม่ว่าจะกรณีใดๆทั้งสิ้น อีกทั้งห้ามมิให้ตีพิมพ์เผยแพร่โดยไม่ได้รับอนุญาตจากเจ้าของเอกสารทุกครั้งที่มีการนำไปใช้
 และ

$$Z_0 = \frac{\rho_0 c}{S} \left(\frac{\alpha + j(\tan kl + \beta)}{(1 - \beta \tan kl) + j\alpha \tan} \right) \quad (2.85)$$

เมื่อ ท่อนำเสียงมีความยาว $X=1$ จะได้

$$\beta \approx 8ka / 3\pi \quad (2.86)$$

และเงื่อนไข $\tan kl = -8ka / 3\pi$

$$\tan (n\pi - kl) = \frac{8ka}{3\pi} \approx \tan \left[\frac{8ka}{3\pi} \right]$$

เมื่อ n คือ Integer ได้จาก

$$n\pi - kl = \frac{8ka}{3\pi} \quad (2.87)$$

และกำหนด Resonance frequency ให้ $n = 1$ จะได้

$$f = \frac{c}{2(1 + 8a/3\pi)} \quad (2.88)$$

เอกสารนี้เป็นเอกสารที่สงวนไว้สำหรับการใช้งานเพื่อการศึกษาเท่านั้น ไม่อนุญาตให้นำไปใช้ประโยชน์ด้านการค้า
ไม่ว่ากรณีใดๆทั้งสิ้น อีกทั้งห้ามมิให้คัดแปลงเนื้อหา และต้องอ้างอิงถึงเจ้าของเอกสารทุกครั้งที่มีการนำไปใช้

บทที่ 3

การสร้างอุปกรณ์ที่ใช้ในการทดลอง

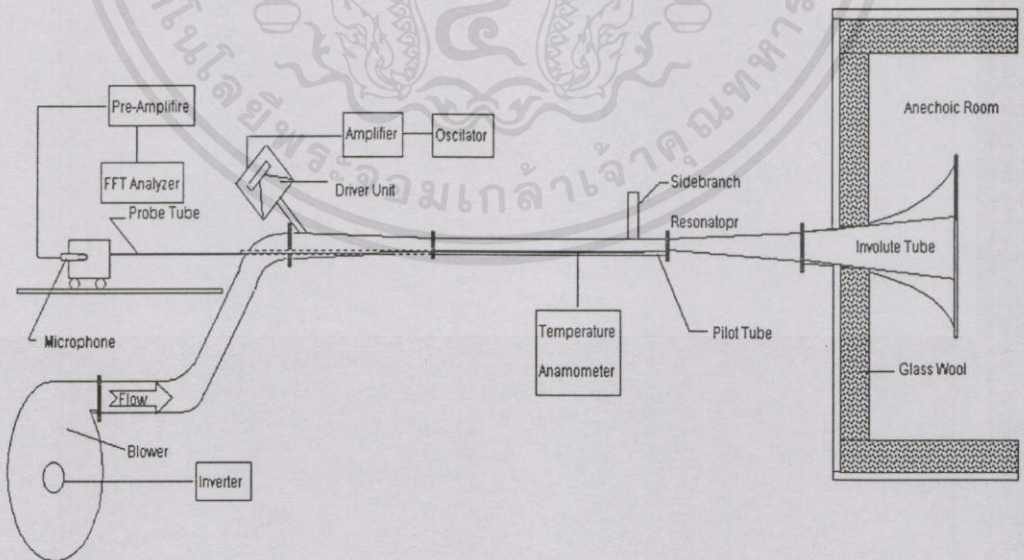
3.1 การสร้างอุปกรณ์ประกอบในการทดลอง

อ้างอิงจากทฤษฎี Standing - Wave (หรือ Impedance) ในท่อ ซึ่งประกอบด้วยท่อกลม และท่อสี่เหลี่ยม ประกอบด้วย Loudspeaker หรือ Driver Unit ที่ติดตั้งตำแหน่งส่วนปลายของระบบท่อ และ Probe - tube ที่เปรียบเสมือน microphone เล็กๆ สอดผ่านเข้าไปตลอดความยาวของระบบท่อ ดังแสดงในรูปที่ 3.1 และส่วนปลายทั้ง 2 ด้านของระบบท่อจะบุอัดด้วย acoustical material คือ Glass wool เพื่อใช้คุณสมบัติในการดูดกลืนคลื่นเสียง (Absorption) และป้องกันเสียงสะท้อนกลับ (Reflection) ในท่อกลมที่มีเส้นผ่านศูนย์กลาง $(D) = 0.052 \text{ m}$ และ ท่อสี่เหลี่ยมขนาด $W \times L = 0.046 \text{ m} \times 0.046 \text{ m}$ ซึ่งมีความยาว 8 m

3.2 การทดลองแบ่งออกเป็น 2 การทดลอง

3.2.1 การทดลองแบบ Without flow

3.2.2 การทดลองแบบ With flow ตามทฤษฎี Standing - Wave



เอกสารนี้เป็นเอกสารที่สงวนไว้สำหรับการใช้งานเพื่อการศึกษาเท่านั้น ไม่อนุญาตให้นำไปใช้ประโยชน์ด้านการค้าไม่ว่ากรณีใดๆทั้งสิ้น อีกทั้งห้ามมิให้คัดแปลงเนื้อหา และต้องอ้างอิงถึงเจ้าของเอกสารทุกครั้งที่มีการนำไปใช้

รูปที่ 3.1 แสดงอุปกรณ์สำหรับการทดลองแบบ Without flow และแบบ With flow

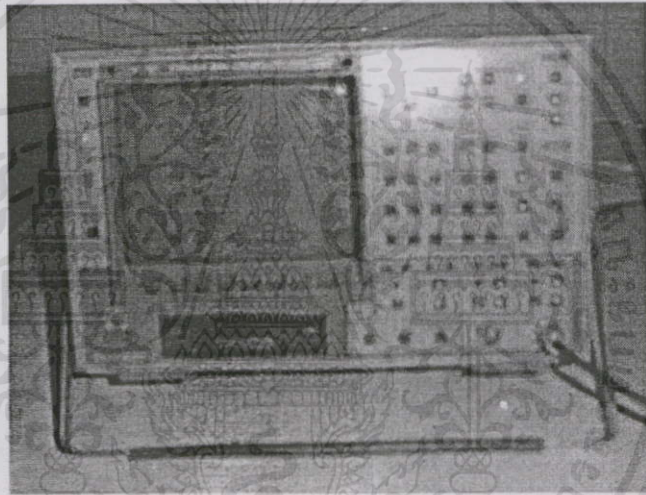
3.3 อุปกรณ์ และเครื่องมือวัดในการทดลอง

3.3.1 ท่อนำเสียงแบบกลมเส้นผ่านศูนย์กลาง 0.052 เมตร

3.3.2 ท่อนำเสียงแบบสี่เหลี่ยมขนาด 0.046 เมตร x 0.046 เมตร

3.3.3 FFT Analyzer (Fast Fourier Transform Analyzer)

เครื่องมือวัดแปลงสัญญาณความดังของเสียงให้มีหน่วยเป็นเดซิเบล (dB) ซึ่ง FFT สามารถวัดค่าความถี่ที่ต้องการ ซึ่งจะแสดงตำแหน่งของคลื่นเสียงที่เกิด Peak ตำแหน่งนั้นๆ และอ่านค่า Output จาก FFT



รูปที่ 3.2 Digital real-time frequency analyzer (From Bruel & Kjaer Instruments.)

3.3.4 Amplifier

ตัวขยายสัญญาณความถี่คลื่นเสียง

3.3.5 Driver Unit

เป็นแหล่งกำเนิดเสียง ซึ่งส่งคลื่นเสียงผ่านเข้าไปในระบบท่อนำเสียง

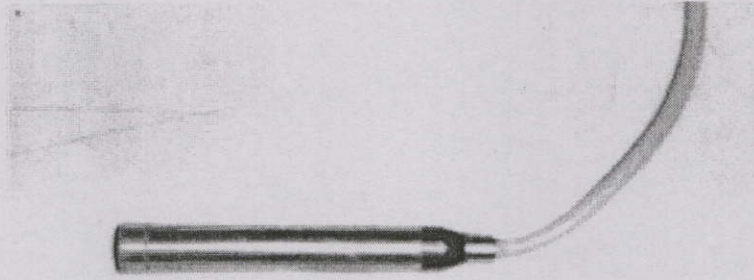
3.3.6 Probe Tube

ท่อนำเสียงจะถูกสอดอยู่ในท่อนำเสียงและวัดสัญญาณเสียงโดยผ่านมายัง

Microphone

เอกสารนี้เป็นเอกสารที่สงวนไว้สำหรับการใช้งานเพื่อการศึกษาเท่านั้น ไม่อนุญาตให้นำไปใช้ประโยชน์ด้านการค้า

ไม่ว่ากรณีใดๆ ทั้งสิ้น ขอสงวนสิทธิ์ในให้คำปรึกษาและต้องอ้างอิงถึงเจ้าของเอกสารทุกครั้งที่มีการนำไปใช้
ใช้ในการวัดสัญญาณเสียงที่เกิดขึ้นสามารถวัดความถี่สูงได้ดี ซึ่งจะมีขนาดเล็ก



รูปที่ 3.3 Microphone (From Bruel & Kjaer Instruments.)

3.3.8 Pre-Amplifier

ตัวขยายสัญญาณเสียงที่รับมาจาก microphone

3.3.9 Oscillator

แหล่งกำเนิดความถี่ของคลื่นเสียงสูง และเสียงต่ำ โดยการปรับค่าความถี่



รูปที่ 3.4 แสดง Oscillator

เอกสารนี้เป็นเอกสารที่สงวนไว้สำหรับการใช้งานเพื่อการศึกษาเท่านั้น ไม่อนุญาตให้นำไปใช้ประโยชน์ด้านการค้า

ไม่ว่ากรณี 3.3.10 คือ Blower จะมีให้คิดแปลงเนื้อหา และต้องอ้างอิงถึงเจ้าของเอกสารทุกครั้งที่มีการนำไปใช้

ต้นกำเนิดของความถี่ลมสำหรับอุปกรณ์ในระบบท่อแบบที่มีความเร็วลม

3.3.11 Inverter

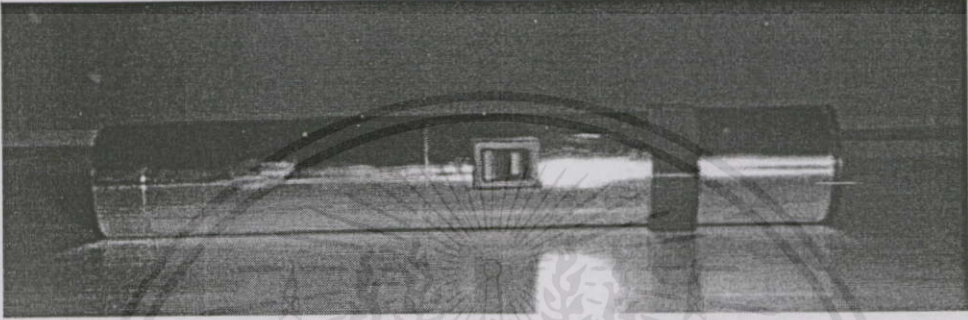
อุปกรณ์สำหรับปรับค่าความเร็วลม

3.3.12 Anemometer

เครื่องมือวัดความเร็วลมในระบบท่อ

3.3.13 Calibrator

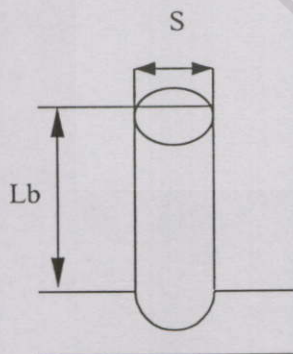
เครื่องมือสำหรับ Calibrated microphone เปรียบเทียบกับ FFT Analysis ให้สามารถอ่านค่าได้อย่างถูกต้อง ซึ่งในการ Calibrated จะต้องดูจากคู่มือผู้ผลิต



รูปที่ 3.5 Acoustic Calibrator (From Bruel & Kjaer Instruments.)

3.4 Silencer แบบ Sidebranch Resonator

Sidebranch Resonator เป็นอุปกรณ์สำหรับลดเสียงให้น้อยลงในระบบท่อ ซึ่งมีลักษณะรูปทรงกระบอก และมีท่อขนาดเส้นผ่านศูนย์กลางเล็กๆ เชื่อมต่อระหว่างท่อ กับ Resonator ถูกเรียกว่า Sidebranch Resonator สามารถปรับปริมาตรได้เพื่อความสะดวกไม่ต้องเปลี่ยน Sidebranch Resonator บ่อยๆ และศึกษาพฤติกรรมต่างๆ ของปริมาตรได้



S คือ เส้นผ่านศูนย์กลางของ Sidebranch Resonator

Lb คือ ความยาวของ Sidebranch Resonator

รูปที่ 3.6 แสดงรูป Sidebranch Resonator

เอกสารนี้เป็นเอกสารที่สงวนไว้สำหรับการใช้งานเพื่อการศึกษาเท่านั้น ไม่อนุญาตให้นำไปใช้ประโยชน์ด้านการค้า ไม่ว่าจะกรณีใดๆ ทั้งสิ้น อีกทั้งห้ามมิให้คัดแปลงเนื้อหา และต้องอ้างอิงถึงเจ้าของเอกสารทุกครั้งที่มีการนำไปใช้

บทที่ 4

ผลการทดลอง และการวิเคราะห์ข้อมูล

4.1 วิธีการทดลอง

4.1.1 การทดลองโดยใช้ Side-branch Resonator กรณีไม่มีความเร็วลม

4.1.1.1 ติดตั้ง Side-branch Resonator เข้ากับผนังท่อกลม และท่อสี่เหลี่ยม

4.1.1.2 ทำการ Set อุปกรณ์เครื่องมือวัดความดันเสียง

4.1.1.3 เลื่อน Microphone เพื่อหาระยะที่มีระดับความดันเสียงมากที่สุด

การวัดก่อนผ่าน Side-branch Resonator และหลังผ่าน Side-branch Resonator

4.1.1.4 เปลี่ยนค่าความถี่คลื่นที่ละน้อย และทำการวัดระดับความดันเสียงตามข้อที่

4.1.13 เพื่อหาว่า Side-branch Resonator สามารถลดเสียงได้มากที่สุดในช่วงใด

4.1.1.5 ทำการเปลี่ยน Side-branch Resonator ขนาดต่างๆ และทำการวัดตามข้อ 1

ถึง 4

4.1.2 การทดลองโดยใช้ Side-branch Resonator กรณีมีความเร็วลม

4.1.2.1 ติดตั้ง Side-branch Resonator เข้ากับผนังท่อกลม และท่อสี่เหลี่ยม

4.1.2.2 เปิด Blower เพื่อให้ความเร็วลมไหลเข้าระบบของท่อที่ทำทดลอง

4.1.2.3 ปรับอัตราความเร็วลมที่ Inventor โดยอ่านค่าความเร็วลม Anemometer

4.1.2.4 ทำการ Set อุปกรณ์เครื่องมือวัดความดันเสียง

4.1.2.5 เลื่อน Microphone เพื่อหาระยะที่มีระดับความดันเสียงมากที่สุด โดยการวัด

ก่อนผ่าน Side-branch Resonator และหลังผ่าน Side-branch Resonator

4.1.2.6 เปลี่ยนค่าความถี่คลื่นที่ละน้อย และทำการวัดระดับความดันเสียงตามข้อที่

4.1.2.5 เพื่อหาว่า Side-branch Resonator สามารถลดเสียงได้มากที่สุดในช่วงใด

4.1.2.7 ทำการเปลี่ยน Side-branch Resonator ขนาดต่างๆ และทำการวัดตามข้อ 1

ถึง 6

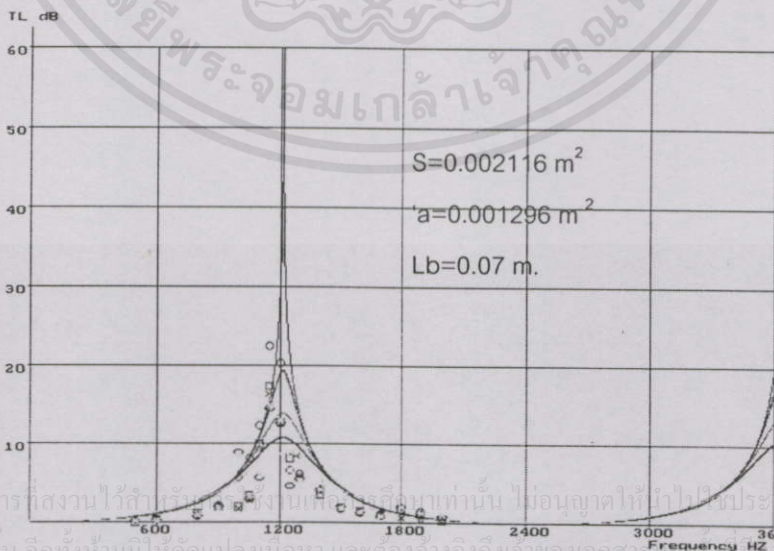
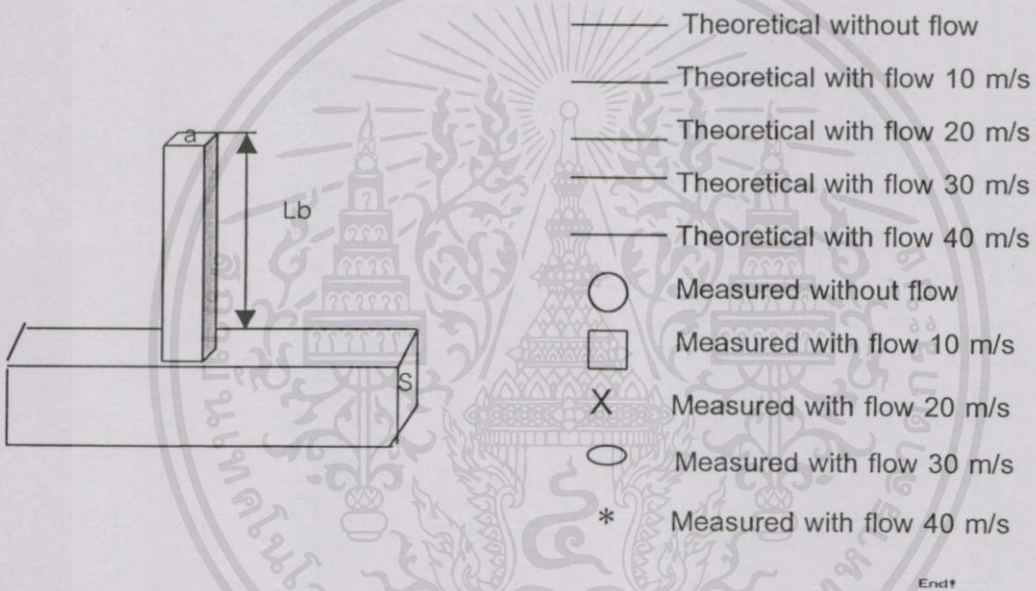
4.2 การบันทึกผลการทดลอง

เอกสารนี้เป็นเอกสารสงวนไว้สำหรับความลับของเนื้อหาและต้องอ้างอิงถึงเจ้าของเนื้อหาทุกครั้งที่มีการนำไปใช้
เมื่อทำการวัดระดับความดันเสียงมากที่สุด โดยการวัด ก่อนผ่าน Side-branch Resonator และ หลังผ่าน Side-branch Resonator และบันทึกผลการทดลอง จากนั้นก็ทำการปรับเปลี่ยน ความถี่ และทำการวัดค่าดังกล่าวข้างต้น เมื่อบันทึกผลการทดลองแล้วนำผลการทดลองที่ได้ทำการปรับค่า

ความถูกต้องกับ Davis Curve จากนั้นนำผลที่รับค่าความถูกต้องแล้ว ซึ่งเรียกว่า Transmission Loss มาแสดงผลอยู่ในรูปของกราฟเพื่อสะดวกในการศึกษา

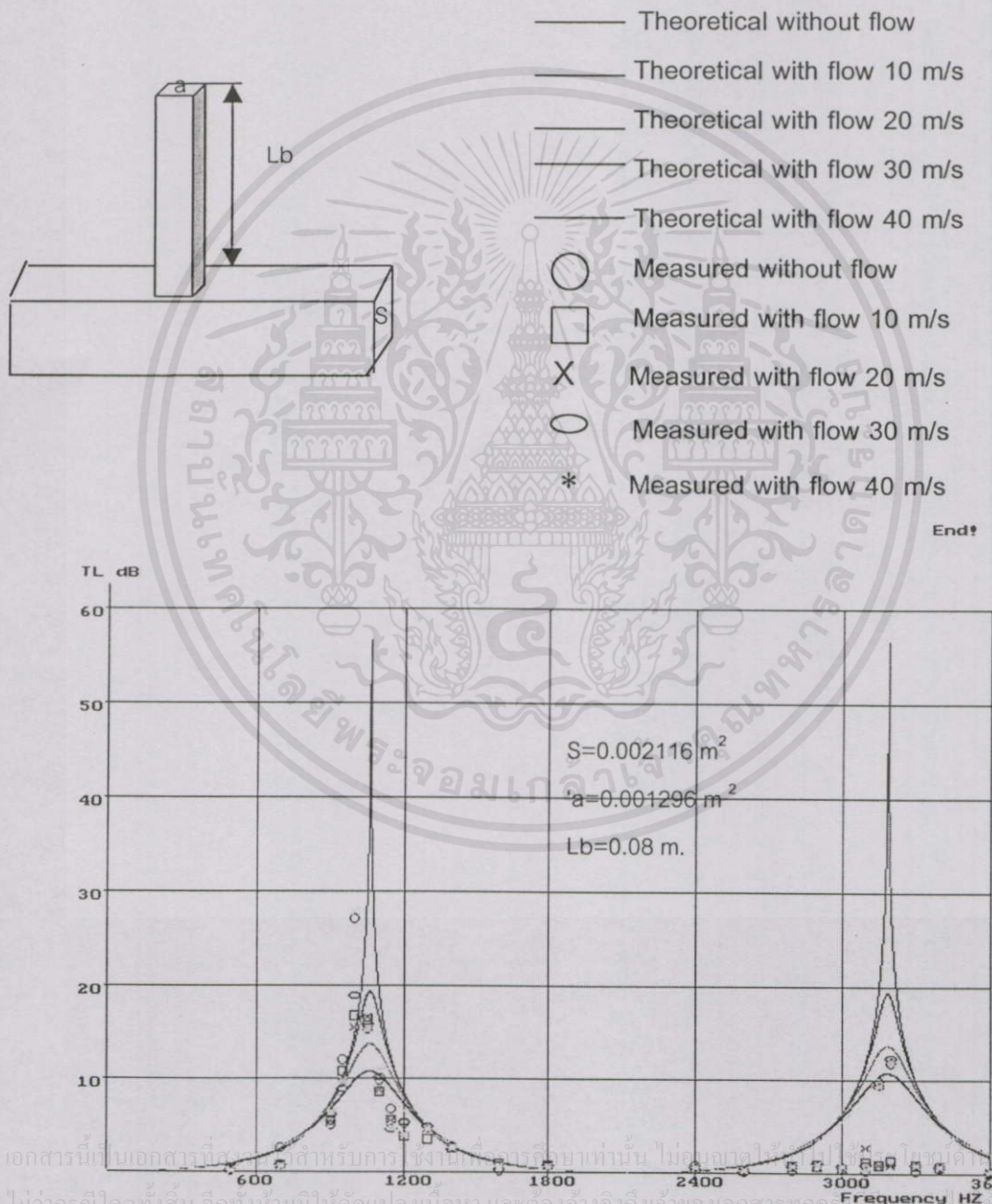
4.3 ผลการทดลอง

จากรูปที่ 4.1 แสดงกราฟผลการทดลอง โดยใช้ Side-branch Resonator 1 ตัว ขนาดพื้นที่หน้าตัด 0.001296 m^2 รูปทรงสี่เหลี่ยม มีความยาว $= 0.07 \text{ m}$ ติดตั้งเข้าผนังท่อแบบสี่เหลี่ยมมีพื้นที่หน้าตัด 0.002116 m^2 จากผลการทดลองสามารถลดเสียงในช่วงความถี่ระหว่าง $300 \sim 2000 \text{ Hz}$ ซึ่งตามทฤษฎี จะเกิดความถี่กำทอน $Fr = 1214 \text{ Hz}$ สำหรับการทดลองไม่มีความเร็วลม และเมื่อมีความเร็วลม $10, 20, 30, 40 \text{ (m/s)}$ Peak Frequency จะเลื่อนไปในย่านความถี่สูงขึ้น ซึ่ง Transmission Loss จะต่ำลง



รูปที่ 4.1 แสดงผลการทดลอง Side-branch Resonator 1 ตัว ขนาดพื้นที่หน้าตัด $a=0.001296 \text{ m}$, มีความยาว $Lb=0.07 \text{ m}$ ชนิดสี่เหลี่ยมต่อกับท่อนำเสียงสี่เหลี่ยมขนาดพื้นที่หน้าตัด $S=0.002116 \text{ m}^2$

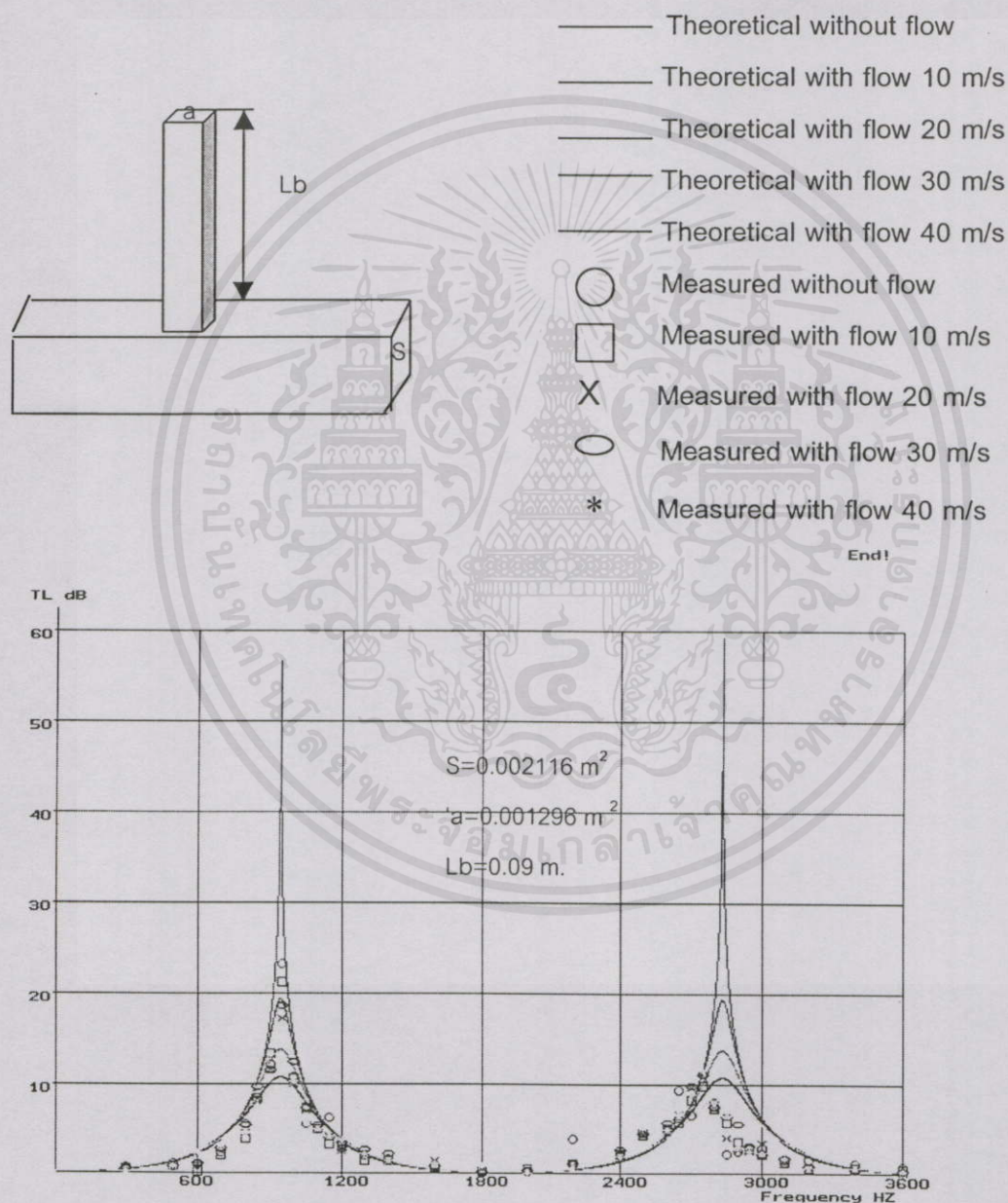
จากรูปที่ 4.2 แสดงกราฟผลการทดลอง โดยใช้ Side-branch Resonator 1 ตัว ขนาดพื้นที่หน้าตัด 0.001296 m^2 รูปทรงสี่เหลี่ยม มีความยาว $= 0.08 \text{ m}$ ติดตั้งเข้าผนังท่อแบบสี่เหลี่ยมมีพื้นที่หน้าตัด 0.002116 m^2 จากผลการทดลองสามารถสังเกตเห็นในช่วงความถี่ระหว่าง $300 \sim 1800 \text{ Hz}$ และ $2400 \sim 3600$ ซึ่งตามทฤษฎีจะเกิดความถี่ก้ำกอน $Fr = 1033, 3187 \text{ Hz}$ สำหรับการทดลองไม่มีความเร็วลม และเมื่อมีความเร็วลม $10, 20, 30, 40 \text{ (m/s)}$ Peak Frequency จะเลื่อนไปในย่านความถี่สูงขึ้น ซึ่ง Transmission Loss จะต่ำลง



เอกสารนี้เป็นเอกสารที่สงวนลิขสิทธิ์สำหรับการใช้งานที่อาจารย์ท่านนั้น ไม่อนุญาติให้เผยแพร่โดยไม่แจ้งการก้ำ
 ไม่ว่ากรณีใดๆทั้งสิ้น อีกทั้งห้ามมิให้คัดแปลงเนื้อหา และต้องอ้างอิงถึงเจ้าของเอกสารทุกครั้งที่มีการเผยแพร่

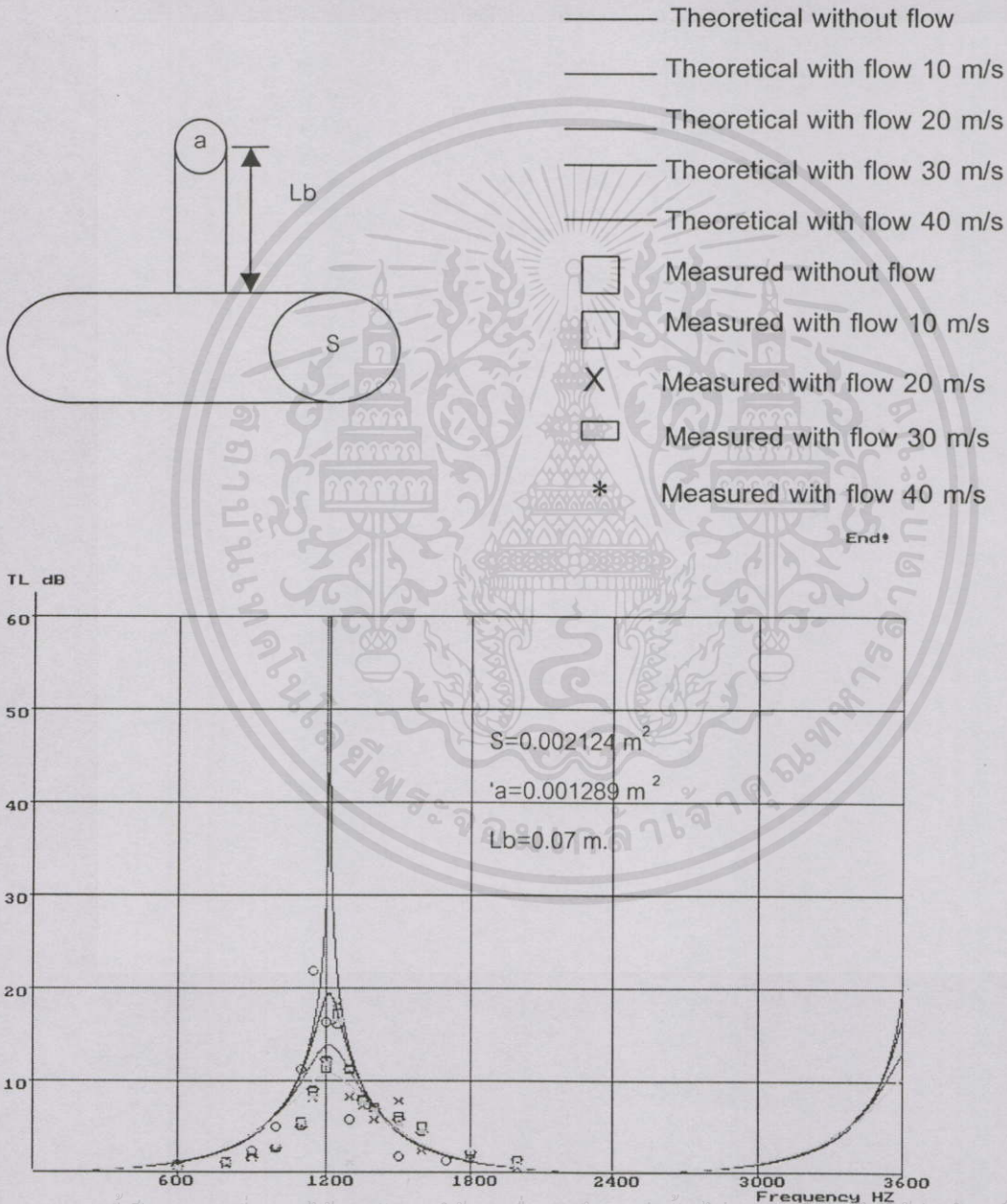
รูปที่ 4.2 แสดงผลการทดลอง Side-branch Resonator 1 ตัว ขนาดพื้นที่หน้าตัด $a=0.001296 \text{ m}^2$ มีความยาว $Lb=0.08 \text{ m}$ ชนิดสี่เหลี่ยมต่อกับท่อนำเสียงสี่เหลี่ยมขนาดพื้นที่หน้าตัด $S=0.002116 \text{ m}^2$

จากรูปที่ 4.3 แสดงกราฟผลการทดลอง โดยใช้ Side-branch Resonator 1 ตัว ขนาดพื้นที่หน้าตัด 0.001296 m^2 รูปทรงสี่เหลี่ยม มีความยาว $= 0.09 \text{ m}$ ติดตั้งเข้าผนังท่อแบบสี่เหลี่ยมที่มีพื้นที่หน้าตัด 0.002116 m^2 จากผลการทดลองสามารถลดเสียงในช่วงความถี่ระหว่าง $300 \sim 1600 \text{ Hz}$ และ $2300 \sim 3400 \text{ Hz}$ ซึ่งตามทฤษฎีจะเกิดความถี่กำทอน $Fr = 1000, 2833 \text{ Hz}$ สำหรับการทดลองไม่มีความเร็วลม และเมื่อมีความเร็วลม $10, 20, 30, 40 \text{ (m/s)}$ Peak Frequency จะเลื่อนไปในย่านความถี่สูงขึ้น ซึ่ง Transmission Loss จะต่ำลง



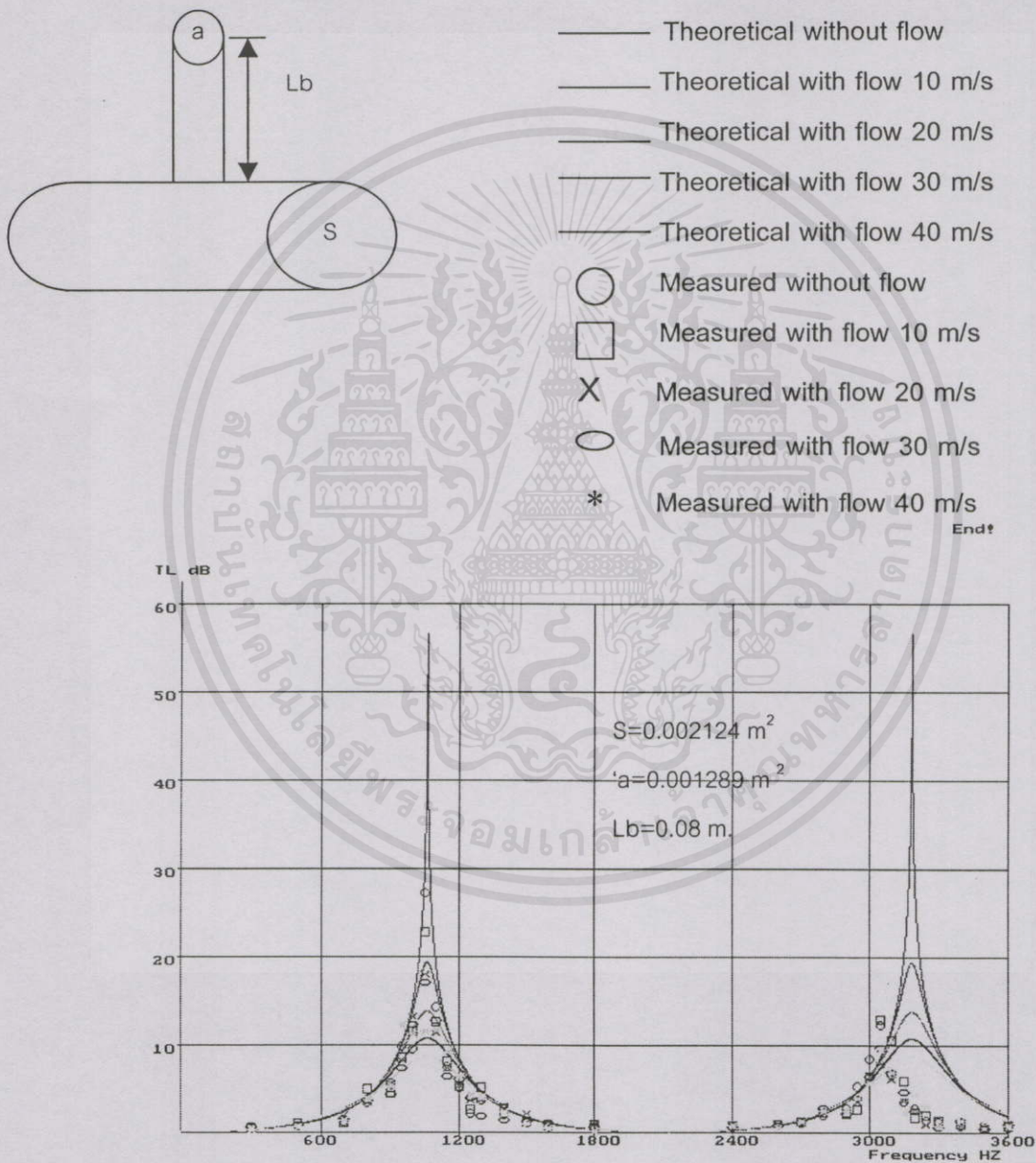
รูปที่ 4.3 แสดงผลการทดลอง Side-branch Resonator 1 ตัว ขนาดพื้นที่หน้าตัด $a=0.001296 \text{ m}^2$ มีความยาว $Lb=0.09 \text{ m}$ ชนิดสี่เหลี่ยมต่อกับท่อนำเสียงสี่เหลี่ยมขนาดพื้นที่หน้าตัด $S=0.002116 \text{ m}^2$

จากรูปที่ 4.4 แสดงกราฟผลการทดลอง โดยใช้ Side-branch Resonator 1 ตัว ขนาดพื้นที่หน้าตัด 0.001289 m^2 ชนิดกลม มีความยาว = 0.07 m ติดตั้งเข้าผนังท่อแบบกลมพื้นที่หน้าตัด 0.002124 m^2 จากผลการทดลองสามารถลดเสียงในช่วงความถี่ระหว่าง $300 \sim 2000 \text{ Hz}$ ซึ่งตามทฤษฎีจะเกิดความถี่กำทอน $Fr = 1214 \text{ Hz}$ สำหรับการทดลองไม่มีความเร็วลม และเมื่อมีความเร็วลม $10, 20, 30, 40 \text{ (m/s)}$ Peak Frequency จะเลื่อนไปในย่านความถี่สูงขึ้น ซึ่ง Transmission Loss จะต่ำลง



รูปที่ 4.4 แสดงผลการทดลอง Side-branch Resonator 1 ตัว ขนาดพื้นที่หน้าตัด $a=0.001289 \text{ m}^2$ มีความยาว $Lb=0.07 \text{ m}$ ชนิดกลมต่อกับท่อนำเสียงชนิดกลมขนาดพื้นที่หน้าตัด $S=0.002124 \text{ m}^2$

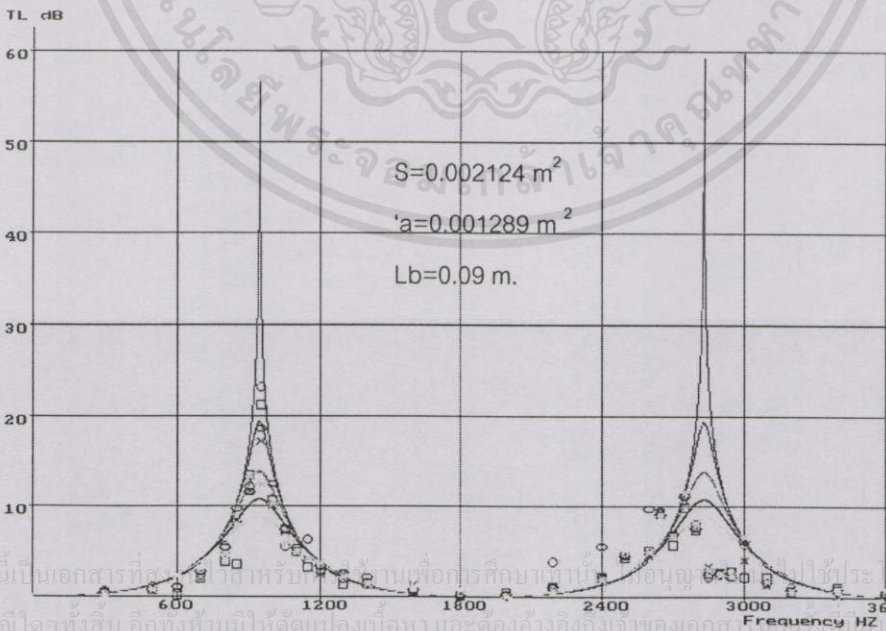
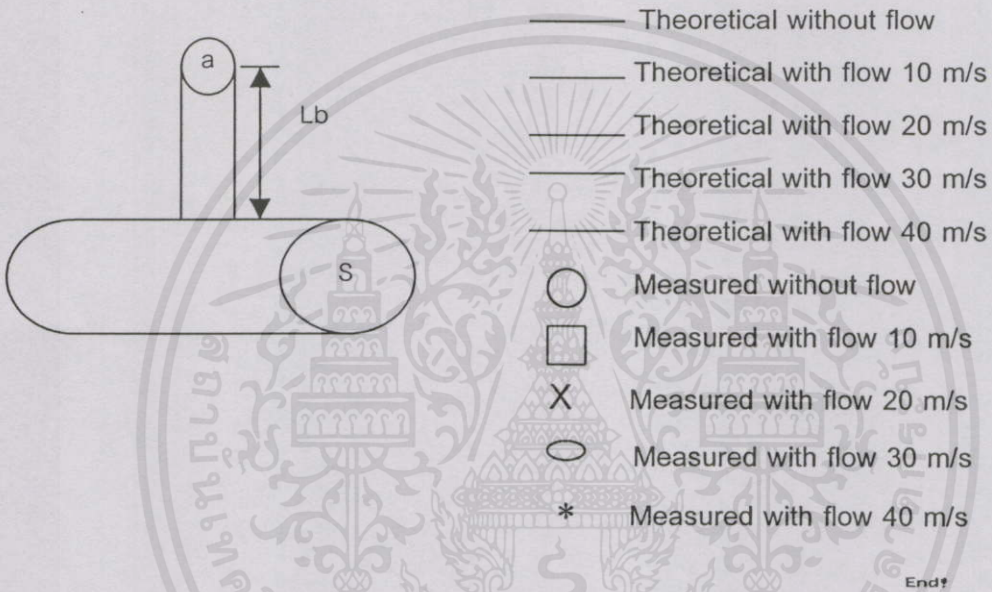
จากรูปที่ 4.5 แสดงกราฟผลการทดลอง โดยใช้ Side-branch Resonator 1 ตัว ขนาดพื้นที่หน้าตัด 0.001289 m^2 ชนิดกลม มีความยาว = 0.08 m ติดตั้งเข้ากับท่อนำเสียงชนิดกลมมีพื้นที่หน้าตัด 0.002124 m^2 จากผลการทดลองสามารถลดเสียงในช่วงความถี่ระหว่าง $300 \sim 1800 \text{ Hz}$ และ $2500 \sim 3600$ ซึ่งตามทฤษฎีจะเกิดความถี่กำทอน $Fr = 1033, 3187 \text{ Hz}$ สำหรับการทดลองไม่มีความเร็วลม และเมื่อมีความเร็วลม $10, 20, 30, 40 \text{ (m/s)}$ Peak Frequency จะเลื่อนไปในย่านความถี่สูงขึ้น ซึ่ง Transmission Loss จะต่ำลง



เอกสารนี้เป็นเอกสารที่สงวนไว้สำหรับการใช้งานเพื่อการศึกษาเท่านั้น ไม่อนุญาตให้นำไปใช้ประโยชน์ด้านการค้า

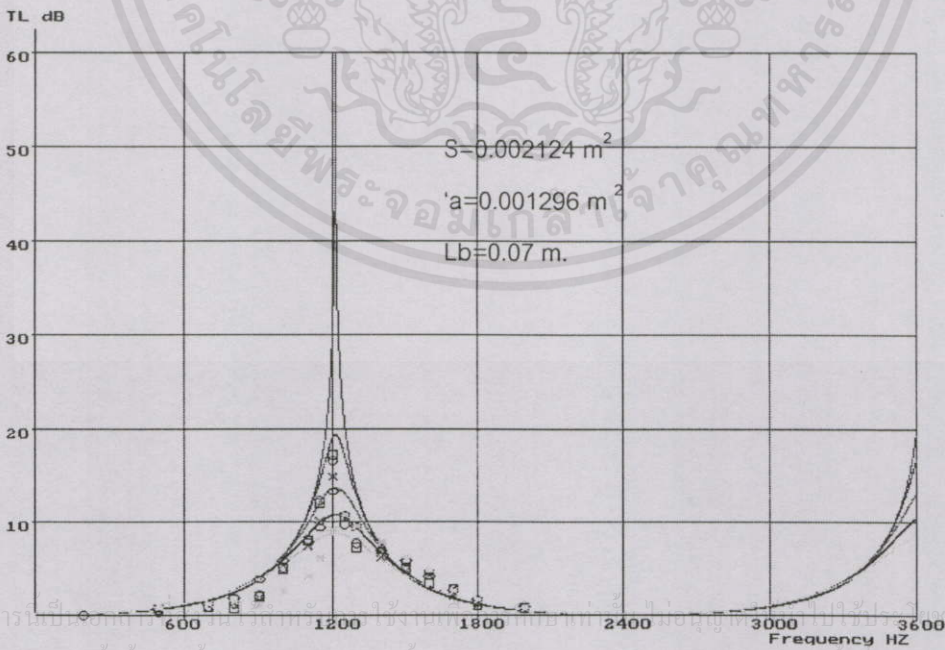
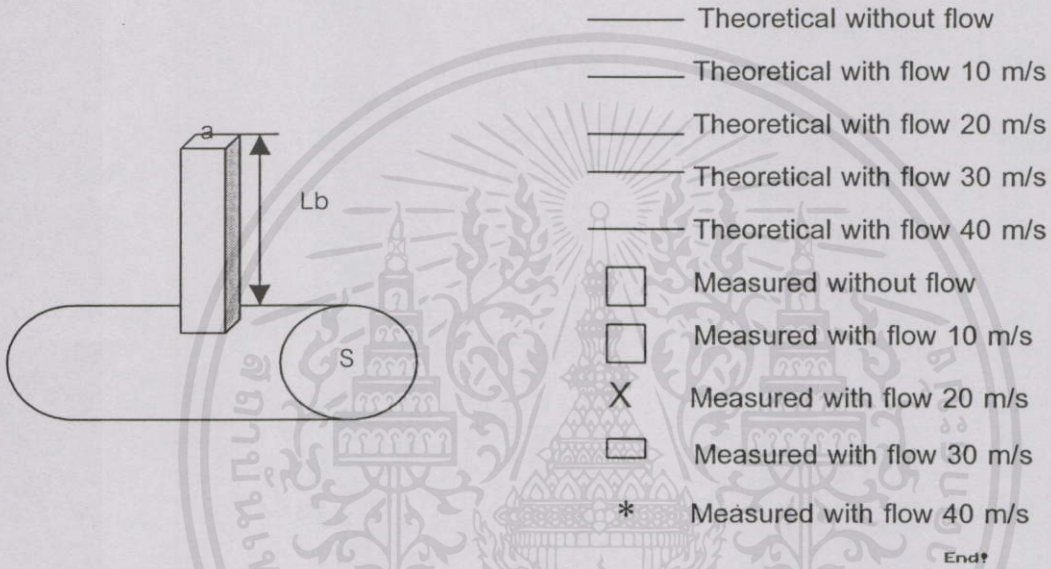
รูปที่ 4.5 แสดงผลการทดลอง Sidebranch Resonator 1 ตัว ขนาดพื้นที่หน้าตัด $a=0.001289 \text{ m}^2$ มีความยาว $Lb=0.08 \text{ m}$ ชนิดกลมต่อกับท่อนำเสียงชนิดกลมขนาดพื้นที่หน้าตัด $S=0.002124 \text{ m}^2$

จากรูปที่ 4.6 แสดงกราฟผลการทดลอง โดยใช้ Side-branch Resonator 1 ตัว ขนาดพื้นที่หน้าตัด 0.001289 m^2 ชนิดกลม มีความยาว $= 0.09 \text{ m}$ ติดตั้งเข้าผนังท่อแบบกลมมีพื้นที่หน้าตัด 0.002124 m^2 จากผลการทดลองสามารถลดเสียงในช่วงความถี่ระหว่าง $300 \sim 1600 \text{ Hz}$ และ $2300 \sim 3400 \text{ Hz}$ ซึ่งตามทฤษฎีจะเกิดความถี่กำทอน $Fr = 1000, 2833 \text{ Hz}$ สำหรับการทดลองไม่มีความเร็วลม และเมื่อมีความเร็วลม $10, 20, 30, 40 \text{ (m/s)}$ Peak Frequency จะเลื่อนไปในย่านความถี่สูงขึ้น ซึ่ง Transmission Loss จะต่ำลง



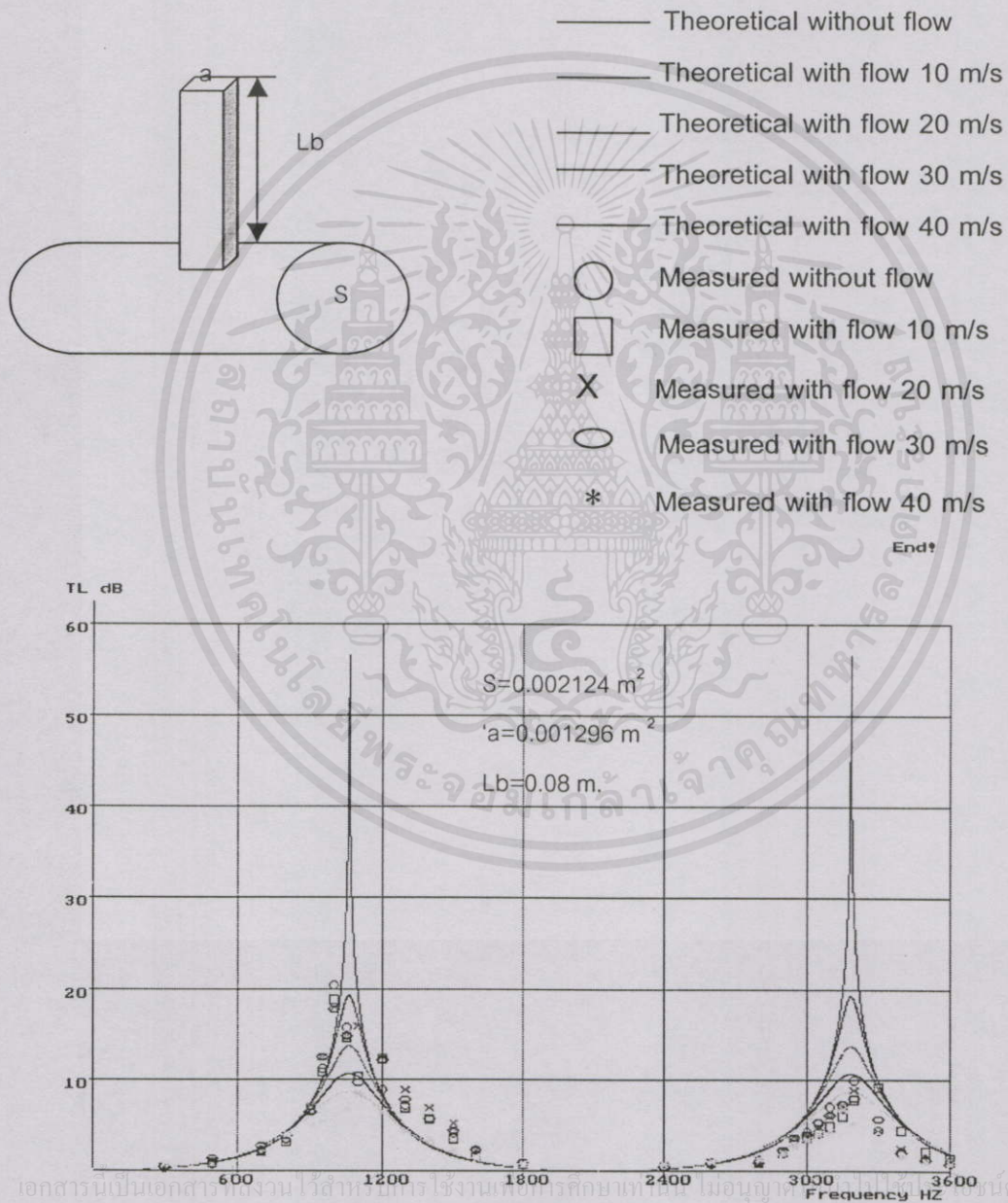
รูปที่ 4.6 แสดงผลการทดลอง Side-branch Resonator 1 ตัว ขนาดพื้นที่หน้าตัด $a=0.001296 \text{ m}^2$ มีความยาว $Lb=0.09 \text{ m}$ ชนิดกลมต่อกับท่อนำเสียงชนิดกลมขนาดพื้นที่หน้าตัด $S=0.002116 \text{ m}^2$

จากรูปที่ 4.7 แสดงกราฟผลการทดลอง โดยใช้ Side-branch Resonator 1 ตัว ขนาดพื้นที่หน้าตัด 0.001296 m^2 ชนิดสี่เหลี่ยม มีความยาว $= 0.07 \text{ m}$ ติดตั้งเข้าผนังท่อแบบกลมพื้นที่หน้าตัด 0.002124 m^2 จากผลการทดลองสามารถลดเสียงในช่วงความถี่ระหว่าง $300 \sim 2000 \text{ Hz}$ ซึ่งตามทฤษฎีจะเกิดความถี่กำทอน $Fr = 1214 \text{ Hz}$ สำหรับการทดลองไม่มีความเร็วลม และเมื่อมีความเร็วลม $10, 20, 30, 40 \text{ (m/s)}$ Peak Frequency จะเลื่อนไปในย่านความถี่สูงขึ้น ซึ่ง Transmission Loss จะต่ำลง



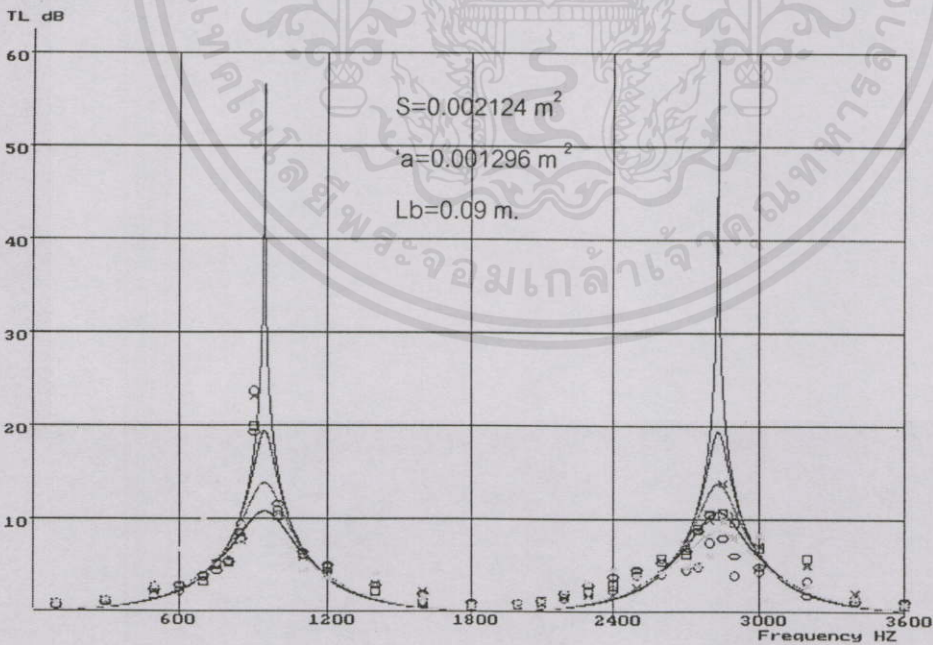
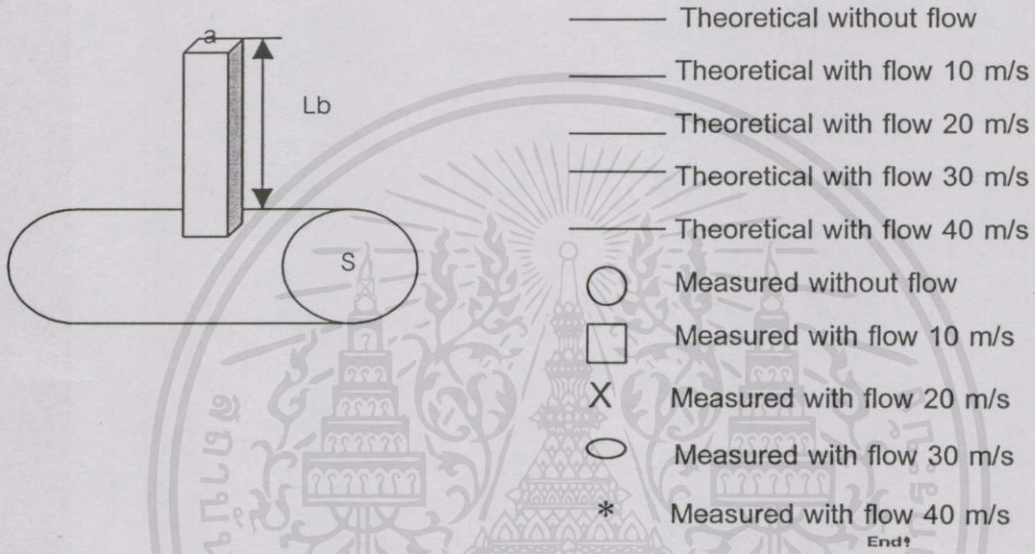
รูปที่ 4.7 แสดงผลการทดลอง Side-branch Resonator 1 ตัว ขนาดพื้นที่หน้าตัด $a=0.001296 \text{ m}^2$ มีความยาว $L_b=0.07 \text{ m}$ ชนิดสี่เหลี่ยมต่อกับท่อนำเสียงกลมขนาดพื้นที่หน้าตัด $S=0.002124 \text{ m}^2$

จากรูปที่ 4.8 แสดงกราฟผลการทดลอง โดยใช้ Side-branch Resonator 1 ตัว ขนาดพื้นที่หน้าตัด 0.001296 m^2 ชนิดสี่เหลี่ยม มีความยาว $= 0.08 \text{ m}$ ติดตั้งเข้าผนังท่อแบบกลมมีพื้นที่หน้าตัด 0.002124 m^2 จากผลการทดลองสามารถลดเสียงในช่วงความถี่ระหว่าง $300 \sim 1800 \text{ Hz}$ และ $2500 \sim 3600$ ซึ่งตามทฤษฎีจะเกิดความถี่กำทอน $Fr = 1033, 3187 \text{ Hz}$ สำหรับการทดลองไม่มีความเร็วลม และเมื่อมีความเร็วลม $10, 20, 30, 40 \text{ (m/s)}$ Peak Frequency จะเลื่อนไปในย่านความถี่สูงขึ้น ซึ่ง Transmission Loss จะต่ำลง



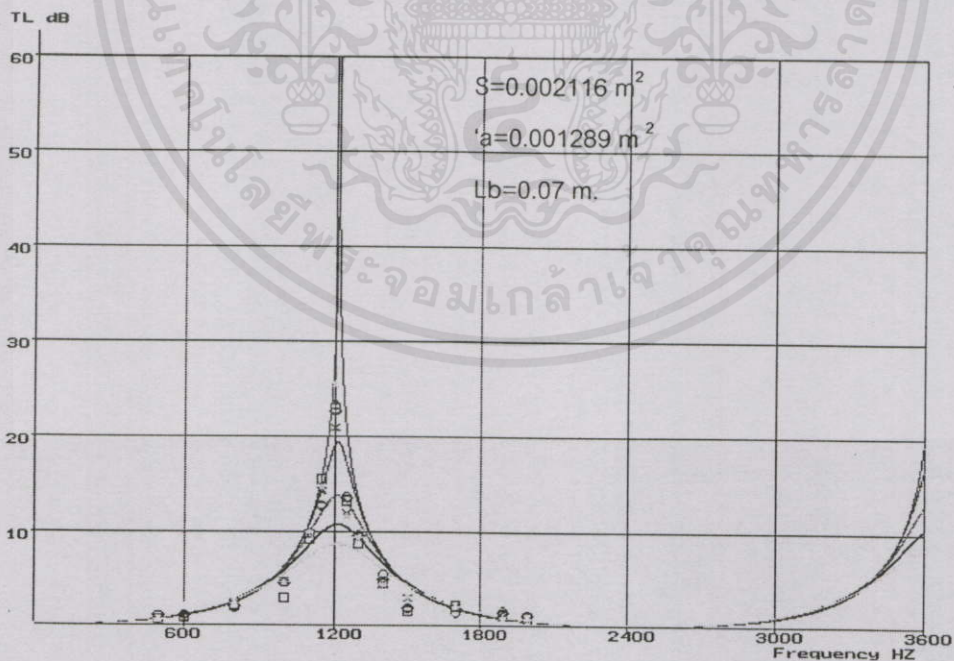
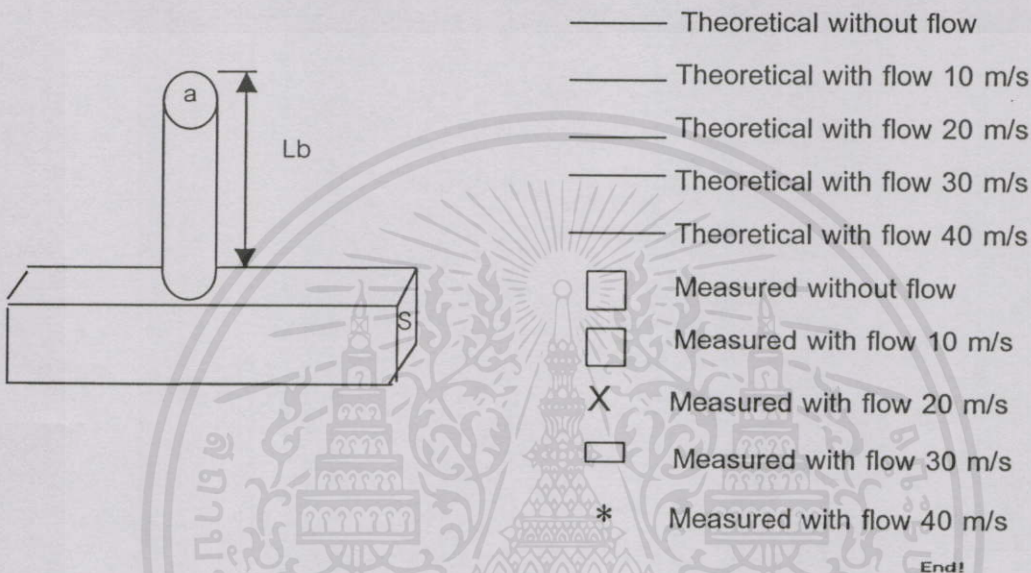
รูปที่ 4.8 แสดงผลการทดลอง Side-branch Resonator 1 ตัว ขนาดพื้นที่หน้าตัด $a=0.001289 \text{ m}^2$ มีความยาว $Lb=0.08 \text{ m}$ ชนิดสี่เหลี่ยมต่อกับท่อนำเสียงกลมขนาดพื้นที่หน้าตัด $S=0.002124 \text{ m}^2$

จากรูปที่ 4.9 แสดงกราฟผลการทดลอง โดยใช้ Side-branch Resonator 1 ตัว ขนาดพื้นที่หน้าตัด 0.001296 m^2 ชนิดสี่เหลี่ยม มีความยาว $= 0.09 \text{ m}$ ติดตั้งเข้าผนังท่อแบบกลมมีพื้นที่หน้าตัด 0.002124 m^2 จากผลการทดลองสามารถลดเสียงในช่วงความถี่ระหว่าง $300 \sim 1800 \text{ Hz}$ และ $2300 \sim 3600 \text{ Hz}$ ซึ่งตามทฤษฎีจะเกิดความถี่กำทอน $Fr = 1000, 2833 \text{ Hz}$ สำหรับการทดลองไม่มีความเร็วลม และเมื่อมีความเร็วลม $10, 20, 30, 40 \text{ (m/s)}$ Peak Frequency จะเลื่อนไปในย่านความถี่สูงขึ้น ซึ่ง Transmission Loss จะต่ำลง



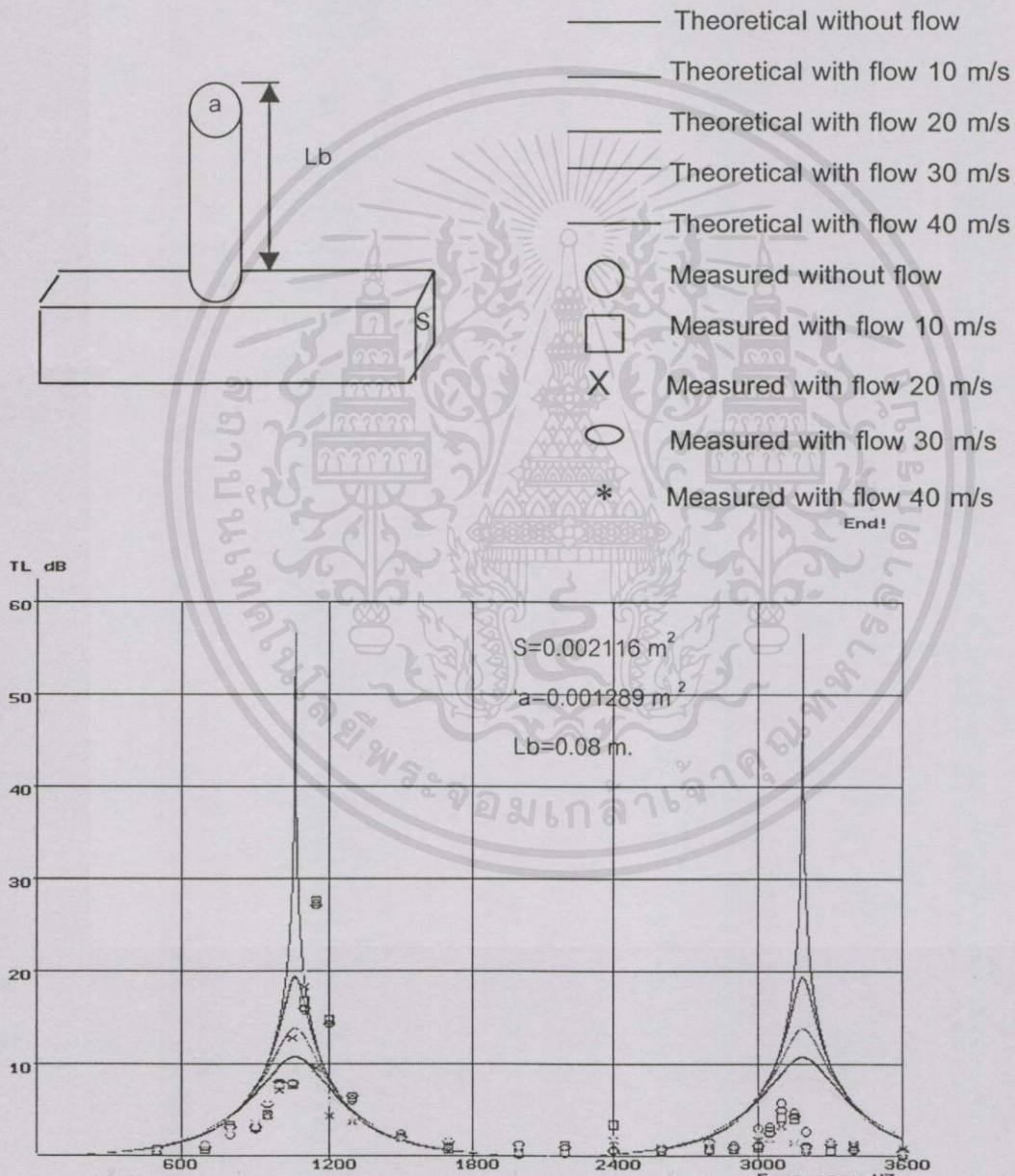
เอกสารนี้เป็นเอกสารที่สงวนไว้สำหรับการใช้งานเพื่อการศึกษาเท่านั้น ไม่อนุญาตให้นำไปใช้ประโยชน์ด้านการค้า
 รูปที่ 4.9 แสดงผลการทดลอง Side-branch Resonator 1 ตัว ขนาดพื้นที่หน้าตัด $a=0.001296 \text{ m}^2$ มีความยาว $Lb=0.09 \text{ m}$ ชนิดสี่เหลี่ยมต่อกับท่อนำเสียงกลมขนาดพื้นที่หน้าตัด $S=0.002116 \text{ m}^2$

จากรูปที่ 4.10 แสดงกราฟผลการทดลอง โดยใช้ Side-branch Resonator 1 ตัว ขนาดพื้นที่หน้าตัด 0.001289 m^2 ชนิดกลม มีความยาว $= 0.07 \text{ m}$ ติดตั้งเข้าผนังท่อแบบสี่เหลี่ยมพื้นที่หน้าตัด 0.002116 m^2 จากผลการทดลองสามารถเสียงในช่วงความถี่ระหว่าง $300 \sim 2000 \text{ Hz}$ ซึ่งตามทฤษฎี จะเกิดความถี่กำทอน $Fr = 1214 \text{ Hz}$ สำหรับการทดลองไม่มีความเร็วลม และเมื่อมีความเร็วลม $10, 20, 30, 40 \text{ (m/s)}$ Peak Frequency จะเลื่อนไปในย่านความถี่สูงขึ้น ซึ่ง Transmission Loss จะต่ำลง



รูปที่ 4.10 แสดงผลการทดลอง Side-branch Resonator 1 ตัว ขนาดพื้นที่หน้าตัด $a = 0.001289 \text{ m}^2$ มีความยาว $Lb=0.07 \text{ m}$ ชนิดกลมต่อกับท่อนำเสียงสี่เหลี่ยมขนาดพื้นที่หน้าตัด $S=0.002116 \text{ m}^2$

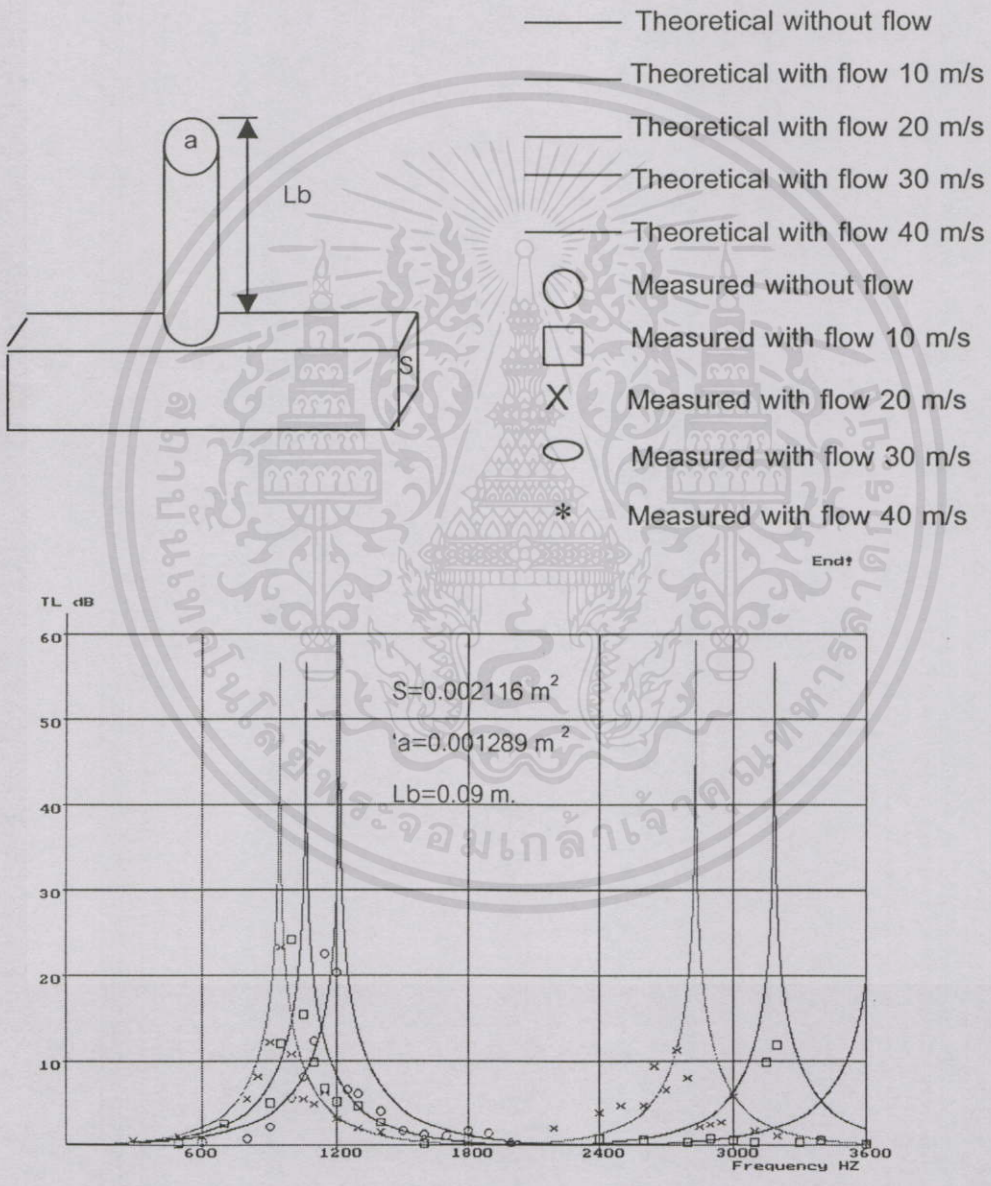
จากรูปที่ 4.11 แสดงกราฟผลการทดลอง โดยใช้ Side-branch Resonator 1 ตัว ขนาดพื้นที่หน้าตัด 0.001289 m^2 ชนิดกลม มีความยาว $= 0.08 \text{ m}$ ติดตั้งเข้าผนังท่อแบบสี่เหลี่ยมมีพื้นที่หน้าตัด 0.002124 m^2 จากผลการทดลองสามารถลดเสียงในช่วงความถี่ระหว่าง $300 \sim 1800 \text{ Hz}$ และ $2500 \sim 3600$ ซึ่งตามทฤษฎีจะเกิดความถี่กำทอน $Fr = 1033, 3187 \text{ Hz}$ สำหรับการทดลองไม่มีความเร็วลม และเมื่อมีความเร็วลม $10, 20, 30, 40 \text{ (m/s)}$ Peak Frequency จะเลื่อนไปในย่านความถี่สูงขึ้น ซึ่ง Transmission Loss จะต่ำลง



เอกสารนี้เป็นเอกสารที่สงวนไว้สำหรับการใช้งานเพื่อการศึกษาเท่านั้น ไม่นานผู้ใดเห็นว่าเป็นประโยชน์ด้านการค้า ไม่ว่าจะผิดใดๆทั้งสิ้น อีกทั้งห้ามมิให้คัดแปลงเนื้อหาและต้องอ้างอิงถึงเจ้าของเอกสารทุกครั้งที่มีการนำไปใช้

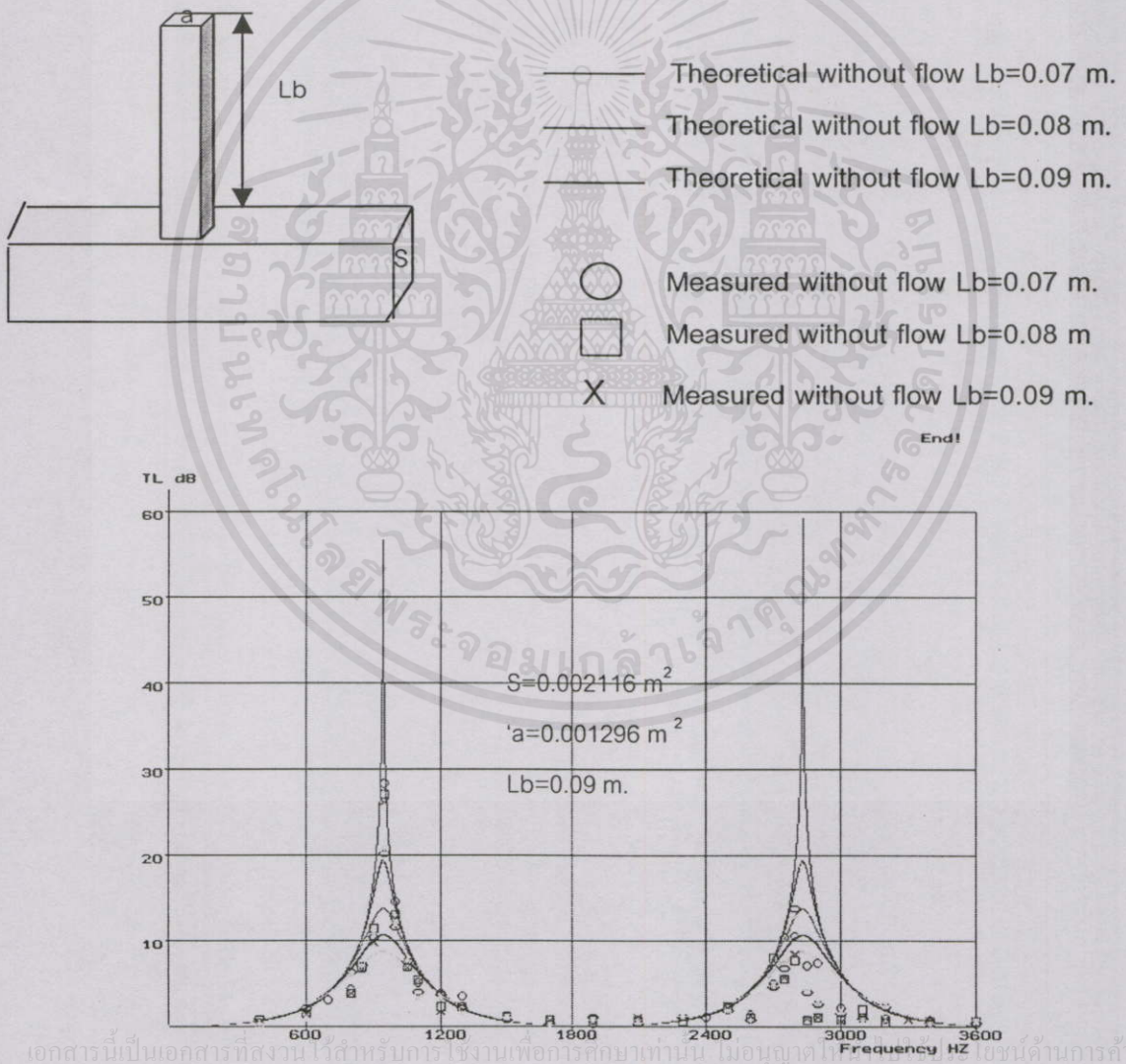
รูปที่ 4.11 แสดงผลการทดลอง Side-branch Resonator 1 ตัว ขนาดพื้นที่หน้าตัด $a = 0.001289 \text{ m}^2$ มีความยาว $L_b = 0.08 \text{ m}$ ชนิดกลมต่อกับท่อนำเสียงสี่เหลี่ยมขนาดพื้นที่หน้าตัด $S = 0.002116 \text{ m}^2$

จากรูปที่ 4.12 แสดงกราฟผลการทดลอง โดยใช้ Side-branch Resonator 1 ตัว ขนาดพื้นที่หน้าตัด 0.001286 m^2 ชนิดกลม มีความยาว $= 0.09 \text{ m}$ ติดตั้งเข้าผนังท่อแบบสี่เหลี่ยมมีพื้นที่หน้าตัด 0.002116 m^2 จากผลการทดลองสามารถสังเกตเห็นในช่วงความถี่ระหว่าง $300 \sim 1800 \text{ Hz}$ และ $2300 \sim 3400 \text{ Hz}$ ซึ่งตามทฤษฎีจะเกิดความถี่กำทอน $Fr = 1000, 2833 \text{ Hz}$ สำหรับการทดลองไม่มีความเร็วลม และเมื่อมีความเร็วลม $10, 20, 30, 40 \text{ (m/s)}$ Peak Frequency จะเลื่อนไปในย่านความถี่สูงขึ้น ซึ่ง Transmission Loss จะต่ำลง



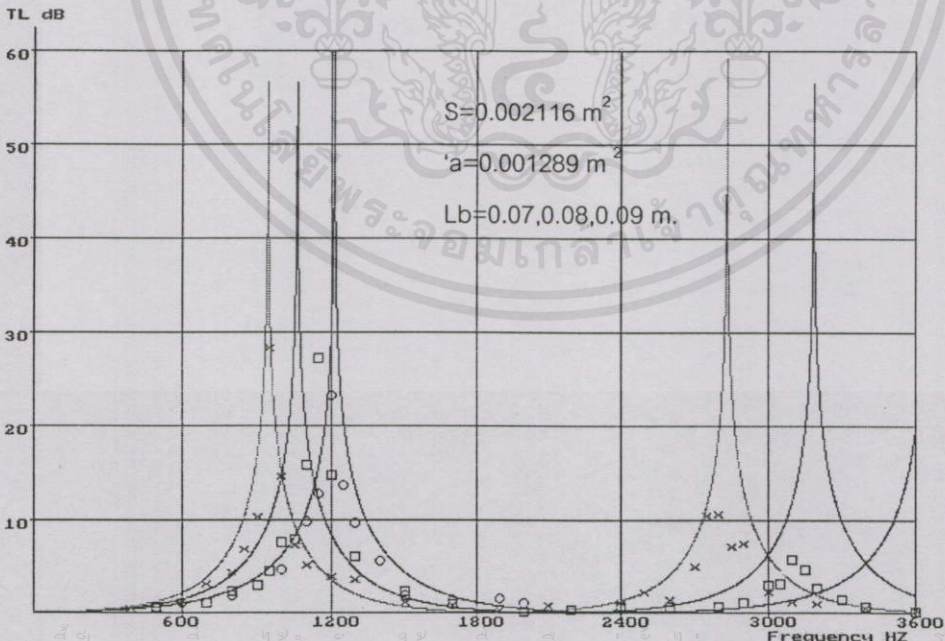
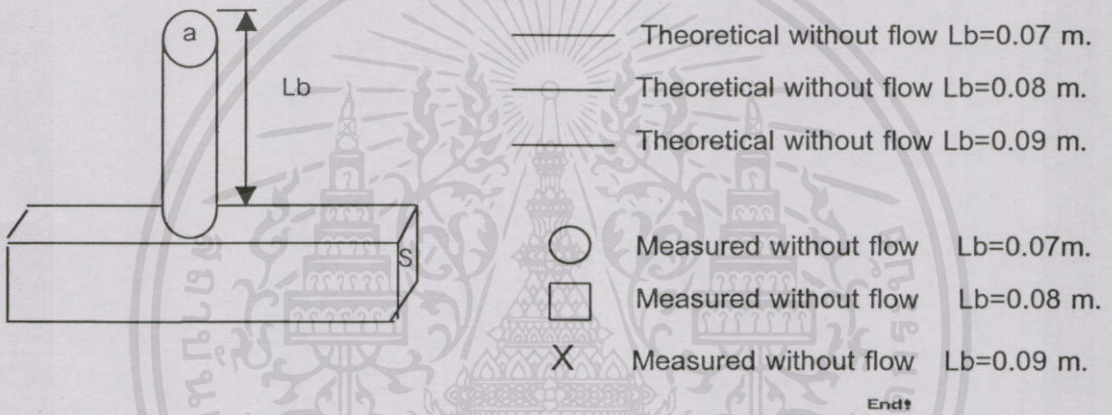
เอกสารนี้เป็นเอกสารที่สงวนไว้สำหรับการใช้งานเพื่อการศึกษาเท่านั้น ไม่อนุญาตให้นำไปใช้ประโยชน์ด้านการค้า
 รูปที่ 4.12 แสดงผลการทดลอง Side-branch Resonator 1 ตัว ขนาดพื้นที่หน้าตัด $a=0.001289 \text{ m}^2$ มีความยาว $Lb=0.09 \text{ m}$ ชนิดกลมต่อกับท่อส่งสี่เหลี่ยมขนาดพื้นที่หน้าตัด $S=0.002116 \text{ m}^2$

จากรูปที่ 4.13 แสดงกราฟผลการทดลอง โดยใช้ Side-branch Resonator 3 ตัว ขนาดพื้นที่หน้าตัด 0.001296 m^2 รูปทรงสี่เหลี่ยม มีความยาว = 0.07, 0.08, และ 0.09 m ติดตั้งเข้าผนังท่อแบบสี่เหลี่ยมที่มีพื้นที่หน้าตัด 0.002116 m^2 จากผลการทดลองเป็นการเปรียบเทียบผลของความยาว (L_b) ที่มีการเปลี่ยนแปลง ผล $L_b=0.07\text{m}$. สามารถลดเสียงในช่วงความถี่ระหว่าง 600 ~ 1800 Hz ซึ่งตามทฤษฎีจะเกิดความถี่กำทอน $Fr = 1214 \text{ Hz}$ และ $L_b = 0.08 \text{ m}$. สามารถลดเสียงช่วงความถี่ 500~1600 Hz และ 2300 ~ 3400 Hz ซึ่งตามทฤษฎีจะเกิดความถี่กำทอน $Fr = 1000, 2833 \text{ Hz}$ และ $L_b = 0.09 \text{ m}$. สามารถลดเสียงในช่วงความถี่ระหว่าง 500 ~ 1600 Hz และ 2300 ~ 3400 Hz ซึ่งตามทฤษฎีจะเกิดความถี่กำทอน $Fr = 1033, 3187 \text{ Hz}$ สำหรับการทดลองไม่มีความเร็วลม Peak Frequency จะเลื่อนไปในย่านความถี่สูงขึ้น ซึ่ง Transmission Loss จะต่ำลง



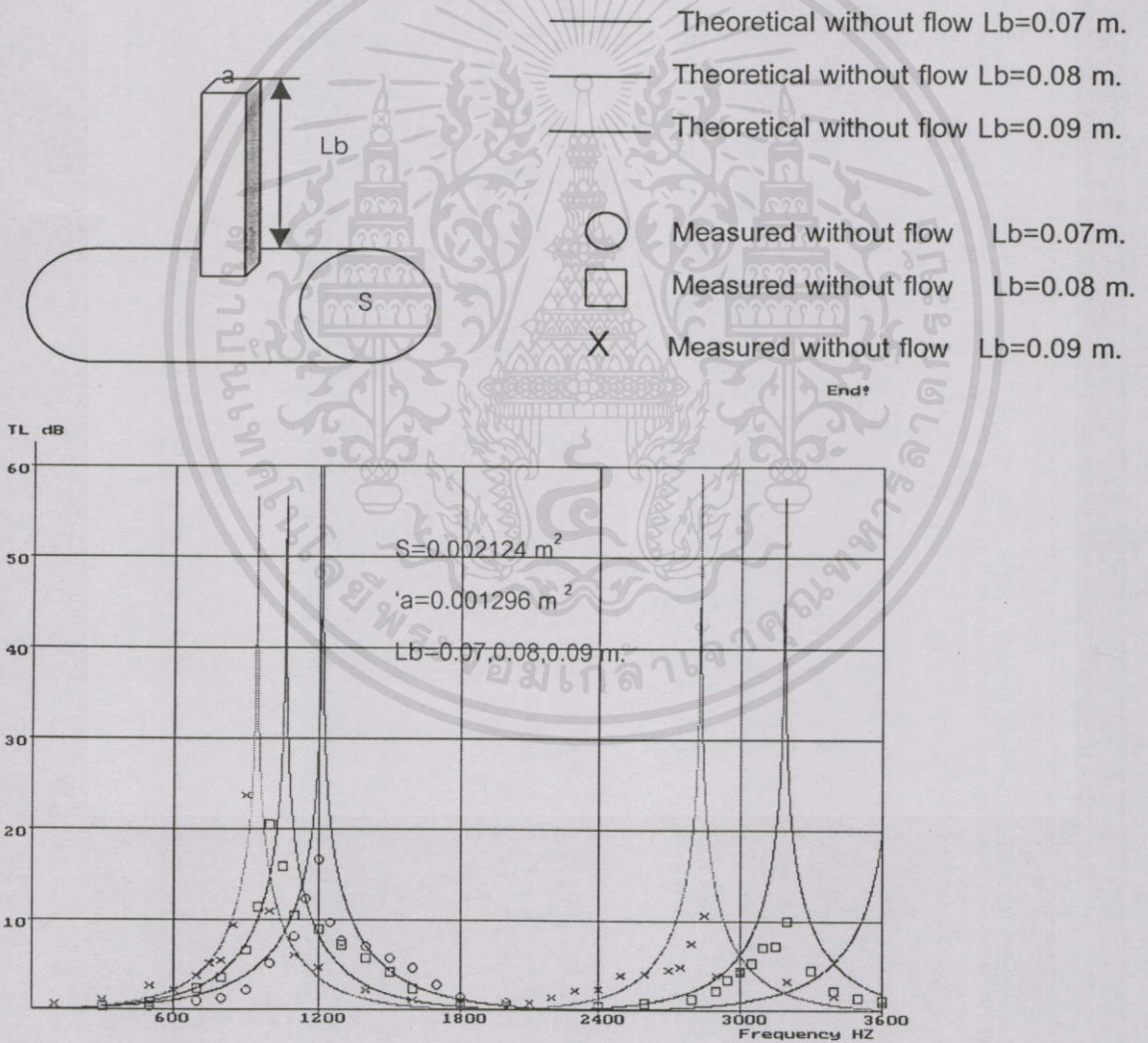
รูปที่ 4.13 แสดงผลการทดลอง Side-branch Resonator 3 ตัว ขนาดพื้นที่หน้าตัด $a=0.001296 \text{ m}^2$ มีความยาว $L_b=0.07\text{m}$, 0.08m และ 0.09m . ชนิดสี่เหลี่ยมต่อกับท่อนำเสียงสี่เหลี่ยมขนาดพื้นที่หน้าตัด $S=0.002116 \text{ m}^2$

จากรูปที่ 4.14 แสดงกราฟผลการทดลอง โดยใช้ Side-branch Resonator 3 ตัว ขนาดพื้นที่หน้าตัด 0.001289 m^2 ชนิดกลม มีความยาว = $0.07, 0.08,$ และ 0.09 m ติดตั้งเข้าผนังท่อแบบสี่เหลี่ยมมีพื้นที่หน้าตัด 0.002116 m^2 จากผลการทดลองเป็นการเปรียบเทียบผลของความยาว (L_b) ที่มีการเปลี่ยนแปลง ผล $L_b=0.07\text{m}$. สามารถลดเสียงในช่วงความถี่ระหว่าง $600 \sim 1800 \text{ Hz}$ ซึ่งตามทฤษฎีจะเกิดความถี่กำทอน $Fr = 1214 \text{ Hz}$ และ $L_b=0.08 \text{ m}$. สามารถลดเสียงช่วงความถี่ $500 \sim 1600 \text{ Hz}$ และ $2300 \sim 3400 \text{ Hz}$ ซึ่งตามทฤษฎีจะเกิดความถี่กำทอน $Fr = 1000, 2833 \text{ Hz}$ และ $L_b = 0.09 \text{ m}$. สามารถลดเสียงในช่วงความถี่ระหว่าง $500 \sim 1600 \text{ Hz}$ และ $2300 \sim 3400 \text{ Hz}$ ซึ่งตามทฤษฎีจะเกิดความถี่กำทอน $Fr = 1033, 3187 \text{ Hz}$ สำหรับการทดลองไม่มีความเร็วลม Peak Frequency จะเลื่อนไปในย่านความถี่สูงขึ้น ซึ่ง Transmission Loss จะต่ำลง



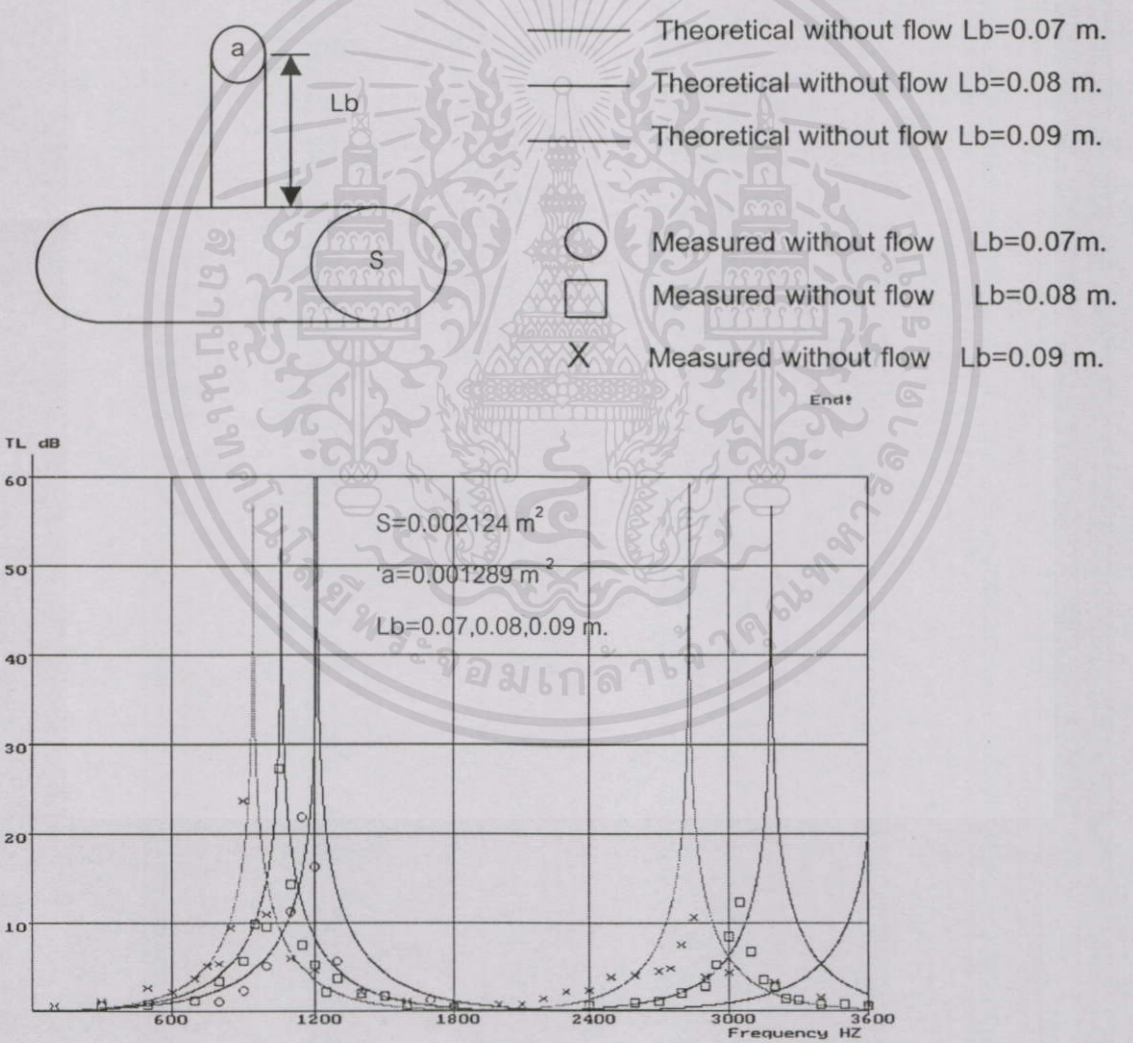
รูปที่ 4.14 แสดงผลการทดลอง Side-branch Resonator 3 ตัว ขนาดพื้นที่หน้าตัด $a=0.001289 \text{ m}^2$ มีความยาว $L_b=0.07\text{m}, 0.08\text{m}$ และ 0.09m . ชนิดกลมต่อกับท่อนำเสียงสี่เหลี่ยมขนาดพื้นที่หน้าตัด $S=0.002116 \text{ m}^2$

จากรูปที่ 4.15 แสดงกราฟผลการทดลอง โดยใช้ Side-branch Resonator 3 ตัว ขนาดพื้นที่หน้าตัด 0.001289 m^2 ชนิดกลม มีความยาว = $0.07, 0.08,$ และ 0.09 m ติดตั้งเข้าผนังท่อแบบสี่เหลี่ยมมีพื้นที่หน้าตัด 0.002116 m^2 จากผลการทดลองเป็นการเปรียบเทียบผลของความยาว (L_b) ที่มีการเปลี่ยนแปลง ผล $L_b=0.07\text{m}$. สามารถลดเสียงในช่วงความถี่ระหว่าง $600 \sim 1800 \text{ Hz}$ ซึ่งตามทฤษฎีจะเกิดความถี่กำทอน $Fr = 1214 \text{ Hz}$ และ $L_b=0.08 \text{ m}$. สามารถลดเสียงช่วงความถี่ $500 \sim 1600 \text{ Hz}$ และ $2300 \sim 3400 \text{ Hz}$ ซึ่งตามทฤษฎีจะเกิดความถี่กำทอน $Fr = 1000, 2833 \text{ Hz}$ และ $L_b = 0.09 \text{ m}$. สามารถลดเสียงในช่วงความถี่ระหว่าง $500 \sim 1600 \text{ Hz}$ และ $2300 \sim 3400 \text{ Hz}$ ซึ่งตามทฤษฎีจะเกิดความถี่กำทอน $Fr = 1033, 3187 \text{ Hz}$ สำหรับการทดลองไม่มีความเร็วลม Peak Frequency จะเลื่อนไปในย่านความถี่สูงขึ้น ซึ่ง Transmission Loss จะต่ำลง



รูปที่ 4.15 แสดงผลการทดลอง Side-branch Resonator 3 ตัว ขนาดพื้นที่หน้าตัด $a=0.001289 \text{ m}^2$ มีความยาว $L_b=0.07\text{m}, 0.08\text{m}$ และ 0.09m . ชนิดกลมต่อกับท่อนำเสียงสี่เหลี่ยมขนาดพื้นที่หน้าตัด $S=0.002116 \text{ m}^2$

จากรูปที่ 4.16 แสดงกราฟผลการทดลอง โดยใช้ Side-branch Resonator 3 ตัว ขนาดพื้นที่หน้าตัด 0.001289 m^2 ชนิดกลม มีความยาว = $0.07, 0.08,$ และ 0.09 m ติดตั้งเข้าผนังท่อแบบกลมมีพื้นที่หน้าตัด 0.002124 m^2 จากผลการทดลองเป็นการเปรียบเทียบผลของความยาว (Lb) ที่มีการเปลี่ยนแปลงผล $L_b=0.07 \text{ m}$. สามารถลดเสียงในช่วงความถี่ระหว่าง $600 \sim 1800 \text{ Hz}$ ซึ่งตามทฤษฎีจะเกิดความถี่กำทอน $F_r = 1214 \text{ Hz}$ และ $L_b = 0.08 \text{ m}$. สามารถลดเสียงช่วงความถี่ $500 \sim 1600 \text{ Hz}$ และ $2300 \sim 3400 \text{ Hz}$ ซึ่งตามทฤษฎีจะเกิดความถี่กำทอน $F_r = 1000, 2833 \text{ Hz}$ และ $L_b = 0.09 \text{ m}$. สามารถลดเสียงในช่วงความถี่ระหว่าง $500 \sim 1600 \text{ Hz}$ และ $2300 \sim 3400 \text{ Hz}$ ซึ่งตามทฤษฎีจะเกิดความถี่กำทอน $F_r = 1033, 3187 \text{ Hz}$ สำหรับการทดลองไม่มีความเร็วลม Peak Frequency จะเลื่อนไปในย่านความถี่สูงขึ้น ซึ่ง Transmission Loss จะต่ำลง



รูปที่ 4.16 แสดงผลการทดลอง Side-branch Resonator 3 ตัว ขนาดพื้นที่หน้าตัด $a=0.001289 \text{ m}^2$ มีความยาว $L_b=0.07 \text{ m}, 0.08 \text{ m}$ และ 0.09 m . ชนิดกลมต่อกับท่อนำเสียงกลมขนาดพื้นที่หน้าตัด $S=0.002116 \text{ m}^2$

4.4 การวิเคราะห์ผลการทดลอง

จากผลการทดลอง พฤติกรรมการลดเสียงของอุปกรณ์ลดเสียงแบบ Side-branch Resonator พื้นที่หน้าตัด 0.001296 m^2 ชนิดสี่เหลี่ยม และชนิดกลมพื้นที่หน้าตัด 0.001289 m^2 และใช้ท่อนำเสียงแบบกลมเส้นผ่านศูนย์กลาง 0.052 m และแบบสี่เหลี่ยมขนาด $0.046 \text{ m} \times 0.046 \text{ m}$ เพื่อศึกษาพฤติกรรมการลดเสียงของ Side-branch Resonator แบบ Single – Chamber Resonator ศึกษาว่า Side-branch Resonator แต่ละขนาดมีพฤติกรรมการลดเสียงในช่วงความถี่ Resonant ไດ ซึ่งหลักการของความถี่ Resonant ที่เกิดขึ้น จาก Standing Wave ส่งผ่านเข้าไปในระบบท่อ พลังงานเสียงในระบบท่อจะส่งผ่านความถี่เดียว กับความถี่ Resonant นั้นของอุปกรณ์ลดเสียงแบบ Side-branch Resonator แต่ละขนาด ซึ่งใน วิทยานิพนธ์ฉบับนี้ได้ทำการเปรียบเทียบระหว่าง Frequency กับสมการ Transmission loss รวมทั้งกรณีที่มีความเร็วลมไหลผ่าน ($U=10,20,30,40 \text{ m/s}$ หรือ M มีค่าเท่ากับ $0.028, 0.057, 0.086, 0.115$) และไม่มีความเร็วลมไหลผ่าน ($U=0$ หรือ $M=0$) ดังแสดงในรูปที่ 4.1 ถึง 4.16 จะทำการ Vary Volume, (ความยาวของ Side-branch Resonator (L_b) = $0.07, 0.08$ และ 0.09)

1. จากผลการทดลองเมื่อติดตั้งอุปกรณ์ลดเสียงแบบ Side-branch Resonator เข้ากับผนังท่อนำเสียงแบบกลม และท่อนำเสียงแบบสี่เหลี่ยม พบว่า Side-branch Resonator ที่มีปริมาตรน้อยจะสามารถลดเสียงในย่านความถี่ต่ำ ส่วน Side-branch Resonator ที่มีปริมาตรมากจะสามารถลดเสียงในย่านความถี่สูง
2. ความยาวของ Side-branch Resonator มีผลต่อค่า Peak Frequency และค่า Transmission Loss พบว่า Side-branch length สั้นๆ จะให้ค่า Peak Frequency และค่า Transmission Loss สูงกว่า Side-branch length มีความยาวมาก ซึ่งช่วงความถี่ในการลดเสียงจะกว้างกว่า Side-branch Length ที่มีความยาวมากๆ ช่วงความถี่ในการลดเสียงจะกว้างมากขึ้น
3. จากผลการทดลองใช้ท่อนำเสียงแบบกลมเปรียบเทียบกับท่อนำเสียงแบบสี่เหลี่ยม พบว่า ความสามารถในการลดเสียงสำหรับท่อนำเสียงแบบกลมจะให้ค่า Transmission Loss สอดคล้องกับทฤษฎี มากกว่าท่อนำเสียงแบบสี่เหลี่ยม ซึ่งเมื่อพิจารณาท่อนำเสียงแบบสี่เหลี่ยมจะเกิดการกระจายของค่า Transmission Loss ในบางช่วงไม่เป็นระเบียบ
4. จากผลการทดลองเมื่อติดตั้ง Side-branch Resonator เข้ากับผนังท่อนำเสียงแบบกลม เปรียบเทียบกับท่อนำเสียงแบบสี่เหลี่ยม พบว่าท่อนำเสียงแบบสี่เหลี่ยมจะให้ Peak Frequency สูงกว่าท่อนำเสียงแบบกลม เนื่องจากท่อนำเสียงแบบสี่เหลี่ยมมีพื้นที่หน้าตัดมากกว่าท่อนำเสียงแบบกลม ซึ่งเมื่อเปรียบเทียบความสามารถในการลดเสียงจะแตกต่างกันเล็กน้อย
5. เมื่อมีความเร็วลมเพิ่มขึ้น เริ่มจาก $0 - 40 \text{ m/s}$ ค่า Peak Frequency จะเลื่อนไปในย่านความถี่สูงขึ้น ซึ่งมีผลทำให้ค่าของความสามารถในการลดเสียงต่ำลง เมื่อทำการทดลองต่อไปโดยเพิ่ม

ความเร็วลมมากกว่า 40 m/s คลื่นจะเกิดการแกว่งมากไม่สามารถทำการวัดค่า Peak Frequency ได้เลย

7. จากการทดลองในการวัดค่า Resonance แต่ละ Peak ขณะทำวิจัยจะเกิดการแกว่งของคลื่นทำให้ในการวัดค่าบางช่วงเกิด Error ขึ้น ซึ่งส่งผลทำให้ค่าของผลการทดลองบางช่วงมี Error



เอกสารนี้เป็นเอกสารที่สงวนไว้สำหรับการใช้งานเพื่อการศึกษาเท่านั้น ไม่อนุญาตให้นำไปใช้ประโยชน์ด้านการค้า ไม่ว่ากรณีใดๆทั้งสิ้น อีกทั้งห้ามมิให้คัดแปลงเนื้อหา และต้องอ้างอิงถึงเจ้าของเอกสารทุกครั้งที่มีการนำไปใช้

บทที่ 5

สรุปผลการวิจัย และข้อเสนอแนะ

5.1 สรุปผลและวิจารณ์

วิทยานิพนธ์ฉบับนี้ได้นำเสนอ พฤติกรรมการลดเสียงของอุปกรณ์ลดเสียงแบบ Side-branch ที่ความถี่ตั้งแต่ 0 ถึง 3600 Hz ซึ่งได้กล่าวถึงวิธีการลดเสียงรบกวน และลักษณะของอุปกรณ์เสียง จากสมการพื้นฐานของคลื่นเสียง โดยนำมาใช้ในการวิเคราะห์จากสมการ Transmission loss ซึ่งเป็นทฤษฎีหาค่าความสามารถในการลดเสียง เปรียบเทียบกับผลการทดลองในย่านความถี่ต่างๆ กรณีที่ไม่มีความเร็วลมและมีความเร็วลมไหลผ่านในระบบท่อ

การวิจัยนี้ได้จำลองกระบวนการเกิดเสียงรบกวนในระบบท่อที่สามารถกำหนดความถี่ของเสียงรบกวนในช่วงความถี่ได้ จากนั้นขึ้นอยู่กับสมมติฐาน และวิธีการทั่วไปของสมการในการลดเสียงแบบ Side-branch Resonator ไว้ดังนี้

1. ความดันของเสียงมีค่าน้อย เมื่อเปรียบเทียบกับค่าความดันสัมบูรณ์เฉลี่ยในระบบและไม่ขึ้นกับเวลา
2. ท่อนำเสียงที่ใช้จะต้องมีลักษณะไม่สะท้อนกลับของคลื่น
3. ผนังของ Resonator ต้องไม่ดูดคลื่น และนำพลังเสียง
4. คลื่นความดันในแนวระนาบมีการเพิ่มขึ้นภายในท่อนำเสียง
5. อิทธิพลของความหนืดโดยทั่วไปมีผลน้อยมาก
6. ผลการทดลองจะต้องปรับแก้การสะท้อนที่เกิดขึ้นจริง เพื่อความถูกต้องกับสภาวะข้าง

ต้นที่กล่าวมาแล้ว

7. อุปกรณ์ต่างๆ ที่ใช้ในการทดลองจะต้องแม่นยำ และผ่านการ Calibrate

จากการวิจัย พฤติกรรมการลดเสียงของอุปกรณ์ลดเสียงความถี่สูงแบบ Side-branch สามารถสรุปผลได้ดังนี้

5.1.1 ค่าการคำนวณตามทฤษฎี Transmission loss ของอุปกรณ์ลดเสียงแบบ Side-branch Resonator สามารถกำหนด Peak Frequency ที่เกิดขึ้นว่า Side-branch Resonator แต่ละขนาดสามารถลดเสียงได้ในช่วงความถี่ใด

5.1.2 Side-branch Resonator ที่มีปริมาตรน้อยความสามารถในการลดเสียงในย่านความถี่ต่ำกว่า ส่วน Side-branch Resonator ที่มีปริมาตรมากจะสามารถลดเสียงในย่านความถี่สูง

5.1.3 ถ้า Side-branch length มีความยาวมากย่านความถี่ในการลดเสียงจะแคบกว่า Side-branch length ที่สั้นกว่าแต่จะสามารถลดเสียงได้ในหลายๆย่านความถี่

5.1.4 เมื่อเปรียบเทียบความสามารถในการลดเสียงระหว่างท่อนำเสียงแบบกลมและท่อนำเสียงแบบสี่เหลี่ยม ซึ่งท่อนำเสียงแบบกลมสามารถลดเสียงได้สอดคล้องกับทฤษฎี

5.1.5 กรณีที่มีความเร็วลมไหลผ่านในระบบท่อนำเสียง เมื่อมีความเร็วลมเพิ่มมากขึ้น ความสามารถในการลดเสียงจะเลื่อนไปในย่านความถี่ที่สูงขึ้น แต่ความสามารถในการลดเสียงจะลดต่ำลง

5.1.6 จากผลการทดลองค่า Transmission loss พบว่าค่าที่ได้จากการทดลองสอดคล้องกับค่าการคำนวณตามทฤษฎีแต่ค่าความสามารถในการลดเสียงจะต่ำกว่าเล็กน้อย

5.1.7 จากเรื่องดังกล่าวข้างต้นความสามารถในการลดเสียงของ Resonator ชนิด Side-branch จะสามารถลดเสียงรบกวนในช่วงความถี่ที่ต้องการได้ นอกจากนี้ยังสามารถคาดการณ์ระดับเสียงที่ทำการลดลงได้เป็นไปตามทฤษฎี

5.1.8 Side-branch Resonator เป็นอุปกรณ์ขนาดเล็กที่สามารถนำมาลดเสียงในระบบท่อได้ดี และยังประหยัดพื้นที่ในการติดตั้งรวมถึงประหยัดวัสดุในการออกแบบได้ด้วย

5.2 ประโยชน์ที่ได้รับจากการทำวิทยานิพนธ์

5.2.1 ทำให้ทราบทฤษฎีพื้นฐานของเสียง

5.2.2 ทำให้ทราบถึงผลกระทบในการเปลี่ยนแปลงปริมาตรของ Side-branch

5.2.3 เพื่อศึกษาพฤติกรรมของการลดเสียงของ Side-branch Resonator ว่าสามารถลดเสียงในช่วงความถี่ใด เพื่อสามารถนำไปประยุกต์ใช้ในช่วงความถี่ที่ต้องการได้

5.2.4 สามารถออกแบบอุปกรณ์ลดเสียง Resonator เพื่อพัฒนาประยุกต์ในการออกแบบรูปร่างของ Resonator หลากๆ รูปแบบในอนาคตโดยคำนึงถึงความเหมาะสมกับสภาพของการลดเสียงนั้นๆ

5.2.5 สามารถนำไปประยุกต์ใช้ในการออกแบบอุปกรณ์ลดเสียงในระบบท่อต่างๆเช่น ท่อไอเสีย และท่อไอศของเครื่องยนต์รวมถึงท่อทางเดินลมในโรงงานอุตสาหกรรม ท่อระบายอากาศ, ท่อแอร์ เป็นต้น

5.3 ข้อเสนอแนะและแนวทางวิจัยในอนาคต

5.2.6 ควรทำศึกษาออกแบบอุปกรณ์ลดเสียง แบบ Side-branch ในรูปทรงอื่นที่สามารถใช้ความเร็วลมไหลผ่านในท่อได้สูงๆรวมทั้งศึกษาในกรณีที่มีการเปลี่ยนแปลงท่อนำเสียงหลักโดยการใช้ท่อขยายหรือท่อลดขนาด เพื่อศึกษาถึงผลกระทบต่างๆที่มีต่อค่าการลดเสียง

5.2.7 การออกแบบและทดลองแบบอุปกรณ์ลดเสียงแบบหลายๆชั้นเพื่อหาประสิทธิภาพของการลดเสียงในย่านความถี่ต่างๆ

- 5.2.8 ออกแบบท่อนำเสียงที่สามารถปรับพื้นที่หน้าตัด และความยาวของท่อนำเสียงได้ รวมทั้งสามารถปรับขนาดของอุปกรณ์ลดเสียง Resonator โดยใช้ Micro-controller
- 5.2.9 หาวิธีการลดเสียงรบกวนอื่นๆ เช่น วิธี Feed-back control เป็นต้น



เอกสารนี้เป็นเอกสารที่สงวนไว้สำหรับการใช้งานเพื่อการศึกษาเท่านั้น ไม่อนุญาตให้นำไปใช้ประโยชน์ด้านการค้า
ไม่ว่ากรณีใดๆทั้งสิ้น อีกทั้งห้ามมิให้คัดแปลงเนื้อหา และต้องอ้างอิงถึงเจ้าของเอกสารทุกครั้งที่มีการนำไปใช้

บรรณานุกรม

- [1] M.O Tokhi and R.R. Leitch. **Active Noise Control**. Published in the United States by Oxford University. 1992
- [2] Czarmecki. K.R., AND Davis, Don D., Jr. **Dynamometer-Stand Investigation of the Muffler Uses in the Demonstration of Light-Airplane Noise Reduction** NACA TN1688, 1948
- [3] Don d., Davis, Jr. George, I. Stevens, Jr. Dewey Moore and George M .Stokes. **Theoretical and measured attenuation of mufflers at room temperature Without flow, with comments on engine – exhaust muffler design.** NACA Technical Note.2893. 1954. Pp. 1 – 111
- [4] Leo L. Beranek. **Noise Reduction**. McGraw – Hill Book Company. Co.,Inc.1960
- [5] M.L.Munjal "Velocity ratio-cum-transfer matrix method for the evaluation of a mulffler with mean flow " Journal of sound and vibration (1975)39 (1) , 105-119
- [6] R.I.Woods. **Noise Control in Mechanical Services**. Jointly Published by Sound A Attenuators limited and Sound Research laboratories limited , 1976
- [7] Shuntaro Murakami, Sanni Hagi and Minoru Maeda "Acoustical Performance of Conical Side – Branch Tubes" Proc. Nat.Acad.Sci.(1919-5) .pp. 159 – 164 1980
- [8] Harold W. Lord, William S. Gattey and Harod A. Evenson **Noise Control for Engineers**. McGraw – Hill Book Company. 1980
- [9] E & F.N. Spon **Noise Control in Industry** Sound Research Laboratories Ltd., 1991
- [10] Davis, A.H and Fleming, N. **The Attenuation Characteristics of Some Aero-Engine Exhaust Silencers**. Rep NO.N. 125 Brotosj N.P.L (RepNo.2249, A.R.C) 1936
- [11] David A. Bies and Colin H. Hansen. **Engineering Noise Control**. E&FN Spon an Imprint of chapman & Hall. 1996
- [12] วิฑูรย์ สิมะโชคดี, ยี่งยง เตโชพาร .เทคนิคการควบคุม และลดเสียงดัง กรุงเทพมหานคร : สำนักพิมพ์สติกส์เซ็นเตอร์ .2537. ไม่ต้องอ้างอิงถึงเจ้าของเอกสารทุกครั้งที่มีการนำไปใช้

- [13] บุญชัย ศิลปกิจวงษ์กุล “สมรรถนะของเครื่องลดเสียงชนิด Helmholtz” วิทยานิพนธ์
วิศวกรรมศาสตรมหาบัณฑิต สาขาวิชาวิศวกรรมเครื่องกล บัณฑิตวิทยาลัย, สถาบัน
เทคโนโลยี
พระจอมเกล้าเจ้าคุณทหารลาดกระบัง. 2542
- [14] ปราโมทย์ เรืองฤทธิ์ “พฤติกรรมเสียงของอุปกรณ์ลดเสียงชนิด Helmholtz” วิทยานิพนธ์
วิศวกรรมศาสตรมหาบัณฑิต สาขาวิชาวิศวกรรมเครื่องกล บัณฑิตวิทยาลัย, สถาบัน
เทคโนโลยี พระจอมเกล้าเจ้าคุณทหารลาดกระบัง. 2543



เอกสารนี้เป็นเอกสารที่สงวนไว้สำหรับการใช้งานเพื่อการศึกษาเท่านั้น ไม่อนุญาตให้นำไปใช้ประโยชน์ด้านการค้า
ไม่ว่ากรณีใดๆทั้งสิ้น อีกทั้งห้ามมิให้คัดแปลงเนื้อหา และต้องอ้างอิงถึงเจ้าของเอกสารทุกครั้งที่มีการนำไปใช้

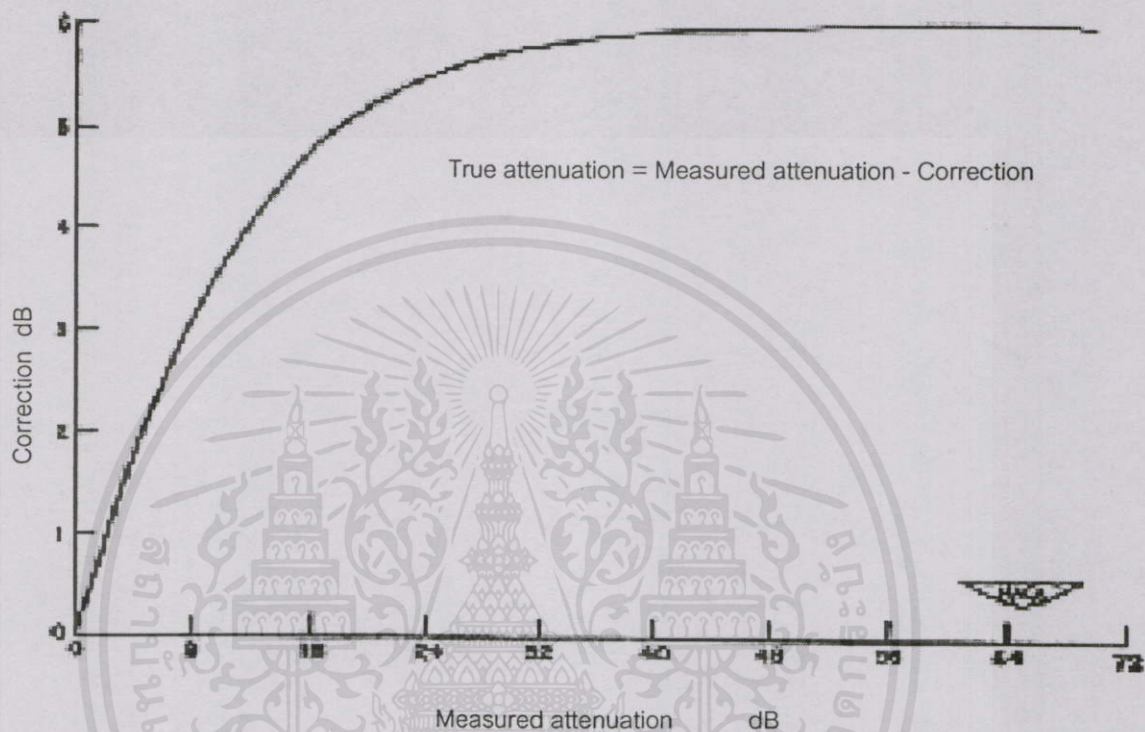
ภาคผนวก ก

ตารางตัวอย่างการคำนวณแก้ค่า Attenuation

ตารางที่ ก. 1 ค่าที่ได้จากการคำนวณการแก้ค่า ATTENUATION ที่ได้จากการวัดซึ่งคำนวณมาจาก Davis Curve

| เปอร์เซ็นต์ การสะท้อน กลับ | ค่าที่ใช้แก้ ค่าที่เพิ่มขึ้นภายใน ท่อไอเสีย (เดซิเบล) | ค่า attenuation จริง (เดซิเบล) | ค่า attenuation จริง + ค่าที่ใช้แก้ = ค่า attenuation ที่วัดได้ (เดซิเบล) |
|----------------------------------|--|--------------------------------------|--|
| 5 | 0.42 | 0.45 | 0.87 |
| 10 | .83 | .92 | 1.74 |
| 20 | 1.53 | 1.94 | 3.52 |
| 30 | 2.28 | 3.10 | 5.38 |
| 40 | 2.92 | 4.24 | 7.16 |
| 50 | 3.52 | 6.02 | 9.54 |
| 60 | 4.08 | 7.96 | 12.04 |
| 70 | 4.61 | 10.46 | 15.07 |
| 80 | 5.11 | 13.98 | 19.09 |
| 85 | 5.34 | 16.48 | 21.82 |
| 90 | 5.58 | 20.00 | 25.58 |
| 95 | 5.80 | 26.03 | 31.83 |
| 97 | 5.90 | 30.46 | 36.35 |
| 99 | 5.98 | 40.00 | 45.98 |
| 99.5 | 6.00 | 46.02 | 52.02 |
| 99.9 | 6.02 | 60.00 | 66.02 |
| 100 | 6.02 | ∞ | ∞ |

เอกสารนี้เป็นเอกสารที่สงวนไว้สำหรับการใช้งานเพื่อการศึกษาเท่านั้น ไม่อนุญาตให้นำไปใช้ประโยชน์ด้านการค้า
ไม่ว่ากรณีใดๆทั้งสิ้น อีกทั้งห้ามมิให้คัดแปลงเนื้อหา และต้องอ้างอิงถึงเจ้าของเอกสารทุกครั้งที่มีการนำไปใช้



รูปที่ ค.1 กราฟ Davis Curve แสดงการแก้ค่า ATTENUATION

เอกสารนี้เป็นเอกสารที่สงวนไว้สำหรับการใช้งานเพื่อการศึกษาเท่านั้น ไม่อนุญาตให้นำไปใช้ประโยชน์ด้านการค้า
ไม่ว่ากรณีใดๆทั้งสิ้น อีกทั้งห้ามมิให้คัดแปลงเนื้อหา และต้องอ้างอิงถึงเจ้าของเอกสารทุกครั้งที่มีการนำไปใช้

ประวัติผู้เขียน

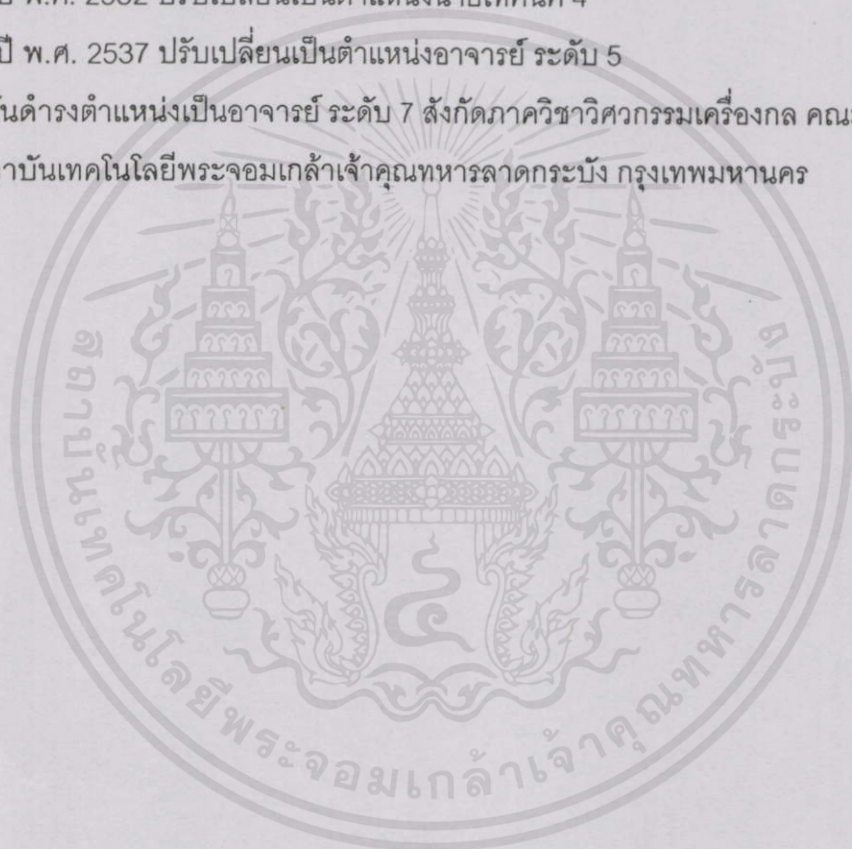
นายพงษ์ศักดิ์ คำมูล เกิดเมื่อวันที่ 10 ธันวาคม 2500 ที่จังหวัดเชียงใหม่ สำเร็จการศึกษา
วิทยาศาสตร์บัณฑิต (เทคโนโลยีอุตสาหกรรมเครื่องกล) จากวิทยาลัยครูพระนคร กรุงเทพฯ
ปีการศึกษา 2537

ปี พ.ศ. 2522 เข้ารับราชการในตำแหน่งช่างเทคนิค 1

ปี พ.ศ. 2532 ปรับเปลี่ยนเป็นตำแหน่งนายเทคนิค 4

ปี พ.ศ. 2537 ปรับเปลี่ยนเป็นตำแหน่งอาจารย์ ระดับ 5

และปัจจุบันดำรงตำแหน่งเป็นอาจารย์ ระดับ 7 สังกัดภาควิชาวิศวกรรมเครื่องกล คณะวิศวกรรม
ศาสตร์ สถาบันเทคโนโลยีพระจอมเกล้าเจ้าคุณทหารลาดกระบัง กรุงเทพมหานคร



เอกสารนี้เป็นเอกสารที่สงวนไว้สำหรับการใช้งานเพื่อการศึกษาเท่านั้น ไม่อนุญาตให้นำไปใช้ประโยชน์ด้านการค้า
ไม่ว่ากรณีใดๆทั้งสิ้น อีกทั้งห้ามมิให้คัดแปลงเนื้อหา และต้องอ้างอิงถึงเจ้าของเอกสารทุกครั้งที่มีการนำไปใช้